

S I S T E M A  
G E N E R A D O R  
D E  
M O D U L A C I O N E S  
D E  
O N D A  
S I G M O - 1

PROFESOR TUTOR:

FELIX HERNANDEZ CABRERA.

AUTOR:

MANUEL J. LUQUE BRITO.

## I N D I C E

* 0.	INTRODUCCION.....	6
0.1	OBJETO DEL PROYECTO.....	7
* 1.	MODULACIONES ANALOGICAS CONTINUAS LINEALES....	8
1.1	Modulacion en amplitud [AM].....	9
1.1.1	Circuito propuesto.....	14
1.1.2	Desarrollo practico.....	15
1.2	Modulacion en doble banda lateral [DSB].....	18
1.2.1	Circuito propuesto.....	20
1.2.2	Desarrollo practico.....	21
1.3	Mecanorma del circuito impreso AM y DSB.....	22
1.4	Hojas de datos.....	23
* 2.	MODULACIONES ANALOGICAS CONTINUAS NO LINEALES.	26
2.1	Modulacion de frecuencia [FM].....	27
2.1.1	Circuito propuesto.....	33
2.1.2	Desarrollo practico.....	34
2.2	Modulacion de fase [PM].....	38
2.2.1	Circuito propuesto.....	41
2.2.2	Desarrollo practico.....	42
2.3	Mecanorma del circuito impreso FM y PM.....	47
2.4	Hojas de datos.....	48

* 3.	MODULACIONES ANALOGICAS POR PULSOS.....	56
3.1	Modulacion por amplitud del pulso [PAM].....	57
3.1.1	Circuito propuesto.....	63
3.1.2	Desarrollo practico.....	64
3.2	Modulacion por duracion del pulso [PDM].....	68
3.2.1	Circuito propuesto.....	69
3.2.2	Desarrollo practico.....	70
3.3	Modulacion por posicion del pulso [PPM].....	73
3.3.1	Circuito propuesto.....	74
3.3.2	Desarrollo practico.....	75
3.4	Mecanorma del circuito impreso PAM, PDM y PPM.	77
3.5	Hojas de datos.....	78
* 4.	MODULACIONES DIGITALES.....	100
4.1	Modulacion binaria en amplitud [ASK].....	102
4.1.1	Circuito propuesto.....	103
4.1.2	Desarrollo practico.....	104
4.2	Modulacion binaria en fase [PSK].....	108
4.2.1	Circuito propuesto.....	109
4.2.2	Desarrollo practico.....	110
4.3	Modulacion binaria en frecuencia [FSK].....	111
4.3.1	Circuito propuesto.....	112
4.3.2	Desarrollo practico.....	113
4.4	Mecanorma del circuito impreso ASK, PSK y FSK.	117
4.5	Hojas de datos.....	118

* 5.	GENERADOR DE FUNCIONES.....	133
5.1	Circuito propuesto.....	134
5.2	Desarrollo practico.....	135
5.3	Mecanorma circuito impreso generador.....	137
5.4	Hojas de datos.....	138
* 6.	FUENTE DE ALIMENTACION.....	146
6.1	Circuito propuesto.....	147
6.2	Desarrollo practico.....	148
6.3	Hojas de datos.....	149
* 7.	PRESUPUESTO.....	154
* 8.	BIBLIOGRAFIA.....	157

\* 0. INTRODUCCION :

En este estudio se trata de analizar los diferentes tipos de modulacion de onda y crear un sistema capaz de generarlos. Para su mejor comprension hemos dividido dicho estudio en dos apartados claramente diferenciados; primeramente, de cada tipo de modulacion haremos un pequeno resumen teorico que nos aclare basicamente cuales son los principales elementos que las componen. A continuacion pasaremos a exponer el desarrollo experimental, elaborado en el laboratorio, de cada una de ellas; asi como de un generador de funciones que produzca las senales moduladoras para cada caso, y de su fuente de alimentacion simetrica, regulada y estabilizada.

Tambien se incluye el diseno de las mecanormas correspondientes a los seis circuitos impresos, asi como su elaboracion y montaje.

## 0.1 OBJETO DEL PROYECTO :

Con este proyecto, que consiste en el diseño de un sistema capaz de generar las principales modulaciones de onda, concretamente diez casos, se pretende que los alumnos que estudien este tipo de fenómenos físicos, puedan realizar prácticas en el laboratorio visualizando en el osciloscopio cada una de estas modulaciones, pudiendo hacerse variaciones sobre amplitudes, frecuencias, fases, etc. llegando a resultados reales, contrastables con los obtenidos en sus clases teóricas.

En este estudio solo se aporta un cierto número de las múltiples posibilidades que este sistema permite alcanzar, dejando a la racionalización del alumno el conseguir su total desarrollo.

## \* 1. MODULACIONES ANALOGICAS CONTINUAS LINEALES :

Una definicion general de la modulacion lineal seria:  
La senal modulada es una funcion de la senal modulante  $f(t)$ . Sea  $\Psi[f(t)]$  la senal modulada; entonces, la modulacion es lineal si  $\{ d/d[f(t)] \} \{ \Psi[f(t)] \}$  es independiente de  $f(t)$ . De no ser asi, es una modulacion no lineal.

En el caso de las senales de modulacion de amplitud AM, las bandas laterales se rigen por el principio de superposicion. Asi pues, si  $f_1(t)$  y  $f_2(t)$  dan lugar a sendas bandas laterales  $\Psi_1$  y  $\Psi_2$ , la senal compuesta  $f_1(t) + f_2(t)$  producira  $\Psi_1 + \Psi_2$ . No existen intermodulaciones o bandas laterales de producto cruzado, como se observaran en la modulacion de frecuencia FM. Por esta razon la AM es una modulacion lineal.

La modulacion lineal se presta a la manipulacion matematica y la generalizacion. Se puede encontrar el espectro de una senal modulada con la suma de dos senales modulantes calculando el espectro individual de cada senal para sumarlos posteriormente. Esto es muy util para calcular el ruido en sistemas de comunicacion. En los sistemas lineales de modulacion, el efecto del ruido presente en el canal puede calcularse suponiendo que la senal es cero.

### 1.1 MODULACION EN AMPLITUD [ AM ] :

En la modulacion de amplitud, la amplitud de la portadora varia proporcionalmente al mensaje modulador.

Supongamos que disponemos de una onda moduladora sinusoidal  $f_m(t) = A_m \cos(\omega_m t + \beta_m)$  y de una portadora  $f_c(t) = A_c \cos(\omega_c t + \beta_c)$ ; Para simplificar vamos a admitir que las fases iniciales de las dos ondas  $\beta_m$  y  $\beta_c$  son nulas. La expresion que se obtiene de la onda modulada  $\psi_{AM}(t)$ , sabiendo que la amplitud de esta onda esta compuesta por la amplitud de la onda portadora  $A_c$  aumentada por una senal proporcional a la onda moduladora  $f_m(t) = K_a A_m \cos(\omega_m t)$ .

$$\psi_{AM}(t) = [ A_c + K_a A_m \cos(\omega_m t) ] \cos(\omega_c t)$$

Observemos que para evitar que la onda modulada (la portadora) invierta su fase tiene que cumplirse que:

$$A_c >= K_a A_m$$

$$\begin{aligned} \psi_{AM}(t) &= [ A_c + K_a A_m \cos(\omega_m t) ] \cos(\omega_c t) \\ &= A_c [ 1 + K_a A_m \cos(\omega_m t) / A_c ] \cos(\omega_c t) \end{aligned}$$

$$\psi_{AM}(t) = A_c [ 1 + m \cos(\omega_m t) ] \cos(\omega_c t)$$

Por definicion llamamos indice de modulacion  $m$  a:

$$m = K_a A_m / A_c$$

que con la condicion de que  $A_c > K_a A_m$  hace que:

$$m = K_a A_m / A_c \leq 1$$

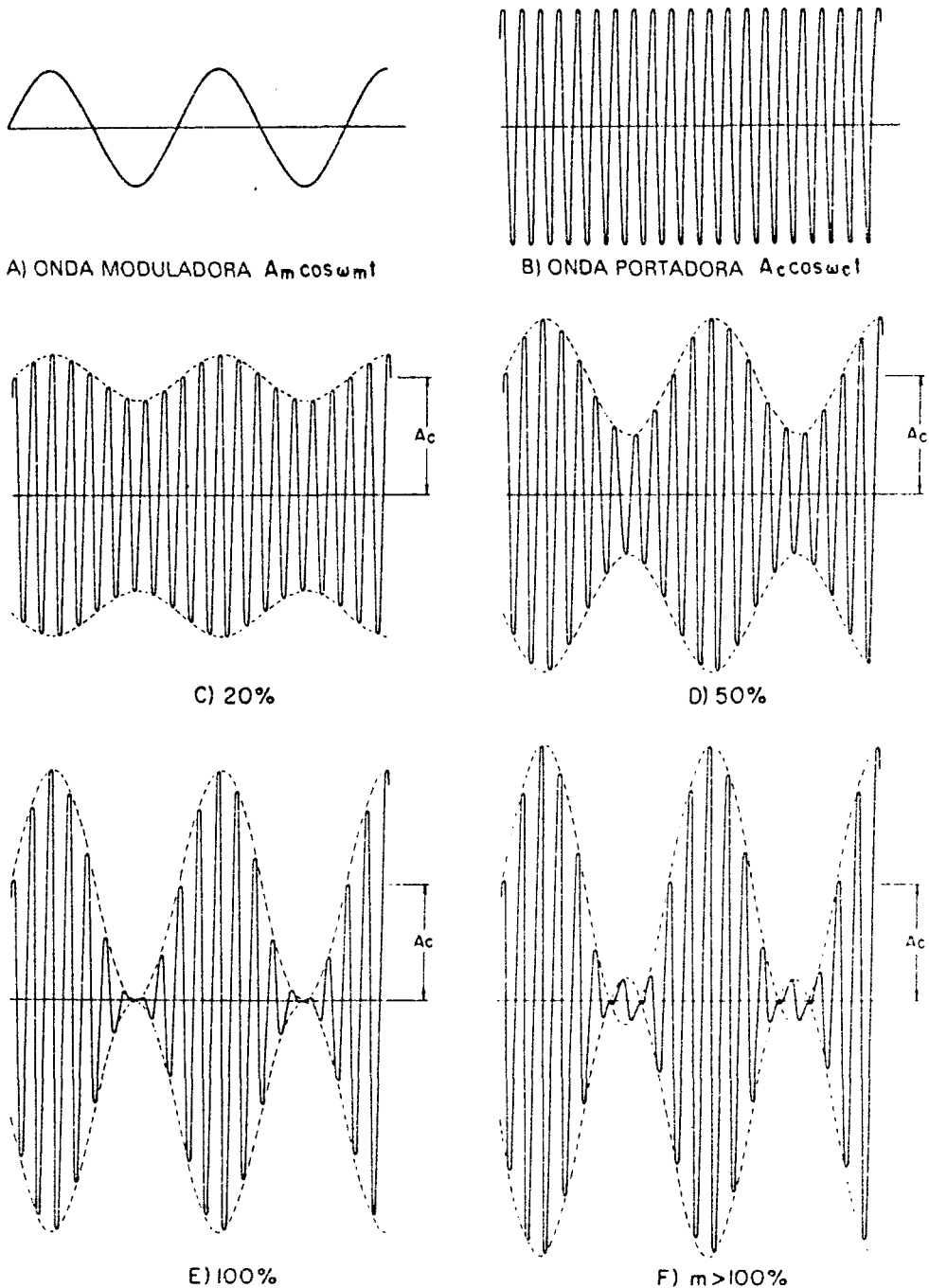


Figura (1.1)

Frecuentemente el indice de modulacion se expresa de la siguiente manera:

$$\text{Porcentaje de modulacion} = m \times 100 \%$$

El indice de modulacion determina la variacion maxima de la amplitud de una onda de AM. Para mas claridad en la figura (1.1) se representan ondas moduladas en AM para diferentes indices de modulacion.

En la figura (1.1C), se representa un porcentaje de modulacion de un 20 %, es decir que la amplitud de la senal de AM es 1/5 de la amplitud de la portadora. Estas dos amplitudes se hacen iguales, cuando el porcentaje de modulacion es maximo (100%). La fig.(1.1F) representa un porcentaje de modulacion superior al 100 %, en este caso hay sobremodulacion y la envolvente de la senal modulada no es proporcional a la onda moduladora dando lugar a un cambio de signo.

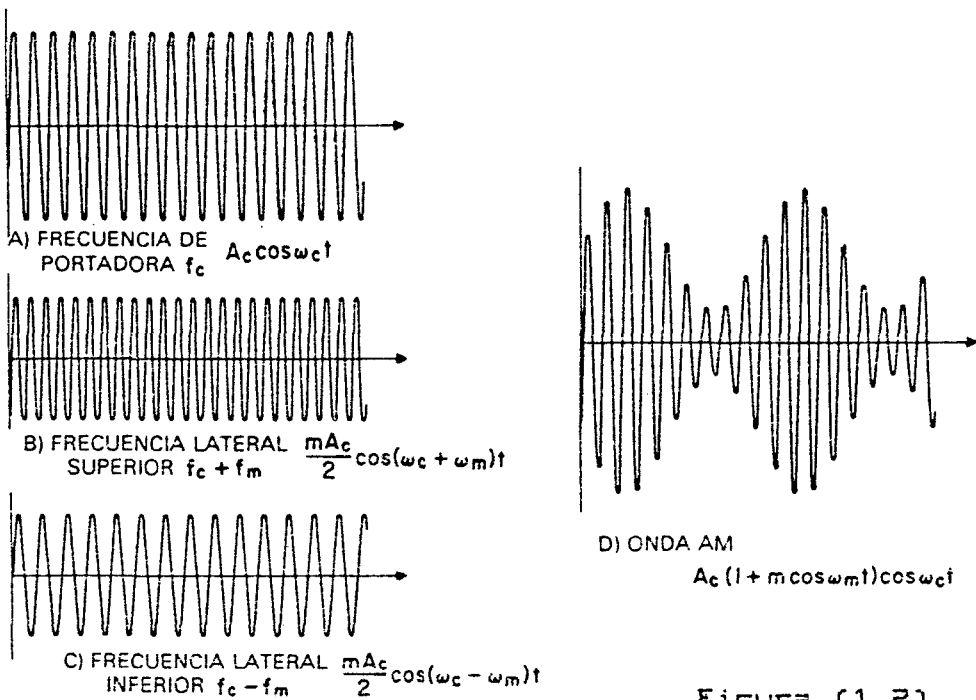


Figura (1.2)

La expresion de la onda AM puede desarrollarse de la forma siguiente:

$$\begin{aligned} \mathcal{E}_{AM}(t) &= A_c [ 1 + m \cos(\omega_m t) ] \cos(\omega_c t) \\ &= A_c \cos(\omega_c t) + m A_c \cos(\omega_m t) \cos(\omega_c t) \\ &= A_c \cos(\omega_c t) + \frac{m A_c [\cos((\omega_c + \omega_m)t) + \cos((\omega_c - \omega_m)t)]}{2} \end{aligned}$$

Una onda AM se compone de tres ondas, la portadora y dos ondas cuyas frecuencias son  $(\omega_c + \omega_m)$  y  $(\omega_c - \omega_m)$ . En la figura (1.2) podemos ver esta propiedad.

El ancho de banda de una onda AM es de  $2f_m$ , siendo  $f_m$  la frecuencia moduladora maxima. Teoricamente para la transmision de una senal de audio el ancho de banda seria de 40 kHz, pero para la transmision en fonía es suficiente con 6 kHz, 10 kHz para una transmision musical, y 30 kHz para una transmision de audio de alta fidelidad.

Las altas frecuencias de audio, por ser poco numerosas, no afectan de forma particular a la calidad del sonido.

La potencia media  $P_t$  de una emision de AM, puede ser expresada en funcion de la potencia media de la portadora  $P_c$ , y de las potencias medias de las bandas laterales  $P_{usb}$  y  $P_{lsb}$ .

Si una onda de AM se emite con una antena de resistencia de radiacion  $R$ , las potencias seran proporcionales al cuadrado de los valores efficaces:

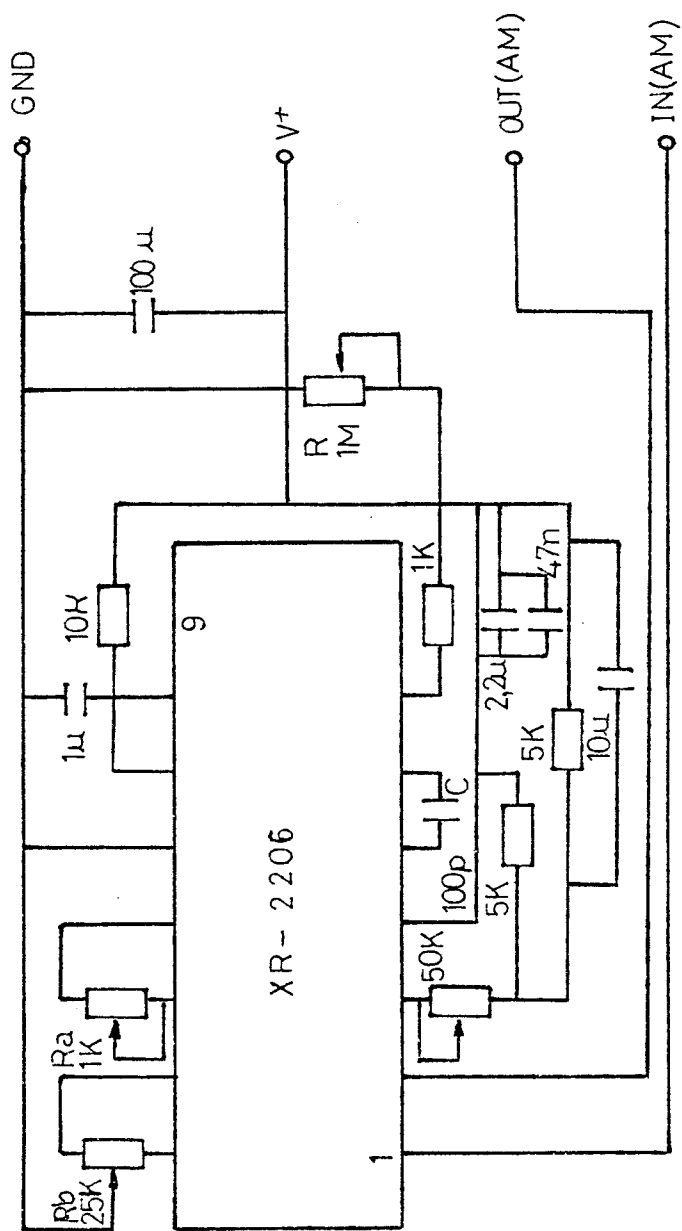
$$P_t = (A_c/\sqrt{2})^2 / R + (m A_c/2\sqrt{2})^2 / R + (m A_c/2\sqrt{2})^2 / R$$

como:  $P_{usb} = P_{lsb} = m^2 P_c / 4$

obtenemos:  $P_t = P_c [ 1 + m^2 / 2 ]$

Un indice de modulacion maximo  $m=1$ , da lugar a una potencia en cada banda lateral de  $1/6$  de la potencia total emitida  $P_t$ . La potencia de la portadora de la señal de AM es de  $2/3$  de la potencia emitida.

### 1.1.1 CIRCUITO PROPUESTO : AM



### 1.1.2 DESARROLLO PRACTICO:

El circuito integrado XR-2206 esta compuesto por cuatro bloques funcionales: Un VCO, un multiplicador analogico generador de onda sinusoidal, un amplificador buffer y unos conmutadores de corriente. Estos conmutadores internos transfieren la corriente del oscilador a alguna de las dos resistencias exteriores de timing.

La frecuencia de operacion,  $f_0$ , esta determinada por el condensador externo C (entre las patillas 5 y 6) y por el potenciómetro R (en la patilla 7 u 8). La frecuencia esta dada por  $f_0 = 1 / RC$  Hz, luego puede ser ajustada variando R y C. Los valores de R recomendados para una estabilidad optima oscilan entre  $4K\Omega$  y  $200K\Omega$ . Y los valores recomendados para C, entre  $100 \mu F$  y  $100 nF$ .

Los valores de C y de R tomados en el circuito han sido:

$$R = 1K\Omega + un\ potenciómetro\ de\ 1M\Omega$$

$$C = 0,1 \mu F$$

Luego:

$$f_0 (\text{para } R = 1K\Omega) = 10 \text{ MHz.}$$

$$f_0 (\text{para } R = 1M\Omega) = 1 \text{ KHz.}$$

La frecuencia de oscilacion es proporcional a la corriente total oscilante sacada de la patilla 7 u 8.

$$f = 320 I_t(\text{mA}) / C(\mu\text{F}) \text{ Hz.}$$

Los terminales de timing (patillas 7 y 8) son puntos de baja impedancia, puestos internamente a 3 Voltios con respecto a la patilla 12. La frecuencia varia linealmente con  $I_t$  sobre un rango ancho de valores de corriente entre 1 uA y 3 mA.

La maxima amplitud de salida es inversamente proporcional a la resistencia externa  $R_C$ , conectada a la patilla 3. Para la salida de onda sinusoidal, que es la que utilizamos para nuestra aplicacion, la amplitud es aproximadamente de 60 mVpp. por  $\text{k}\Omega$  de  $R_C$ .

La amplitud de la salida en este caso esta siendo modulada por la aplicacion de una senal de modulacion en la patilla 1. La impedancia interna de la patilla 1 es aproximadamente 100K $\Omega$ . La amplitud de salida varia linealmente con la tension aplicada a la patilla 1 para valores de  $\pm 40$ .

El rango total de AM es de 55 dB.

El nivel de continua DC a la salida (patilla 2) es aproximadamente el mismo que en la patilla 3. En el circuito propuesto anteriormente tenemos la patilla 3 puesta a  $V_+ / 2$ , y como el valor adoptado para  $V_+$  es de 12 V., el nivel de continua DC sera de 6 V.

La distorsion de la portadora puede ser suprimida

hasta el 0,5%, con los potenciómetros  $R_a$  y  $R_b$  de ajuste. El potenciómetro  $R_a$  ajusta la forma de onda sinusoidal y  $R_b$  produce el ajuste fino para la simetría. Los ajustes se hacen de la siguiente manera:

- a) Poner  $R_b$  a la mitad y ajustar  $R_a$  para la mínima distorsión.
- b) Con  $R_a$  ajustada, ajustar  $R_b$  hasta reducir aún más la distorsión.

NOTA:

Para visualizar correctamente en un osciloscopio la señal de AM, debemos hacer que la señal moduladora tenga un valor entre 1 Vpp y 2 Vpp.

El ajuste de offset debe estar sobre el nivel de continua, aunque variando este podemos cambiar el índice de modulación de la señal de AM.

Ver figura (1.1).

## 1.2 MODULACION EN DOBLE BANDA LATERAL [ DSB ]:

El analisis del reparto de las potencias de una senal de AM nos indica que, como minimo, los 2/3 de la potencia emitida esta contenida en la portadora que no tiene informacion. Esto supone una perdida de energia evidente, que puede remediarse suprimiendo la portadora.

De la ecuacion:

$$y_{AM}(t) = A_c \cos(\omega_c t) + m A_c \{ \cos[(\omega_c + \omega_m)t] + \cos[(\omega_c - \omega_m)t] \} / 2$$

Eliminamos la portadora y queda:

$$y_{AM}(t) = m A_c \cos(\omega_c t) \cos(\omega_m t)$$

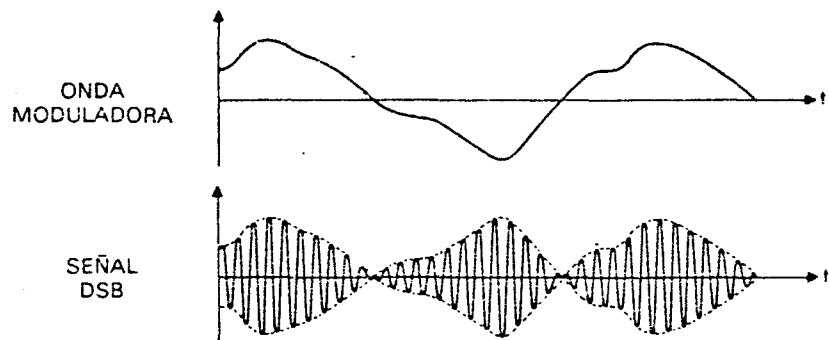
$$y_{AM}(t) = K_a A_m \cos(\omega_m t) \cos(\omega_c t)$$

Esta senal contiene la informacion del mensaje que se quiere transmitir cuya amplitud y pulsacion son:  $A_m$  y  $\omega_m$ . La portadora  $\omega_c$  es una frecuencia fija que no contiene informacion, pero permite transmitir los parametros de la informacion que se detectaran luego en un receptor.

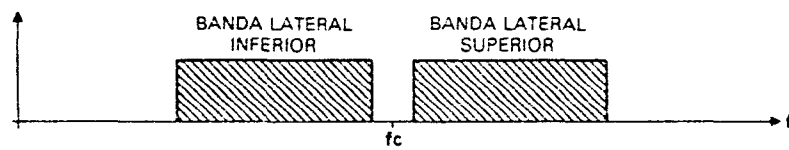
Una senal modulada en doble banda lateral (DSB), solamente transmite las bandas laterales superior e inferior de una emision en AM. La representacion en funcion del tiempo, de una senal de DSB es tal que todo cambio de signo de la onda moduladora anula la amplitud u origina un cambio de fase de la portadora. En la figura (1.3) se representa una onda de DSB en funcion del tiempo.

La modulacion en doble banda lateral se denomina a

vezes modulacion de amplitud con portadora suprimida, cuya sigla es DSB-SC.

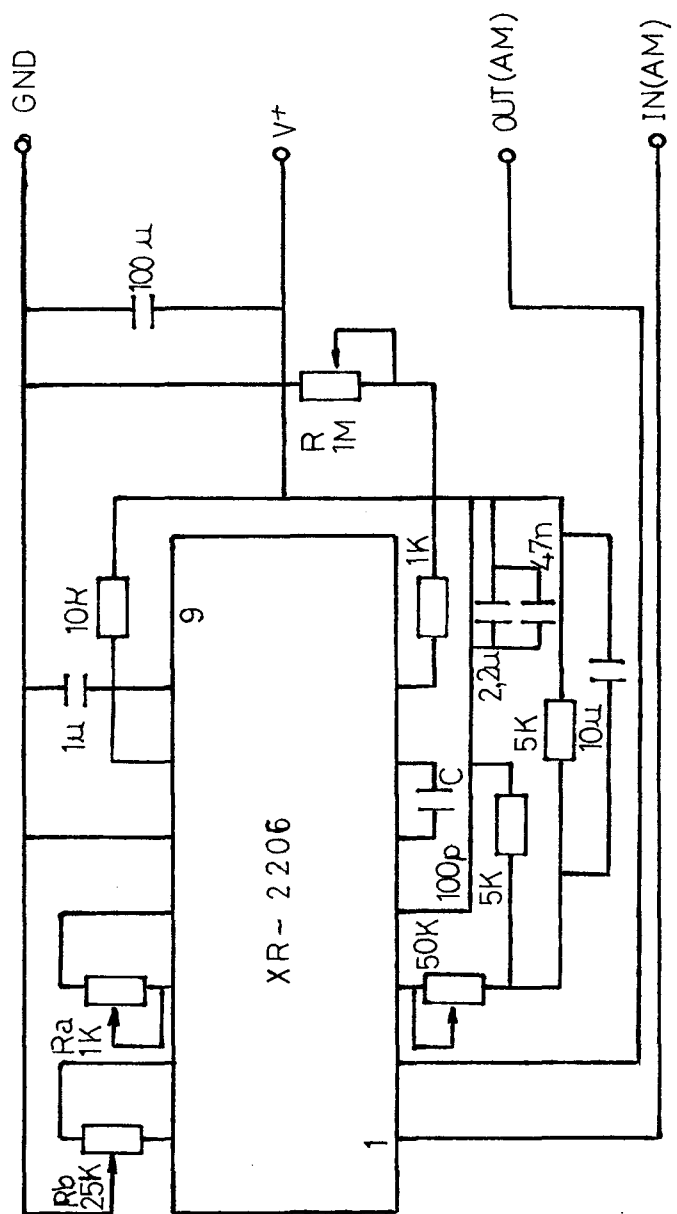


A) REPRESENTACION EN FUNCION DEL TIEMPO



B) ESPECTRO

### 1.2.1 CIRCUITO PROPUESTO : DSB



### **1.2.2 DESARROLLO PRACTICO:**

Como vemos, el circuito propuesto para la doble banda lateral (DSB) es similar al de la modulacion de amplitud (AM).

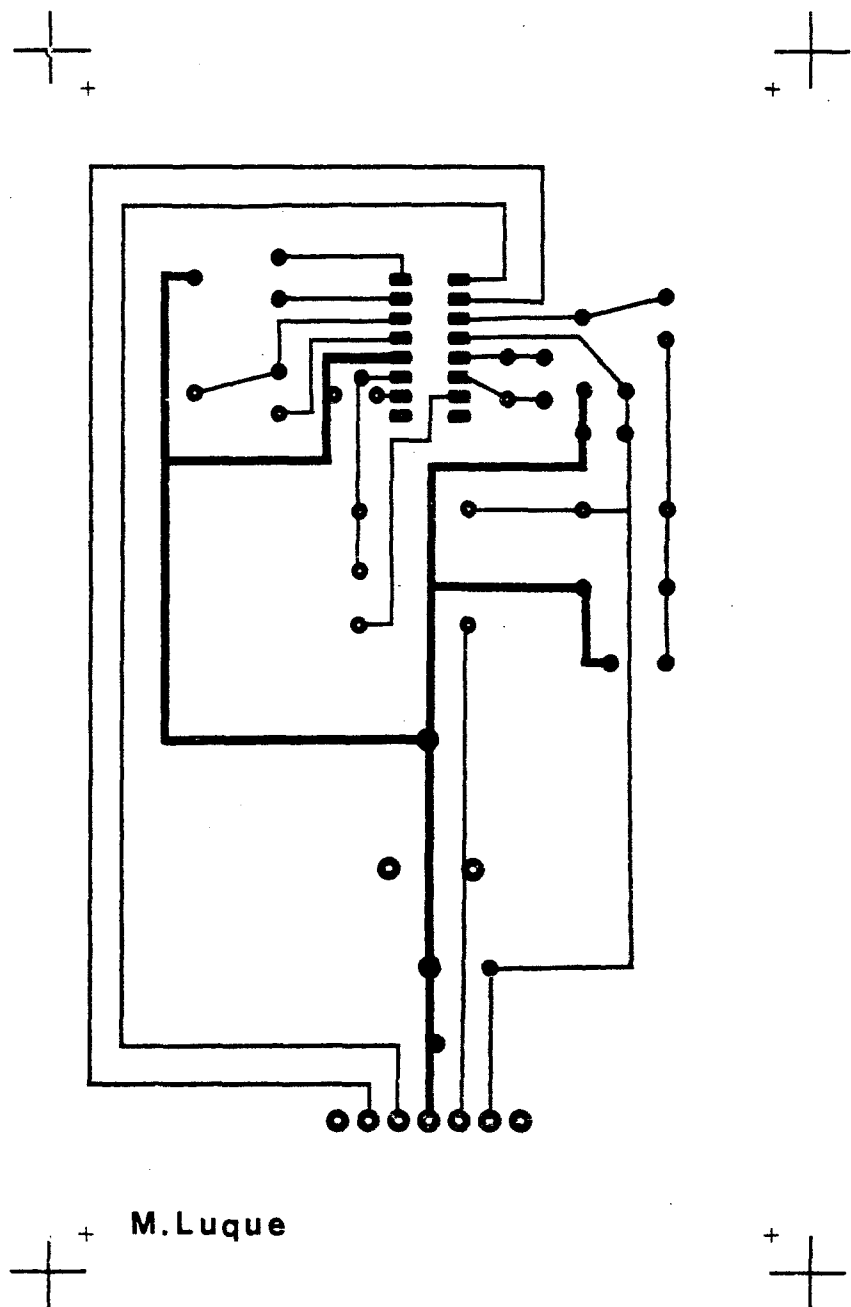
Por lo tanto son validos todos los comentarios propuestos anteriormente para el circuito de AM.

Solo tenemos que variar el nivel de offset de la senal moduladora, hasta el punto correcto para que se produzca la DSB.

Recordemos que la DSB es tal que todo cambio de signo de la onda moduladora anula la amplitud y origina un cambio de fase de la portadora.

Ver la figura (1.3).

### 1.3 MECANORMA AM Y DSB :



M.Luque

## ELECTRICAL CHARACTERISTICS

**Test Conditions:** Test Circuit of Fig. 2,  $V^+ = 12V$ ,  $T_A = 25^\circ C$ ,  $C = 0.01 \mu F$ ,  $R_1 = 100 K\Omega$ ,  $R_2 = 10 K\Omega$ ,  $R_3 = 25 K\Omega$  unless otherwise specified.  $S_1$  open for triangle, closed for sinewave.

CHARACTERISTICS	XR-2206/XR-2206M			XR-2206C			UNITS	CONDITIONS
	MIN.	TYP.	MAX.	MIN.	TYP.	MAX.		
Supply Voltage Single Supply Split Supply Supply Current	10 $\pm 5$		26 $\pm 13$	10 $\pm 5$		26 $\pm 13$	V V mA	$R_1 \geq 10 K\Omega$
Oscillator Section Max. Operating Frequency Lowest Practical Frequency Frequency Accuracy Temperature Stability Supply Sensitivity	0.5	1 0.01 $\pm 1$ $\pm 10$ 0.01	26 $\pm 13$ $\pm 4$ $\pm 50$ 0.1	0.5	1 0.01 $\pm 2$ $\pm 20$ 0.01		MHz Hz % of $f_o$ ppm/ $^\circ C$ %/V	$C = 1000 pF$ , $R_1 = 1 K\Omega$ $C = 50 \mu F$ , $R_1 = 2 M\Omega$ $f_0 = 1/R_1 C$ $0^\circ C \leq T_A \leq 75^\circ C$ , $R_1 = R_2 = 20 K\Omega$ $V_{LOW} = 10V$ , $V_{HIGH} = 20V$ , $R_1 = R_2 = 20 K\Omega$
Sweep Range Sweep Linearity 10:1 Sweep 1000:1 Sweep FM Distortion	1000:1	2000:1			2000:1		$f_H = f_L$	$f_H @ R_1 = 1 K\Omega$ $f_L @ R_1 = 2 M\Omega$  $f_L = 1 kHz$ , $f_H = 10 kHz$ $f_L = 100 Hz$ , $f_H = 100 kHz$ $\pm 10\%$ Deviation
Recommended Timing Components Timing Capacitor: C Timing Resistors: $R_1$ & $R_2$	0.001 1		100 2000	0.001 1		100 2000	$\mu F$ $K\Omega$	See Figure 5
Triangle/Sinewave Output Triangle Amplitude Sinewave Amplitude Max. Output Swing Output Impedance Triangle Linearity Amplitude Stability Sinewave Amplitude Stability	40	160 60 6 600 1 0.5 -4800	80		160 60 6 600 1 0.5 -4800		mV/K $\Omega$ mV/K $\Omega$ V <sub>pp</sub> $\Omega$ % dB ppm/ $^\circ C$	See Note 1, Fig. 3 Fig. 2 $S_1$ Open Fig. 2 $S_1$ Closed  For 1000:1 Sweep See Note 2
Sinewave Distortion Without Adjustment With Adjustment		2.5 0.4	1.0		2.5 0.5	1.5	% %	$R_1 = 30 K\Omega$ See Figure 11 See Figure 12
Amplitude Modulation Input Impedance Modulation Range Carrier Suppression Linearity	50	100 100 55 2		50	100 100 55 2		$K\Omega$ % dB %	For 95% modulation
Square Wave Output Amplitude Rise Time Fall Time Saturation Voltage Leakage Current		12 250 50 0.2 0.1	0.4 20		12 250 50 0.2 0.1	0.6 100	V <sub>pp</sub> nsec nsec V $\mu A$	Measured at Pin 11  $C_L = 10 pF$ $C_L = 10 pF$ $I_L = 2 mA$ $V_{11} = 26V$
FSK Keying Level (Pin 9)	0.8	1.4	2.4	0.8	1.4	2.4	V	See Section on Circuit Controls
Reference Bypass Voltage	2.9	3.1	3.3	2.5	3	3.5	V	Measured at Pin 10.

**Note 1:** Output Amplitude is directly proportional to the resistance  $R_3$  on Pin 3. See Figure 3.

**Note 2:** For maximum amplitude stability  $R_3$  should be a positive temperature coefficient resistor.

## ELECTRICAL CHARACTERISTICS

**Test Conditions:** Test Circuit of Fig. 2,  $V^+ = 12V$ ,  $T_A = 25^\circ C$ ,  $C = 0.01 \mu F$ ,  $R_1 = 100 K\Omega$ ,  $R_2 = 10 K\Omega$ ,  $R_3 = 25 K\Omega$  unless otherwise specified.  $S_1$  open for triangle, closed for sinewave.

CHARACTERISTICS	XR-2206/XR-2206M			XR-2206C			UNITS	CONDITIONS
	MIN.	TYP.	MAX.	MIN.	TYP.	MAX.		
Supply Voltage Single Supply Split Supply Supply Current	10 $\pm 5$		26 $\pm 13$	10 $\pm 5$		26 $\pm 13$	V V mA	$R_1 \geq 10 K\Omega$
12 17			14 20					
Oscillator Section Max. Operating Frequency Lowest Practical Frequency Frequency Accuracy Temperature Stability Supply Sensitivity	0.5	1 0.01 $\pm 1$	$\pm 4$	0.5	1 0.01 $\pm 2$	$\pm 20$	MHz Hz % of $f_o$ ppm/ $^\circ C$ %/V	$C = 1000 pF$ , $R_1 = 1 K\Omega$ $C = 50 \mu F$ , $R_1 = 2 M\Omega$ $f_0 = 1/R_1 C$ $0^\circ C \leq T_A \leq 75^\circ C$ , $R_1 = R_2 = 20 K\Omega$ $V_{LOW} = 10V$ , $V_{HIGH} = 20V$ , $R_1 = R_2 = 20 K\Omega$
		$\pm 10$	$\pm 50$					
		0.01	0.1					
Sweep Range	1000:1	2000:1			2000:1		$f_H = f_L$	$f_H @ R_1 = 1 K\Omega$ $f_L @ R_1 = 2 M\Omega$
Sweep Linearity 10:1 Sweep 1000:1 Sweep FM Distortion			2 8 0.1			2 8 0.1	% % %	$f_L = 1 kHz$ , $f_H = 10 kHz$ $f_L = 100 Hz$ , $f_H = 100 kHz$ $\pm 10\% \text{ Deviation}$
Recommended Timing Components Timing Capacitor: C	0.001		100	0.001		100	$\mu F$	See Figure 5
Timing Resistors: $R_1$ & $R_2$	1		2000	1		2000	$K\Omega$	
Triangle/Sinewave Output Triangle Amplitude Sinewave Amplitude Max. Output Swing Output Impedance Triangle Linearity Amplitude Stability Sinewave Amplitude Stability	40	160 60 6 600 1 0.5 -4800	80		160 60 6 600 1 0.5 -4800		mV/K $\Omega$ mV/K $\Omega$ V <sub>pp</sub> $\Omega$ % dB ppm/ $^\circ C$	See Note 1, Fig. 3 Fig. 2 $S_1$ Open Fig. 2 $S_1$ Closed  For 1000:1 Sweep See Note 2
Sinewave Distortion Without Adjustment With Adjustment		2.5 0.4	1.0		2.5 0.5	1.5	% %	$R_1 = 30 K\Omega$ See Figure 11 See Figure 12
Amplitude Modulation Input Impedance Modulation Range Carrier Suppression Linearity	50	100 100 55 2		50	100 100 55 2		$K\Omega$ % dB %	For 95% modulation
Square Wave Output Amplitude Rise Time Fall Time Saturation Voltage Leakage Current			12 250 50 0.2 0.1	0.4		12 250 50 0.2 0.1	V <sub>pp</sub> nsec nsec V $\mu A$	Measured at Pin 11 $C_L = 10 pF$ $C_L = 10 pF$ $I_L = 2 mA$ $V_{11} = 26V$
FSK Keying Level (Pin 9)	0.8	1.4	2.4	0.8	1.4	2.4	V	See Section on Circuit Controls
Reference Bypass Voltage	2.9	3.1	3.3	2.5	3	3.5	V	Measured at Pin 10.

**Note 1:** Output Amplitude is directly proportional to the resistance  $R_3$  on Pin 3. See Figure 3.

**Note 2:** For maximum amplitude stability  $R_3$  should be a positive temperature coefficient resistor.

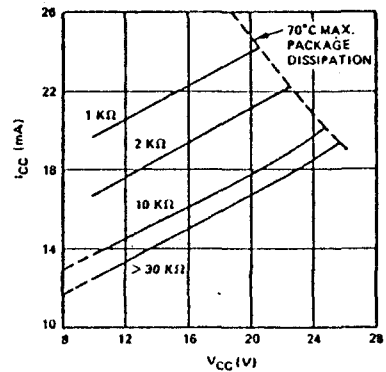


Figure 4. Supply Current vs Supply Voltage, Timing R

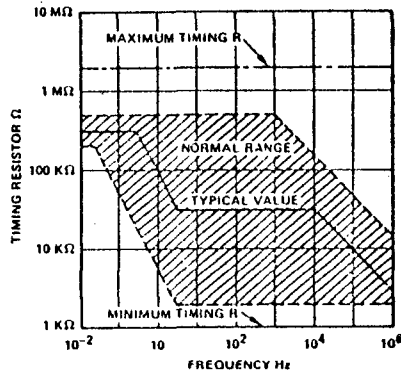


Figure 5. R vs Oscillation Frequency

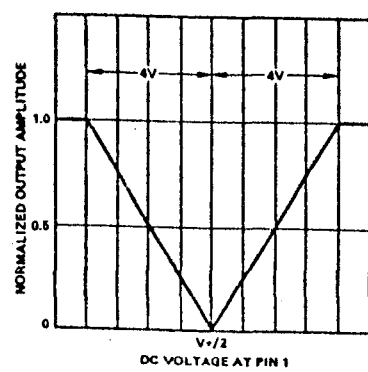


Figure 6. Normalized Output Amplitude vs DC Bias at AM Input (Pin 1).

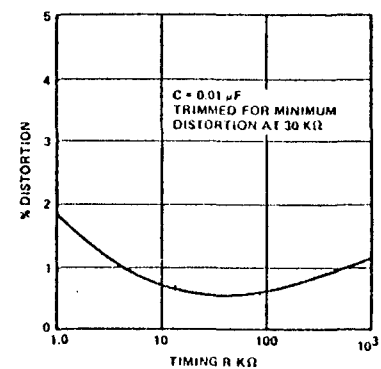


Figure 7. Trimmed Distortion vs Timing Resistor

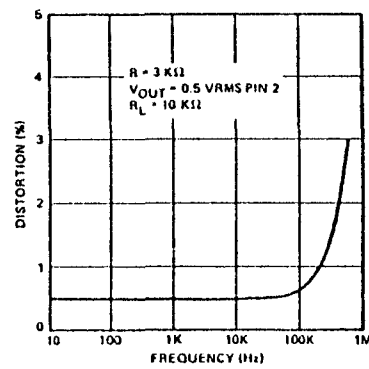


Figure 8. Signwave Distortion vs Operating Frequency With Timing Capacitors Varied

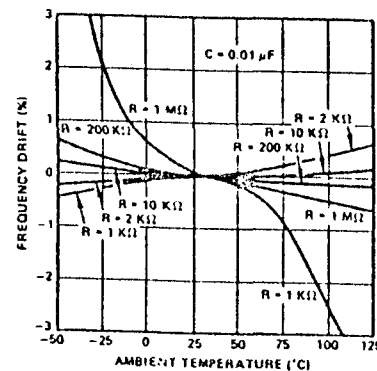


Figure 9. Frequency Drift vs Temperature

## \* 2. MODULACIONES ANALOGICAS CONTINUAS NO LINEALES:

La modulacion analogica continua no lineal (Angular o exponencial), a partir de una frecuencia de portadora  $f_c$  y una senal moduladora  $f_m$ , contiene otras componentes espectrales ademas de  $(f_c + f_m)$  y  $(f_c - f_m)$ . En la modulacion de frecuencia FM y en la de la fase PM, el espectro es bastante mas complejo.

En la modulacion no lineal surgen terminos de modulacion cruzada. Por estas razones resulta interesante aproximar a la modulacion no lineal por medio de un modelo lineal. El caso es analogo al del analisis de un sistema no lineal aproximable a otro lineal en un rango limitado de amplitudes de senal.

La FM se comporta aproximadamente lineal para un indice de modulacion pequeno.

## 2.1 MODULACION DE FRECUENCIA [ FM ] :

En este tipo de modulacion la frecuencia de la portadora varia linealmente en funcion del mensaje modulador  $f_m(t)$ , siendo la frecuencia instantanea  $f_c + K_f f_m(t)$ . La pulsacion varia en funcion del tiempo de acuerdo con la expresion siguiente:

$$\omega_i(t) = \omega_c + 2\pi K_f f_m(t)$$

$\omega_i(t)$  representa la pulsacion instantanea,  $\omega_c$  la pulsacion de la portadora, y  $K_f$  es una constante.

La pulsacion de una onda sinusoidal es la velocidad angular de esta, por consiguiente la derivada del angulo  $\theta_c$  respecto al tiempo.

$$\omega_i(t) = d\theta_c(t)/dt = \omega_c + 2\pi K_f f_m(t)$$

$$\theta_c(t) = \omega_i(t) dt = \omega_c t + 2\pi K_f \int f_m(t) dt$$

Luego la expresion matematica de la onda es:

$$v_{FM}(t) = A_c \cos [\omega_c t + 2\pi K_f \int f_m(t) dt]$$

En el supuesto de un mensaje modulador del tipo  $A_m \cos(\omega_m t)$ :

$$\begin{aligned} v_{FM}(t) &= A_c \cos[\omega_c t + 2\pi K_f \int A_m \cos(\omega_m t) dt] \\ &= A_c \cos[\omega_c t + [2\pi K_f A_m \sin(\omega_m t)] / \omega_m] \\ &= A_c \cos[\omega_c t + [K_f A_m \sin(\omega_m t)] / f_m] \end{aligned}$$

Ver figura (2.1).

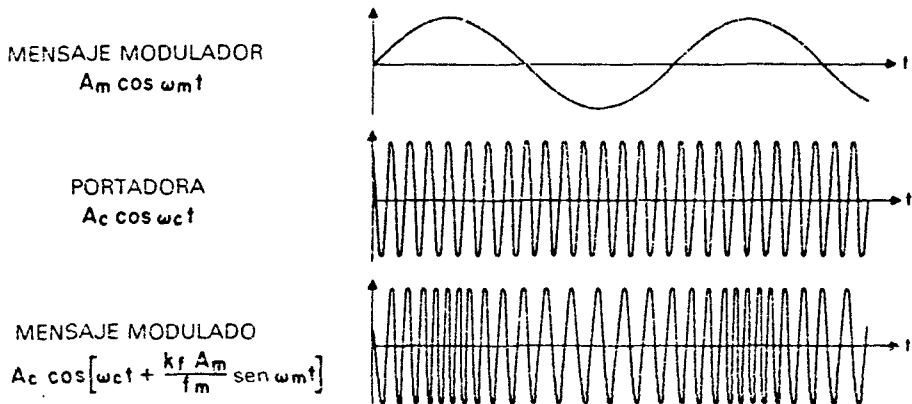


Figura (2.1)

Cuando el mensaje modulador es sinusoidal, la frecuencia de la onda modulada es  $f_c + Kf Am \cos(\omega_m t)$ , y varia entre  $(f_c - Kf Am)$  y  $(f_c + Kf Am)$ . La desviación máxima de frecuencia es  $\Delta f = Kf Am$  y se denomina excursion o desviación de frecuencia.

La relación  $\Delta f/f_m$  se define como índice de modulación mf de una señal de FM, cuya expresión es la siguiente:

$$y_{FM}(t) = A_c \cos[\omega_c t + mf \sin(\omega_m t)]$$

$$mf = \Delta f / f_m = Kf Am / f_m$$

$$\text{Siendo } \Delta f = \Delta\omega / 2\pi$$

Una señal de FM cuyas frecuencias de portadora y moduladora tienen velocidades angulares  $\omega_c$  y  $\omega_m$ , poseen un número infinito de componentes situados a  $\omega_c \pm n \omega_m$  de la portadora, siendo  $n$  un número entero ( $0, 1, 2, 3, \dots$ ). Las

amplitudes correspondientes a estas frecuencias estan determinadas por los coeficientes  $J_n(mf)$ , conocidos como funciones de Bessel.

La expresion de una senal de FM viene dada por:

$$\begin{aligned}v_{FM}(t) &= A_c \cos[W_c t + mf \sin(W_m t)] \\&= A_c \sum J_n(mf) \cos[W_c + n W_m] t \\&= A_c J_0(mf) \cos(W_c t) \\&+ A_c J_1(mf) [\cos(W_c + W_m)t - \cos(W_c - W_m)t] \\&+ A_c J_2(mf) [\cos(W_c + 2W_m)t + \cos(W_c - 2W_m)t] \\&+ A_c J_3(mf) [\cos(W_c + 3W_m)t + \cos(W_c - 3W_m)t] \\&+ \dots\end{aligned}$$

La variacion de las funciones de Bessel en funcion del indice de modulacion se representa en la figura (2.2). Estas funciones son la solucion de la ecuacion :

$$mf^2 \frac{d^2 f}{dmf} + mf \frac{df}{dmf} + (mf^2 - n^2) f = 0$$

En la practica se utilizan las tablas que representan las funciones de Bessel para una amplitud igual o superior a 0,01. La razon de elegir este valor, es que componentes espectrales, cuya amplitud es menor, pueden ser despreciados sin que esto afecte al funcionamiento general de la senal de FM.

Una senal de FM tiene a cada lado de la frecuencia portadora, un numero infinito de componentes espectrales a

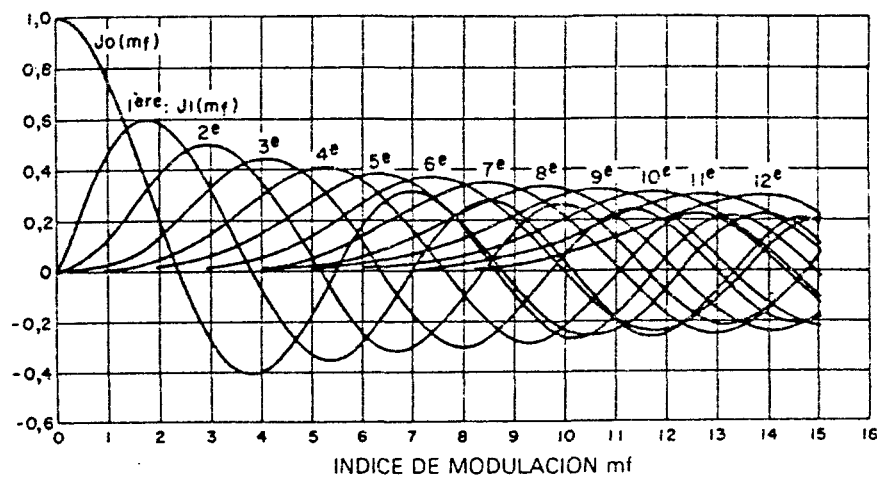


TABLA 2

COEFICIENTES DE BESSSEL

$\frac{m}{n}$	$J_0$	$J_1$	$J_2$	$J_3$	$J_4$	$J_5$	$J_6$	$J_7$	$J_8$	$J_9$	$J_{10}$	$J_{11}$	$J_{12}$	$J_{13}$	$J_{14}$	$J_{15}$	$J_{16}$
0,00	1,00	—	—	—	—	—	—	—	—	—	—	—	—	—	—	—	
0,25	0,98	0,12	—	—	—	—	—	—	—	—	—	—	—	—	—	—	
0,5	0,94	0,24	0,03	—	—	—	—	—	—	—	—	—	—	—	—	—	
1,0	0,77	0,44	0,11	0,02	—	—	—	—	—	—	—	—	—	—	—	—	
1,5	0,51	0,56	0,23	0,06	0,01	—	—	—	—	—	—	—	—	—	—	—	
2,0	0,22	0,58	0,35	0,13	0,03	—	—	—	—	—	—	—	—	—	—	—	
2,5	-0,05	0,50	0,45	0,22	0,07	0,02	—	—	—	—	—	—	—	—	—	—	
3,0	-0,26	0,34	0,49	0,31	0,13	0,04	0,01	—	—	—	—	—	—	—	—	—	
4,0	-0,40	-0,07	0,36	0,43	0,28	0,13	0,05	0,02	—	—	—	—	—	—	—	—	
5,0	-0,18	-0,33	0,05	0,36	0,39	0,26	0,13	0,05	0,02	—	—	—	—	—	—	—	
6,0	0,15	-0,28	-0,24	0,11	0,36	0,36	0,25	0,13	0,06	0,02	—	—	—	—	—	—	
7,0	0,30	0,00	-0,30	-0,17	0,16	0,35	0,34	0,23	0,13	0,06	0,02	—	—	—	—	—	
8,0	0,17	0,23	-0,11	-0,29	-0,10	0,19	0,34	0,32	0,22	0,13	0,06	0,03	—	—	—	—	
9,0	-0,09	0,24	0,14	-0,18	-0,27	-0,06	0,20	0,33	0,30	0,21	0,12	0,06	0,03	0,01	—	—	
10,0	-0,25	0,04	0,25	0,06	-0,22	-0,23	-0,01	0,22	0,31	0,29	0,20	0,12	0,06	0,03	0,01	—	
12,0	0,05	-0,22	-0,08	0,20	0,18	-0,07	-0,24	-0,17	0,05	0,23	0,30	0,27	0,20	0,12	0,07	0,03	
15,0	-0,01	0,21	0,04	-0,19	-0,12	0,13	0,21	0,03	-0,17	-0,22	-0,09	0,10	0,24	0,28	0,25	0,18	

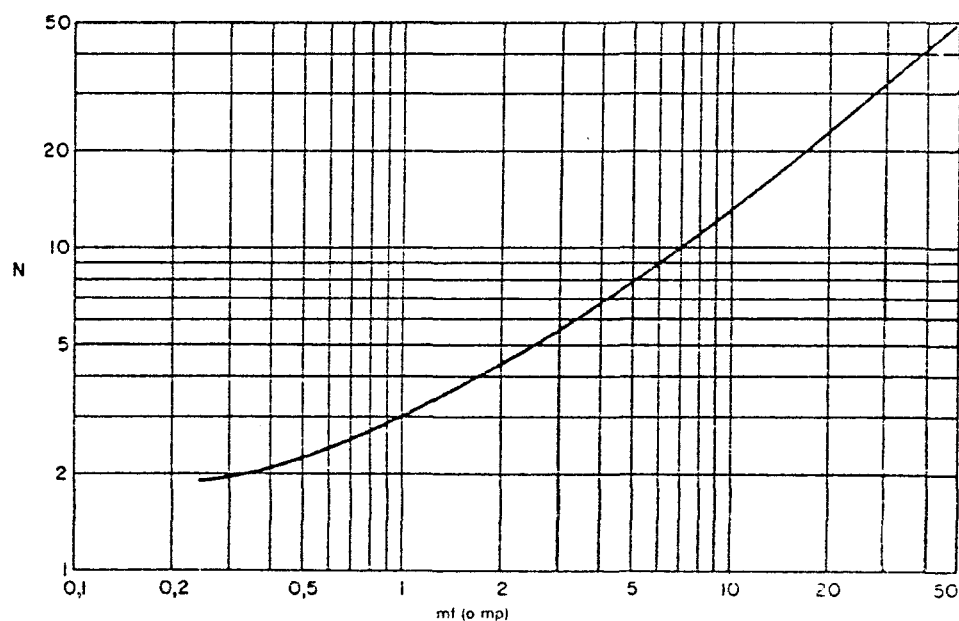


Figura (2.2)

las distancias:  $f_m$ ,  $2f_m$ ,  $3f_m, \dots$ . La separación entre estas componentes sobre el eje de las frecuencias es  $f_m$ .

Las componentes espectrales cuyas amplitudes de los coeficientes de Bessel son superiores a 0,01, no disminuyen necesariamente su amplitud cuando  $n$  aumenta. Para un determinado valor de  $n$  la amplitud de las componentes del espectro pueden ser todas despreciables. La figura (2.2) representa el número de pares de componentes espectrales, de amplitud superior a 0,01 en función del valor del índice de modulación.

En AM al aumentar el índice de modulación, aumenta la potencia en las bandas laterales y la potencia total. En FM la potencia total permanece constante para cualquier índice de modulación: en este caso con el índice de modulación varía el ancho de banda. Observemos que el coeficiente de Bessel  $J_0(mf)$ , corresponde a la frecuencia portadora y varía según el índice de modulación.

Para una misma desviación de frecuencia, una frecuencia moduladora más alta se traduce en un número menor de componentes espectrales, es lo mismo que si la desviación de frecuencia hubiese disminuido.

El ancho de banda de una señal de FM depende del índice de modulación  $mf$  y de la frecuencia moduladora  $f_m$ :

- Si  $mf \ll 1$ , el espectro de la señal de FM es similar al

de una señal de AM, y se obtiene una modulación de frecuencia en banda estrecha.

El ancho de banda  $W$  de la señal de FM es  $W = 2f_m$ , donde  $f_m$  representa la frecuencia moduladora máxima.

- Si  $0,3 \leq m_f \leq 20$ , el ancho de banda se determina, a partir del número  $N$  de componentes espectrales, cuyas amplitudes de los coeficientes de Bessel son superiores a 0,01.

El número  $N$  se obtiene de la tabla de la figura (2.2).

El ancho de banda  $W$  viene dado por:

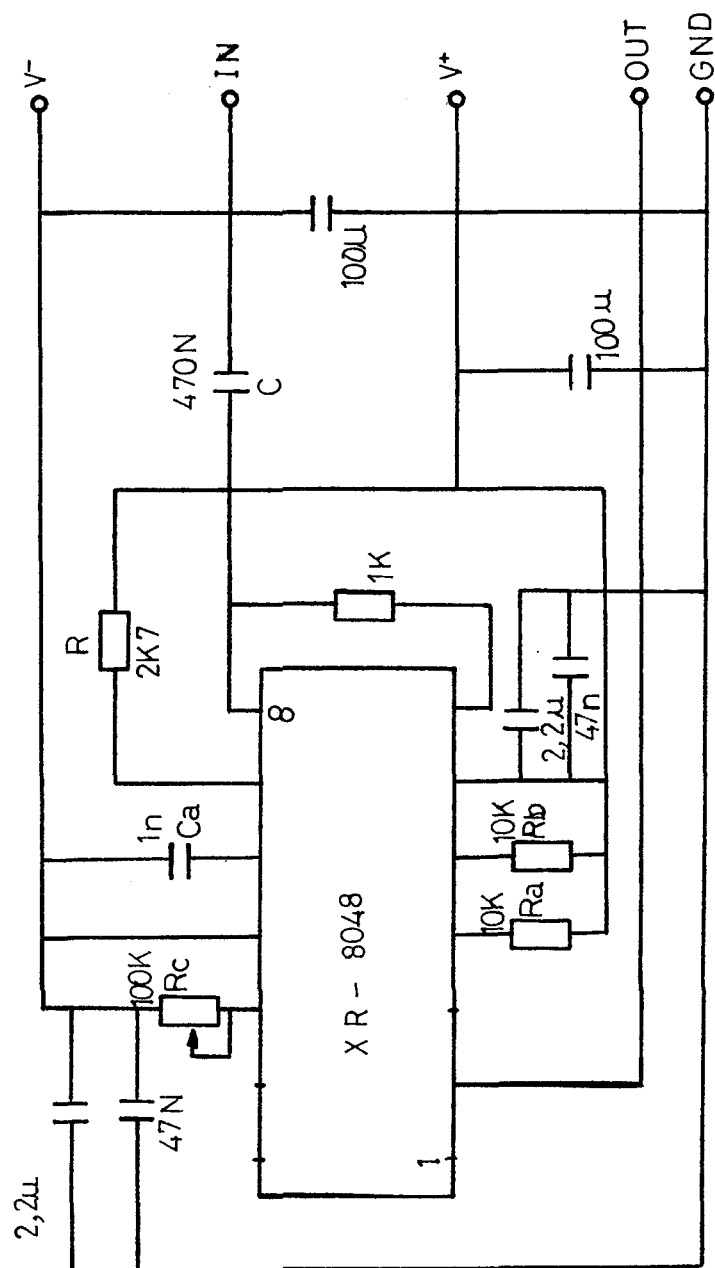
$$W = 2N f_m$$

- Si  $m_f > 20$ , para obtener el ancho de banda utilizaremos la fórmula aproximada:

$$W = 2 [\Delta f + 2f_m]$$

Se dice que las señales de FM están moduladas en banda ancha, cuando su índice de modulación es superior a 0,3.

### 2.1.1 CIRCUITO PROGRESO : FM



### 2.1.2 DESARROLLO PRACTICO:

El circuito integrado que vamos a utilizar sera el 8038, que es un generador de formas de onda sinusoidal, triangular, pulsos y dientes de sierra. Su frecuencia de oscilacion puede variar entre 0,001 Hz a 1 MHz, y es altamente estable sobre un ancho rango de cambios de temperatura y alimentacion.

La frecuencia de este generador es una funcion directa de la tension DC aplicada a la patilla 8. Si en este punto aplicamos una senal moduladora, a la salida tendremos una portadora modulada en frecuencia ( FM ).

La senal moduladora la acoplamos al circuito (patilla 8) mediante un condensador, y una resistencia entre las patillas 7 y 8. Como la impedancia de entrada del I.C. es  $Z_i = R + 8K\Omega$ :

Haciendo  $R = 1K\Omega$  y sabiendo que la impedancia exterior tiene que ser mucho menor que  $Z_i$ , queda que:  $Z_i = 9K\Omega$ .

Luego  $Z_e \ll Z_i$ , por ejemplo:  $Z_e = 350 \Omega$

$$Z_e = 1 / (j\omega C) = 350 \Omega \quad \omega = 2 \pi f$$

Para una frecuencia de 1KHz:

$$C = 1 / (350 \times 2\pi \times 10^3) \approx 0.47 \mu F.$$

Variando la  $Rc$  podemos ajustar al minimo la distorsion de la senal de salida, pudiendo alcanzar una reduccion aproximada al 0.5 %.

Existe un ancho rango de combinaciones entre R y C para conseguir que la frecuencia de portadora oscile a un determinado valor. Pero existen ciertas magnitudes para que su funcionamiento sea mas optimo. Corrientes menores de 0,1 uA son indeseables porque el circuito tiende a producir errores significativos a temperaturas altas. Para corrientes mayores de 5 mA, las betas de los transistores y los voltajes de saturacion contribuyen a grandes errores. Un funcionamiento optimo se obtiene para cambios de corrientes entre 1 uA y 1 mA.

Como la Ucc es de  $\pm 12V$  y queremos estar dentro del rango optimo de corrientes:

$$I = U_{CC} / (5R)$$

Entonces:  $R = U_{CC} / (5I) = 24V / (5 \times 0,5 \text{ mA}) \approx 10K\Omega$ .

La duracion de cada ciclo de la senal de salida puede ajustarse independientemente uno del otro, variando las resistencia Ra y Rb. Pero en este caso nos interesa que la onda de salida sea simetrica por lo que hacemos:

$$Ra = Rb = R$$

La frecuencia viene dada por:

$$f = 3 / \{5 Ra C [1 + Rb / (2Ra - Rb)]\}$$

Como  $Ra = Rb = R$ , la frecuencia queda:

$$f = 0,33 / (RC)$$

Habiamos calculado que  $R = 10K\Omega$ . Y como queremos que la

frecuencia sea aproximadamente de 30 KHz. C valdra:

$$C = 0,33 / 30 \times 10^3 = 1nF$$

Una practica que proponemos es calcular el valor de la constante  $K_f$ , y averiguar si la modulacion es banda ancha o banda estrecha.

Para medir el  $K_f$  de la senal modulada, hacemos lo siguiente:

a)  $f_m(t) = 0$ , con lo cual la ecuacion:

$$\omega_i = \omega_c + 2\pi K_f f_m(t)$$

Queda:  $\omega_i = \omega_c$

$$f_c = 1 / T_c = 28.571 \text{ Hz.}$$

(La frecuencia es algo distinta a la calculada anteriormente, debido a la tolerancia de los componentes).

$$\omega_c \approx 180 \times 10^3 \text{ Rad/seg.}$$

b) Hacemos que  $f_m(t)$  sea una senal cuadrada de 2 Vpp, con una tension de offset de 0V. Luego su valor estara cambiando entre +1V y -1V.

Medimos  $\omega_i$  (en el osciloscopio) para el ciclo de  $f_m(t)=1V$ .

$$\omega_i = 2\pi f_i = 2\pi 21.739 \approx 137 \times 10^3 \text{ Rad/seg.}$$

Sustituyendo en la ecuacion :

$$K_f = (\omega_i - \omega_c) / 2\pi = -6,843$$

$K_f$  es negativa porque la modulacion es de tipo inverso.

Para averiguar si la senal es de banda ancha o banda

estrecha, aplicamos ( por ejemplo ) una señal:

$$A_m \cos \omega_m t = 4 \cos(2\pi \times 10 t)$$

Entonces:  $m_f = K_f A_m / f_m = 27,37$

Al ser  $m_f \gg 1$  la modulación de FM es de banda ancha.

NOTA :

La señal moduladora debe tener como máximo 4Vpp, para que en la modulación no se produzcan cortes.

La amplitud máxima de salida es de 5Vpp.

El nivel de tensión de offset de la señal moduladora lo podemos variar sin que esto influya en el resultado de la modulación.

## 2.2 MODULACION DE FASE [ PM ] :

En la modulacion de fase, la fase de la portadora varia proporcionalmente con la señal moduladora. La fase de la señal modulada será pues de la forma:

$$\theta(t) = \omega_c t + K_p f_m(t)$$

$K_p$  es una constante de proporción,  $\omega_c$  la pulsación de la portadora y  $f_m(t)$  el mensaje modulador. La señal modulada se representa de la forma siguiente:

$$v_{PM}(t) = A_c \cos[\omega_c t + K_p f_m(t)]$$

La amplitud de la señal modulada es constante e igual a  $A_c$ ; en cambio su frecuencia es variable. La pulsación instantánea de la señal es:

$$\omega_i(t) = d\theta(t) / dt = \omega_c + K_p df_m(t) / dt$$

Suponiendo que el mensaje modulador sea sinusoidal  $A_m \cos(\omega_m t)$ :

$$\theta(t) = \omega_c t + K_p A_m \cos(\omega_m t)$$

$$\omega_i(t) = \omega_c - K_p A_m \omega_m \sin(\omega_m t)$$

$$v_{PM}(t) = A_c \cos[\omega_c t + K_p A_m \cos(\omega_m t)]$$

El índice de modulación es  $m_p = K_p A_m$ . Luego:

$$v_{PM}(t) = A_c \cos[\omega_c t + m_p \cos(\omega_m t)]$$

La representación en función del tiempo de esta señal se muestra en la figura (2.3).

El espectro de la onda modulada en PM también se

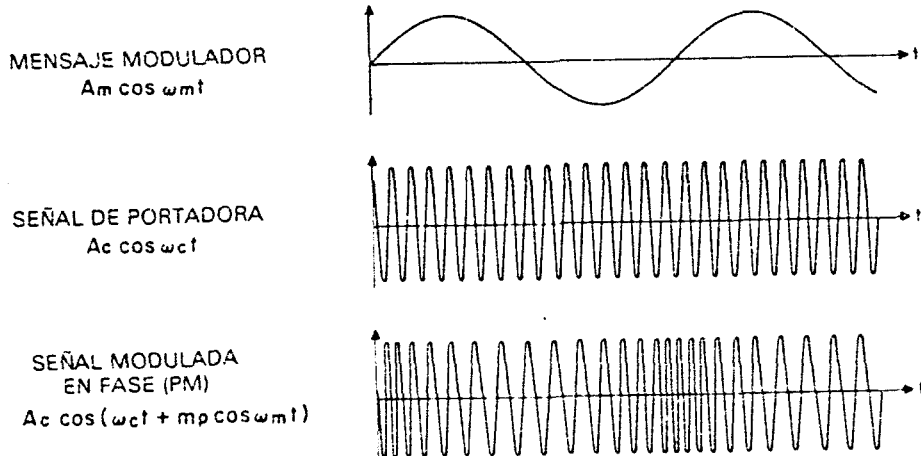


Figura (2.3)

obtiene por las funciones de Bessel  $J_n(mp)$ . Siendo la diferencia fundamental con el espectro de FM es que la variacion de la frecuencia moduladora no modifica la distribucion espectral, sino que se modifica por la variacion de la amplitud de la senal moduladora.

En FM el indice de modulacion era:

$$m_F = K_F A_m / f_m$$

y el angulo de fase de la senal modulada era proporcional a la integral del mensaje modulador. En el caso de la PM el indice de modulacion es:

$$m_p = K_p A_m$$

siendo el angulo de fase de la senal modulada proporcional al mensaje modulador. El indice de modulacion  $m_p$

representa la desviación de fase máxima o excursion o desviación de fase.

Para evitar toda ambigüedad en la demodulación, la desviación de fase se limita a  $180^\circ$  ya que los ángulos que se difieren en  $360^\circ$  no podrían distinguirse. Luego el índice de modulación quedaría:

$$m_p = K_p A_m \leq \pi$$

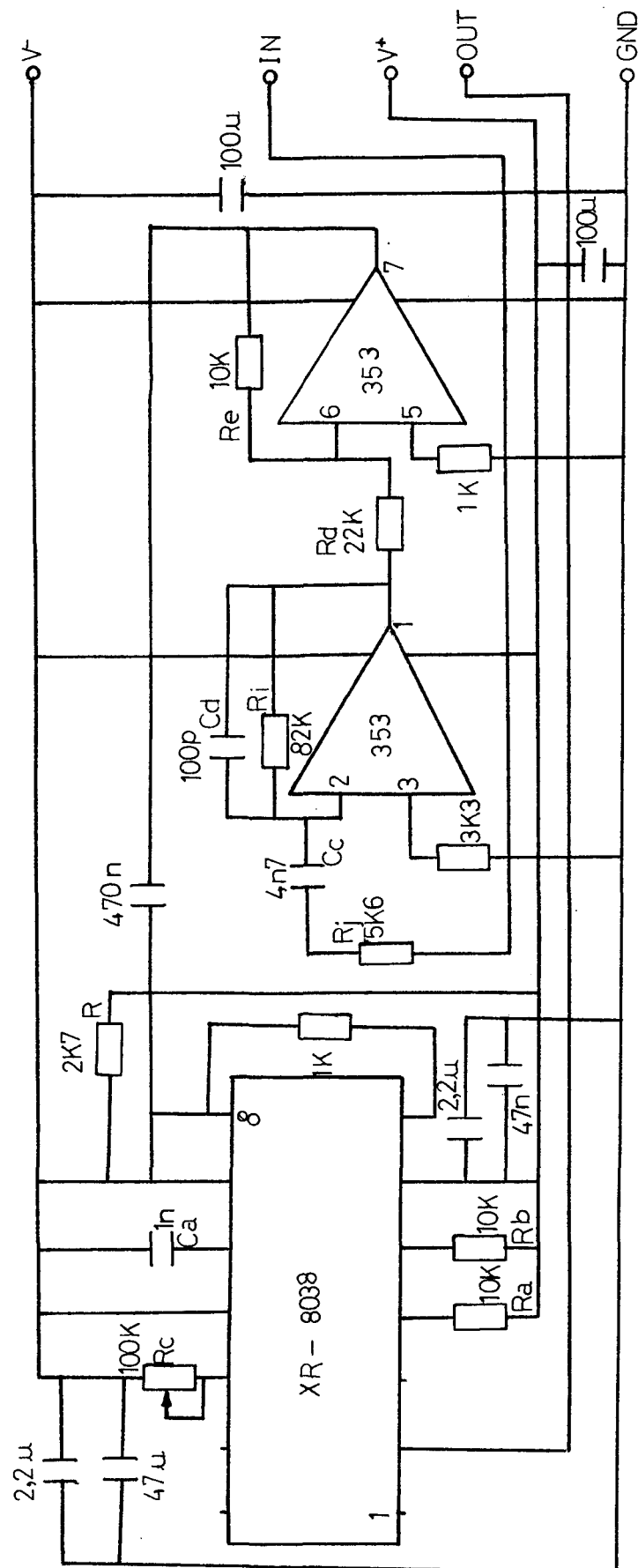
En el caso de que el índice de modulación  $m_p$  sea inferior a 0,3, la modulación es casi lineal y se denomina modulación de fase en banda estrecha.

La condición de que  $m_p \leq \pi$  da lugar a que el número de componentes espectrales sea reducido.

La tabla de la figura (2.2) nos indica que el número máximo de componentes espectrales a cada lado de la portadora es 6. Representando por  $f_m$  la frecuencia máxima del mensaje modulador, el ancho de banda máximo  $W$  ocupado por la señal de PM es 12  $f_m$ .

$$W \leq 12 f_m$$

## 2.2.1 CIRCUITO PROPUESTO : PM



## 2.2.2 DESARROLLO PRACTICO :

Como sabemos las ecuaciones de la PM y la FM son respectivamente:

$$e_{PM} = Ac \cos[Wc t + K_p f_m(t)]$$

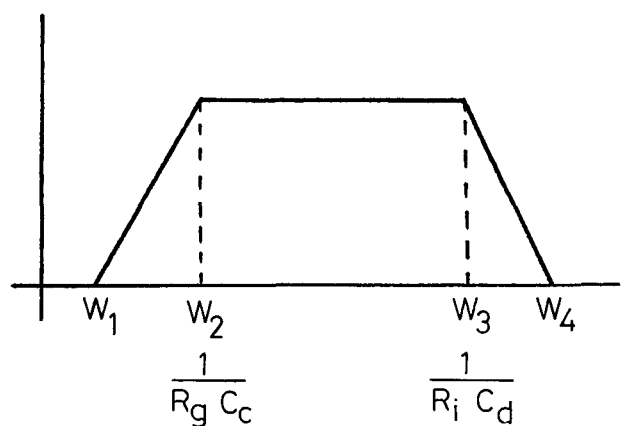
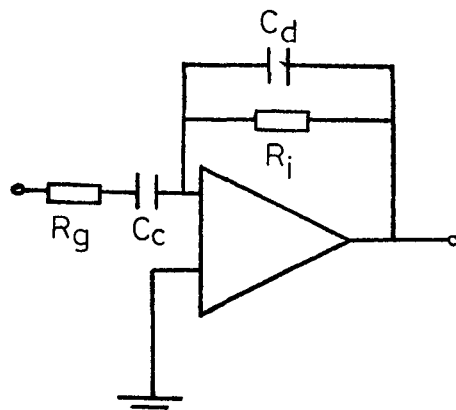
$$e_{FM} = Ac \cos[Wc t + K_f \int f_m(t) dt]$$

Podemos apreciar que la unica diferencia existente entre estas dos modulaciones, es que el valor de la FM varia con respecto a la integral de la frecuencia moduladora  $f_m$ , mientras que en PM lo hace con respecto a  $f_m$ .

Por lo que si derivamos previamente la señal  $f_m$  y luego la modulamos en FM tendremos un modulador de fase PM.

Hemos elegido el amplificador operacional LF351 por sus elevadas características, teniendo un alto SLEW RATE de 13 V/us, para desarrollar el circuito derivador.

Escogemos la configuración siguiente:



Por las experiencias realizadas hemos llegado a la conclusion de que esta configuracion es la que mejores resultados nos ofrece.

El circuito funciona como un derivador hasta la pulsacion  $1 / (Rg Cc)$ , como amplificador entre  $1 / (Rg Cc)$  y  $1 / (Ri Cd)$ , y como integrador desde  $1 / (Ri Cd)$  hasta  $\omega_4$ .

Su transmitancia se escribe:

$$H(p) = -Ri Cc p / [ (Rg Cc p + 1) (Ri Cd p + 1) ]$$

Entonces calculando  $Rg$ ,  $Ri$ ,  $Cc$  y  $Cd$ :

Queremos que  $f_4 \approx 400$  Hz.

Luego  $\omega_4 = 2\pi (400 \text{ Hz.}) = 800\pi \text{ Rad/Seg.}$

Y fijando  $Cc = 4,7 \text{ nF}$

$$Ri = 1 / (\omega_4 Cc) \approx 82K\Omega$$

$f_2$  debe ser 6 KHz. Con lo que  $\omega = 12\pi \times 10^3 \text{ Rad/seg.}$

$$Rg = 1 / (\omega_2 Cc) \approx 5,6 K\Omega$$

Y  $f_3$  debe ser 20 KHz.

Luego  $\omega_3 = 2\pi 20 \times 10^3 = 125 \times 10^3 \text{ Rad/seg.}$

$$Cd = 1 / (\omega_3 Ri) \approx 100 \text{ pF}$$

Este derivador tiene ganancia positiva, con lo cual la senal derivada tiene un valor demasiado alto. Para alcanzar un voltaje mas adecuado para excitar el modulador de FM, ponemos otro amplificador operacional que nos disminuya e invierta la senal, porque el derivador

previamente tambien nos la habia invertido.

Queremos que la senal de salida del amplificador sea la mitad de la de entrada, luego que tenga una ganancia  $G = 1/2$ .

Como  $G = R_e / R_d = 10K\Omega / 22K\Omega \approx 1/2$ .

Una vez completado el diferenciador, el resto del circuito es igual al utilizado en FM, con lo cual todo lo comentado anteriormente para ese circuito es valido para este.

Una practica que proponemos es calcular  $K_p$  y observar si la modulacion es de banda ancha o banda estrecha.

Para calcular  $K_p$  hacemos que  $f_m(t)$  sea una senal triangular:

a) Para el ciclo de subida de la senal triangular  $f_m(t) = (V_b / t_b) t$ .

Si hacemos que  $V_b = 4V$ . y  $t_b = 0,5 \text{ mSeg}$ .

$$f_m(t) = 8 \times 10^3 t$$

(  $W_c$  la medimos poniendo la entrada del modulador a masa, dandonos  $W_c \approx 182 \times 10^3 \text{ Rad/seg}$ . ).

Y Ahora medimos  $W_i$  en el osciloscopio:

$$T_i = 55 \times 10^{-6} \text{ Luego } W_i \approx 113 \times 10^3 \text{ Rad/seg.}$$

Sustituyendo en la formula:

$$W_i = W_c + K_p df_m(t) / dt$$

Y despejando:

$$K_p = [(113 - 182) \times 10^3] / (8 \times 10^3) = - 8,625$$

El signo negativo es porque la modulación es de tipo inverso.

Entonces:  $m_p = K_p A_m = 34,5$

b) Para el ciclo de bajada de la señal triangular  $f_m(t) = -8 \times 10^3 t + 4$ . Siendo  $V_b$  y  $T_b$  de valores iguales a los del caso anterior:

$$df_m(t) / dt = -8 \times 10^3$$

Como  $W_c$  es la misma, medimos  $W_i$ :

$$T_i = 25 \times 10^{-6} \text{ Luego } W_i = 251 \times 10^3 \text{ Rad/seg.}$$

Sustituyendo:

$$K_p = [(251 - 182) \times 10^3] / -(8 \times 10^3) = -8,625$$

Entonces:  $m_p = K_p A_m = 34,5$

Comprobamos que  $K_p$  vale igual para el ciclo de bajada que para el ciclo de subida, y por lo tanto tambien  $m_p$ .

Como  $m_p \gg 1$  esta modulación en fase es de banda ancha.

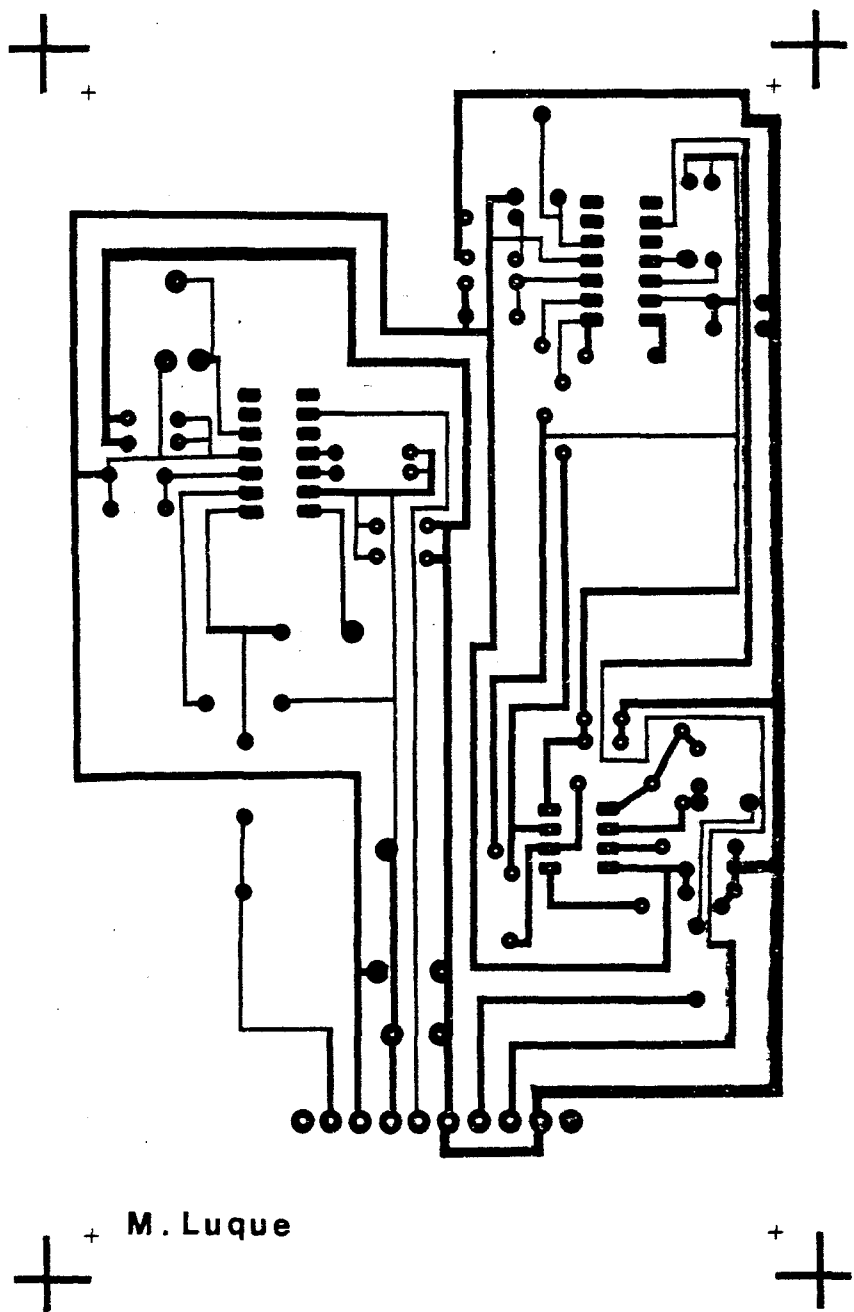
NOTA:

La señal moduladora debe tener como maximo una amplitud de 4 V<sub>pp</sub> para que no se produzcan cortes en la modulación.

La amplitud maxima a la salida del circuito es de 5 V<sub>pp</sub>.

**El nivel de tension de offset de la senal moduladora  
puede ser variado sin influir en la senal modulada.**

## 2.3 MECANORMA FM Y PM :



# XR-8038

## Precision Waveform Generator

### GENERAL DESCRIPTION

The XR-8038 is a precision waveform generator IC capable of producing sine, square, triangular, sawtooth and pulse waveforms with a minimum number of external components and adjustments. Its operating frequency can be selected over nine decades of frequency, from 0.001 Hz to 1 MHz, by the choice of external R-C components. The frequency of oscillation is highly stable over a wide range of temperature and supply voltage changes. The frequency control, sweep and modulation can be accomplished with an external control voltage, without effecting the quality of the output waveforms. Each of the three basic waveforms, i.e. sinewave, triangle and square wave outputs are available simultaneously, from independent output terminals.

The XR-8038 monolithic waveform generator uses advanced processing technology and Schottky-barrier diodes to enhance its frequency performance. It can be readily interfaced with a monolithic phase-detector circuit, such as the XR-2208, to form stable phase-locked loop circuits.

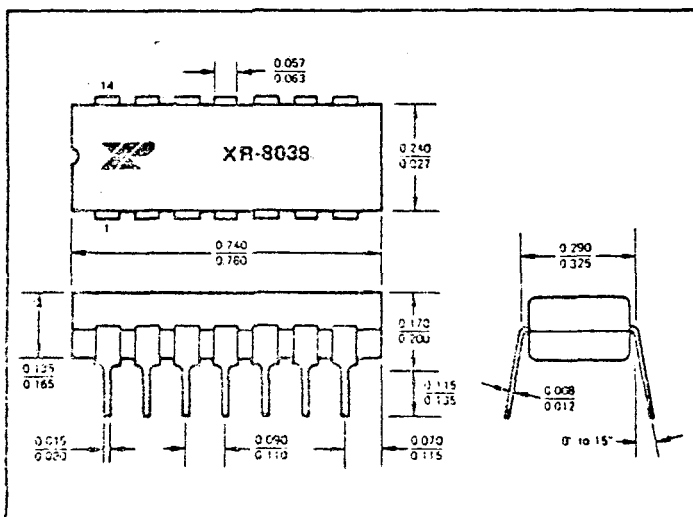
### FEATURES

- Direct Replacement for Intersil 8038
- Low Frequency Drift—50 ppm/ $^{\circ}\text{C}$  Max.
- Simultaneous Sine, Triangle and Square-Wave Outputs
- Low Distortion —THD  $\approx$  1%
- High FM and Triangle Linearity
- Wide Frequency Range — 0.001 Hz to 1 MHz
- Variable Duty-Cycle — 2% to 98%

### APPLICATIONS

- Precision Waveform Generation Sine, Triangle, Square, Pulse
- Sweep and FM Generation
- Tone Generation
- Instrumentation and Test Equipment Design
- Precision PLL Design

### PACKAGE INFORMATION



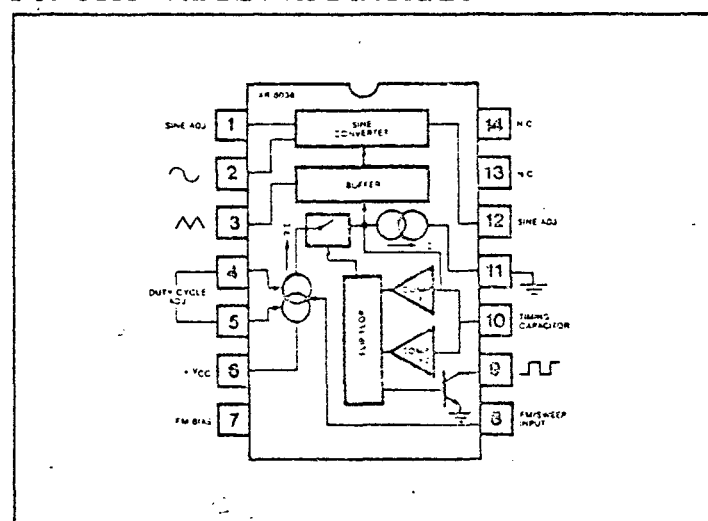
### ABSOLUTE MAXIMUM RATINGS

Power Supply	36V
Power Dissipation (package limitation)	
Ceramic package	750 mW
Derate above +25°C	6.0 mW/ $^{\circ}\text{C}$
Plastic package	625 mW
Derate above +25°C	5 mW/ $^{\circ}\text{C}$
Storage Temperature Range	-65°C to +150°C

### AVAILABLE TYPES

Part Number	Package	Operating Temperature
XR-8038M	Ceramic	-55°C to +125°C
XR-8038N	Ceramic	0°C to +75°C
XR-8038P	Plastic	0°C to +75°C
XR-8038CN	Ceramic	0°C to +75°C
XR-8038CP	Plastic	0°C to +75°C

### FUNCTIONAL BLOCK DIAGRAM

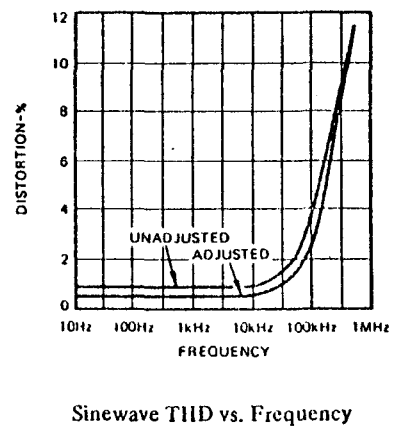
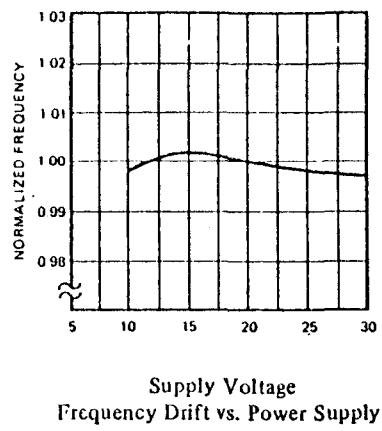
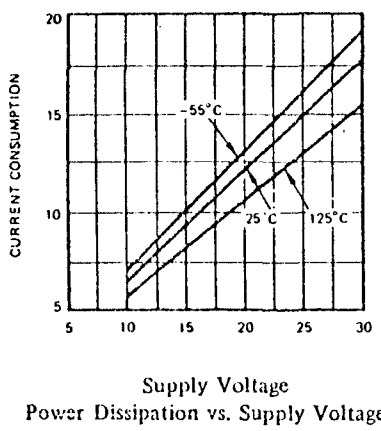


## ELECTRICAL CHARACTERISTICS

*(Signature)*  
Test Conditions:  $V_S = \pm 5V$  to  $\pm 15V$ ,  $T_A = 25^\circ C$ ,  $R_L = 1 M\Omega$ ,  $R_A = R_B = 10 k\Omega$ ,  $C_1 = 3300 pF$ ,  $S_1$  closed, unless otherwise specified. See Test Circuit of Figure 1.

CHARACTERISTICS	XR-8038M/XR-8038			XR-8038C			UNITS	CONDITIONS
	MIN.	TYP.	MAX.	MIN.	TYP.	MAX.		
<b>GENERAL CHARACTERISTICS</b>								
Supply Voltage, $V_S$	10 $\pm 5$	30 $\pm 15$	10 $\pm 5$	30 $\pm 15$	10 $\pm 5$	30 $\pm 15$	V V mA	$V_S = \pm 10V$ . See Note 1.
<b>FREQUENCY CHARACTERISTICS (Measured at Pin 9)</b>								
Range of Adjustment								
Max. Operating Frequency		1			1		MHz	$R_A = R_B = 500\Omega$ , $C_1 = 0$ ,
Lowest Practical Frequency		0.001			0.001		Hz	$R_L = 15 k\Omega$
Max. FM Sweep Frequency		100			100		kHz	$R_A = R_B = 1 M\Omega$ , $C_1 = 500 \mu F$
FM Sweep Range		1000:1			1000:1		%	$S_1$ Open. See Notes 2 and 3.
FM Linearity		0.1			0.2		kΩ	$S_1$ Open. See Note 3.
Range of Timing Resistors	0.5		1000	0.5		1000	ppm/ $^\circ C$ ppm/ $^\circ C$ ppm/ $^\circ C$ %/V	Values of $R_A$ and $R_B$ .
Temperature Stability								
XR-8038M		20	50	—	—	—	ppm/ $^\circ C$	
XR-8038		50	100	—	—	—	ppm/ $^\circ C$	
XR-8038C	—	—	—		50		ppm/ $^\circ C$	
Power Supply Stability		0.05			0.05		%/V	See Note 4.
<b>OUTPUT CHARACTERISTICS</b>								
Square-Wave Amplitude	0.9	0.98		0.9	0.98		x $V_S$	Measured at Pin 9.
Saturation Voltage		0.2	0.4		0.2	0.5	V	$R_L = 100 k\Omega$
Rise Time		100			100		nsec	$I_{sink} = 2 mA$
Fall Time		40			40		nsec	$R_L = 4.7 k\Omega$
Duty Cycle Adj.	2	40	98	2		98	%	$R_L = 4.7 k\Omega$
Triangle/Sawtooth/Ramp Amplitude	0.3	0.33		0.3	0.33		x $V_S$	Measured at Pin 3.
Linearity		0.05			0.1		%	$R_L = 100 k\Omega$
Output Impedance		200			200			$I_{out} = 5 mA$
Sine-Wave Amplitude Distortion	0.2	0.22		0.2	0.22		x $V_S$	$R_L = 100 k\Omega$
Unadjusted		0.7	1.5		0.8	3	%	$R_L = 1 M\Omega$ . See Note 5.
Adjusted		0.5			0.5		%	$R_L = 1 M\Omega$

## CHARACTERISTIC CURVES





**National  
Semiconductor**

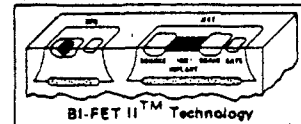
## LF353 Wide Bandwidth Dual JFET Input Operational Amplifier

### General Description

These devices are low cost, high speed, dual JFET input operational amplifiers with an internally trimmed input offset voltage (BI-FET II™ technology). They require low supply current yet maintain a large gain bandwidth product and fast slew rate. In addition, well matched high voltage JFET input devices provide very low input bias and offset currents. The LF353 is pin compatible with the standard LM1558 allowing designers to immediately upgrade the overall performance of existing LM1558 and LM358 designs.

These amplifiers may be used in applications such as high speed Integrators, fast D/A converters, sample and hold circuits and many other circuits requiring low input offset voltage, low input bias current, high input impedance, high slew rate and wide bandwidth. The devices also exhibit low noise and offset voltage drift.

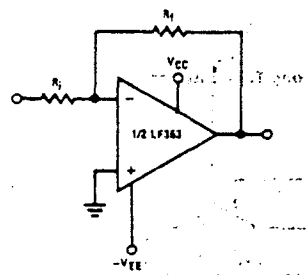
### Operational Amplifiers/Buffers



### Features

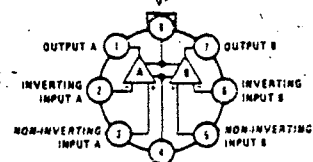
- Internally trimmed offset voltage 10 mV
- Low input bias current 50 pA
- Low input noise voltage 16 nV/√Hz
- Low input noise current 0.01 pA/√Hz
- Wide gain bandwidth 4 MHz
- High slew rate 13 V/μs
- Low supply current 3.6 mA
- High input impedance 10<sup>12</sup>Ω
- Low total harmonic distortion  $A_V = 10$ , < 0.02%  $R_L = 10k$ ,  $V_o = 20V_p-p$ , BW = 20 Hz-20 kHz
- Low 1/f noise corner 50 Hz
- Fast settling time to 0.01% 2 μs

### Typical Connection



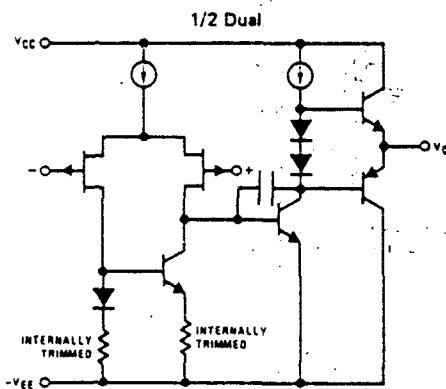
### Connection Diagrams

LF353H Metal Can Package (Top View)

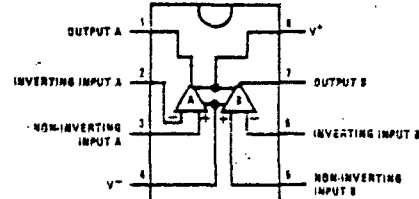


Order Number LF353H  
See NS Package H08C

### Simplified Schematic



LF353N Dual-In-Line Package (Top View)



Order Number LF353N  
See NS Package N08A

LF353

## Absolute Maximum Ratings

Supply Voltage	$\pm 18V$	Input Voltage Range (Note 2)	$\pm 15V$
Power Dissipation (Note 1)	500 mW	Output Short Circuit Duration	Continuous
Operating Temperature Range	0°C to +70°C	Storage Temperature Range	-65°C to +150°C
$T_J(MAX)$	115°C	Lead Temperature (Soldering, 10 seconds)	300°C
Differential Input Voltage	$\pm 30V$		

## DC Electrical Characteristics (Note 4)

SYMBOL	PARAMETER	CONDITIONS	LF353			UNITS
			MIN	TYP	MAX	
$V_{OS}$	Input Offset Voltage	$R_S = 10k\Omega, T_A = 25^\circ C$ Over Temperature		5	10	mV
$\Delta V_{OS}/\Delta T$	Average TC of Input Offset Voltage	$R_S = 10k\Omega$		10	13	$\mu V/\text{ }^\circ C$
$I_{OS}$	Input Offset Current	$T_J = 25^\circ C$ , (Notes 4, 5) $T_J \leq 70^\circ C$		25	100	pA
$I_B$	Input Bias Current	$T_J = 25^\circ C$ , (Notes 4, 5) $T_J \leq 70^\circ C$		4	200	nA
$R_{IN}$	Input Resistance	$T_J = 25^\circ C$		$10^{12}$		$\Omega$
$A_{VOL}$	Large Signal Voltage Gain	$V_S = \pm 15V, T_A = 25^\circ C$ $V_O = \pm 10V, R_L = 2k\Omega$ Over Temperature	25	100		V/mV
$V_O$	Output Voltage Swing	$V_S = \pm 15V, R_L = 10k\Omega$	$\pm 12$	$\pm 13.5$		V
$V_{CM}$	Input Common-Mode Voltage Range	$V_S = \pm 15V$	$\pm 11$	+15 -12		V
CMRR	Common-Mode Rejection Ratio	$R_S < 10k\Omega$	70	100		dB
PSRR	Supply Voltage Rejection Ratio	(Note 6)	70	100		dB
$I_S$	Supply Current			3.6	6.5	mA

## AC Electrical Characteristics (Note 4)

SYMBOL	PARAMETER	CONDITIONS	LF353			UNITS
			MIN	TYP	MAX	
	Amplifier to Amplifier Coupling	$T_A = 25^\circ C, f = 1\text{Hz}-20\text{kHz}$ (Input Referred)		-120		dB
SR	Slew Rate	$V_S = \pm 15V, T_A = 25^\circ C$		13		$V/\mu s$
GBW	Gain Bandwidth Product	$V_S = \pm 15V, T_A = 25^\circ C$		4		MHz
$\epsilon_n$	Equivalent Input Noise Voltage	$T_A = 25^\circ C, R_S = 100\Omega, f = 1000\text{Hz}$		16		$nV/\sqrt{\text{Hz}}$
$i_n$	Equivalent Input Noise Current	$T_J = 25^\circ C, f = 1000\text{Hz}$		0.01		$pA/\sqrt{\text{Hz}}$

Note 1: For operating at elevated temperature, the device must be derated based on a thermal resistance of  $160^\circ C/W$  junction to ambient for the N package, and  $150^\circ C/W$  junction to ambient for the H package.

Note 2: Unless otherwise specified the absolute maximum negative input voltage is equal to the negative power supply voltage.

Note 3: The power dissipation limit, however, cannot be exceeded.

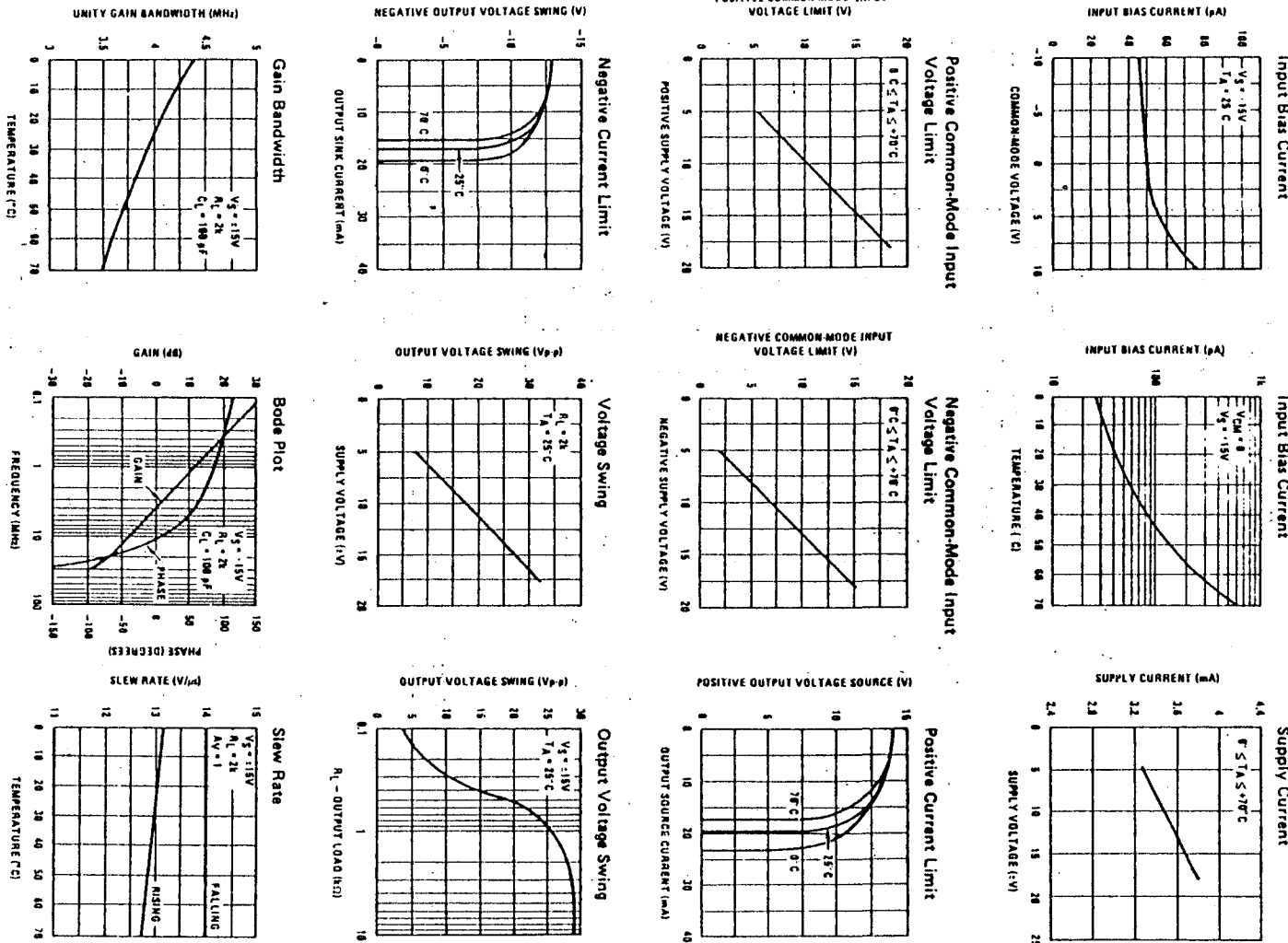
Note 4: These specifications apply for  $V_S = \pm 15V$  and  $0^\circ C < T_A \leq +70^\circ C$ .  $V_{OS}$ ,  $I_B$  and  $I_{OS}$  are measured at  $V_{CM} = 0$ .

Note 5: The input bias currents are junction leakage currents which approximately double for every  $10^\circ C$  increase in the junction temperature,  $T_J$ . Due to the limited production test time, the input bias currents measured are correlated to junction temperature. In normal operation the junction temperature rises above the ambient temperature as a result of internal power dissipation,  $P_D$ .  $T_J = T_A + \theta_{JA} P_D$  where  $\theta_{JA}$  is the thermal resistance from junction to ambient. Use of a heat sink is recommended if input bias current is to be kept to a minimum.

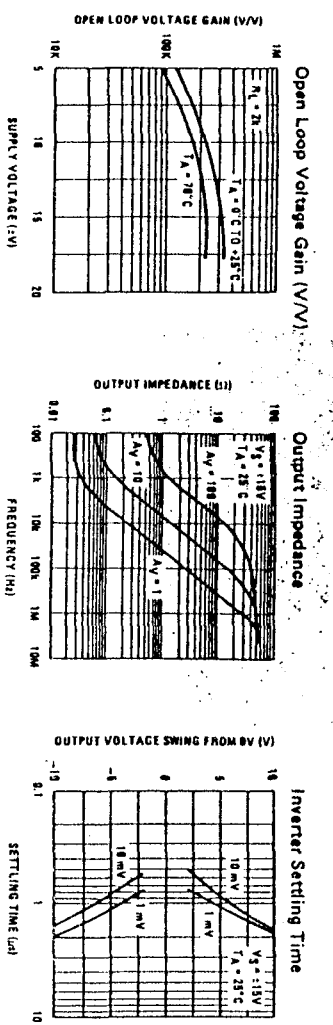
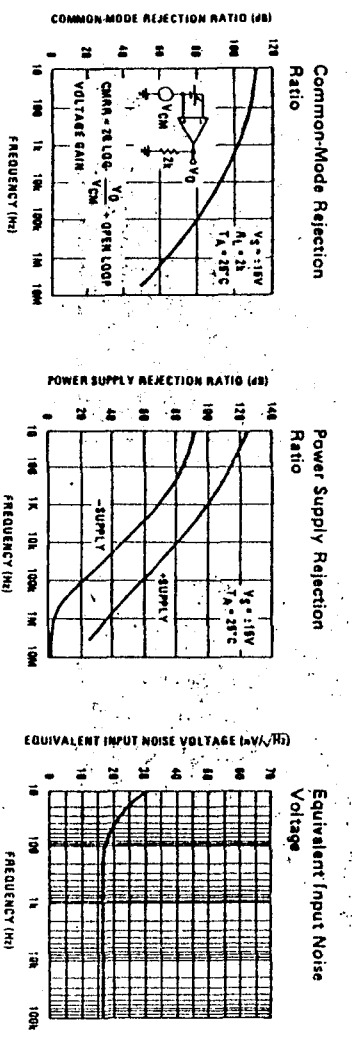
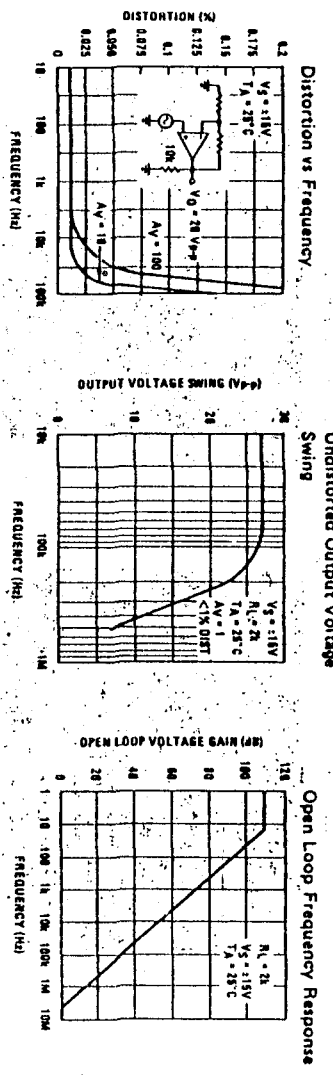
Note 6: Supply voltage rejection ratio is measured for both supply magnitudes increasing or decreasing simultaneously in accordance with common practice.

# LF353

## Typical Performance Characteristics



## Typical Performance Characteristics (Continued)



## Application Hints (Continued)

high state. In neither case does a latch occur since raising the input back within the common-mode range again puts the input stage and thus the amplifier in a normal operating mode.

Exceeding the positive common-mode limit on a single input will not change the phase of the output; however, if both inputs exceed the limit, the output of the amplifier will be forced to a high state.

The amplifiers will operate with a common-mode input voltage equal to the positive supply; however, the gain bandwidth and slew rate may be decreased in this condition. When the negative common-mode voltage swings to within 3V of the negative supply, an increase in input offset voltage may occur.

Each amplifier is individually biased by a zener reference which allows normal circuit operation on  $\pm 4V$  power supplies. Supply voltages less than these may result in lower gain bandwidth and slew rate.

The amplifiers will drive a  $2\text{k}\Omega$  load resistance to  $\pm 10V$  over the full temperature range of  $0^\circ\text{C}$  to  $+70^\circ\text{C}$ . If the amplifier is forced to drive heavier load currents, however, an increase in input offset voltage may occur on the negative voltage swing and finally reach an active current limit on both positive and negative swings.

Precautions should be taken to ensure that the power supply for the integrated circuit never becomes reversed in polarity or that the unit is not inadvertently installed

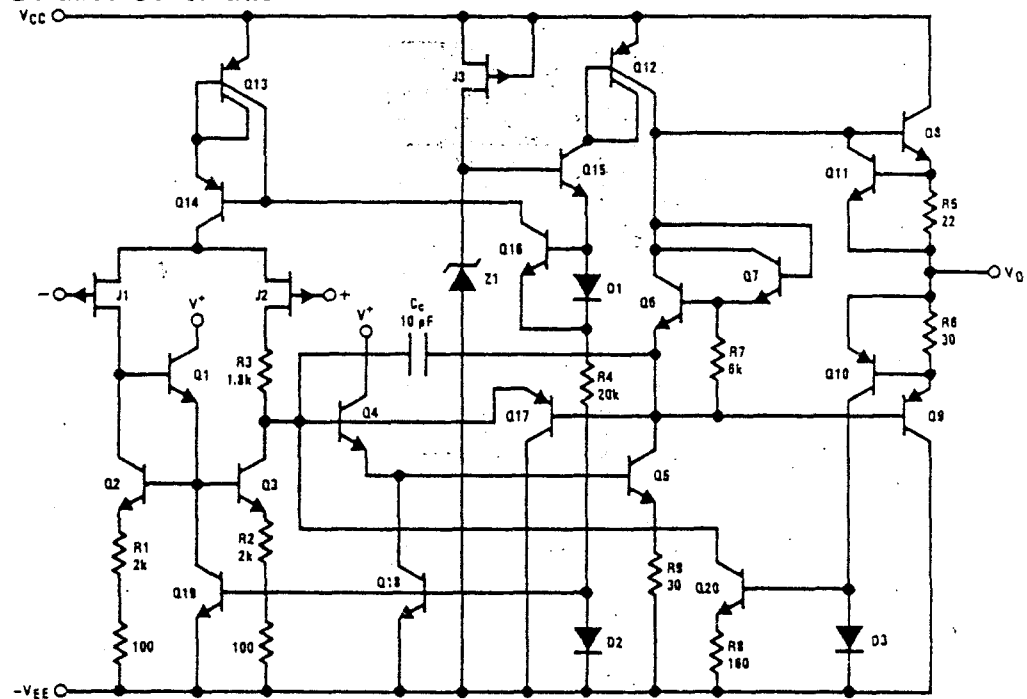
backwards in a socket as an unlimited current surge through the resulting forward diode within the IC could cause fusing of the internal conductors and result in a destroyed unit.

Because these amplifiers are JFET rather than MOSFET input op amps they do not require special handling.

As with most amplifiers, care should be taken with lead dress, component placement and supply decoupling in order to ensure stability. For example, resistors from the output to an input should be placed with the body close to the input to minimize "pick-up" and maximize the frequency of the feedback pole by minimizing the capacitance from the input to ground.

A feedback pole is created when the feedback around any amplifier is resistive. The parallel resistance and capacitance from the input of the device (usually the inverting input) to AC ground set the frequency of the pole. In many instances the frequency of this pole is much greater than the expected 3 dB frequency of the closed loop gain and consequently there is negligible effect on stability margin. However, if the feedback pole is less than approximately 6 times the expected 3 dB frequency a lead capacitor should be placed from the output to the input of the op amp. The value of the added capacitor should be such that the RC time constant of this capacitor and the resistance it parallels is greater than or equal to the original feedback pole time constant.

## Detailed Schematic



### \* 3. MODULACIONES ANALOGICAS POR IMPULSOS :

El Teorema del muestreo proporciona las bases teoricas para las tecnicas de modulacion por impulsos. Una senal de banda limitada, sin componentes espectrales de frecuencia superior a  $f_m$  Hz, queda completamente especificada mediante sus valores en intervalos uniformemente espaciados de  $1/2f_m$  segundos. En lugar de transmitir la senal en forma continua solo es necesario trasmitirla en un numero finito de instantes (  $2f_m$  por segundo ).

Un tren de impulsos rectangulares puede considerarse como una senal portadora, se puede variar la amplitud, la posicion o la duracion de los impulsos proporcionalmente a los mensajes.

A continuacion vamos a estudiar estos tres tipos de modulacion:

- Modulacion por amplitud del pulso PAM.
- Modulacion por duracion del pulso PDM.
- Modulacion por posicion del pulso PPM.

### 3.1. MODULACION DE PULSOS EN AMPLITUD [ PAM ] :

En este tipo de modulacion, la amplitud de los pulsos varia proporcionalmente al mensaje modulador. Figura (3.1).

Si hiciésemos un muestreo de forma ideal (muestreo instantaneo), con impulsos, las muestras se localizarian a intervalos  $1/2f_m$  segundos. Y el espectro de la señal muestreada  $f_s(t)$  estaría dado por la repetición periódica del espectro de  $f(t)$ , es decir, de  $F(\omega)$ . Figura (3.1e).

Se puede recuperar  $f(t)$  de la señal muestreada al transmitir  $f_s(t)$  a través de un filtro de paso bajo con frecuencia de corte  $f_m$ . El espectro de  $f_s(t)$  es  $F_s(\omega)$  dado por la ecuación:

$$F_s(\omega) = 1/T \sum F(\omega - n\omega_0)$$

$$\text{Donde } \omega_0 = 2\pi / T \quad T = 1/2f_m$$

Para el caso de la figura (3.1):

$$T = 1/2f_m \text{ (intervalo de Nyquist)} \text{ y } \omega_0 = 2\omega_m$$

Por lo tanto:

$$F_s(\omega) = 1/T \sum F(\omega - 2n\omega_m) \quad T = \pi/\omega_m$$

En la figura (3.1e) se puede apreciar que el espectro de la señal, muestreada en forma ideal, ocupa todo el ancho de banda (de  $-\infty$  a  $+\infty$ ), es decir contiene componentes de todas las frecuencias. Sin embargo en la práctica no se puede efectuar tal muestreo ideal pues no es posible

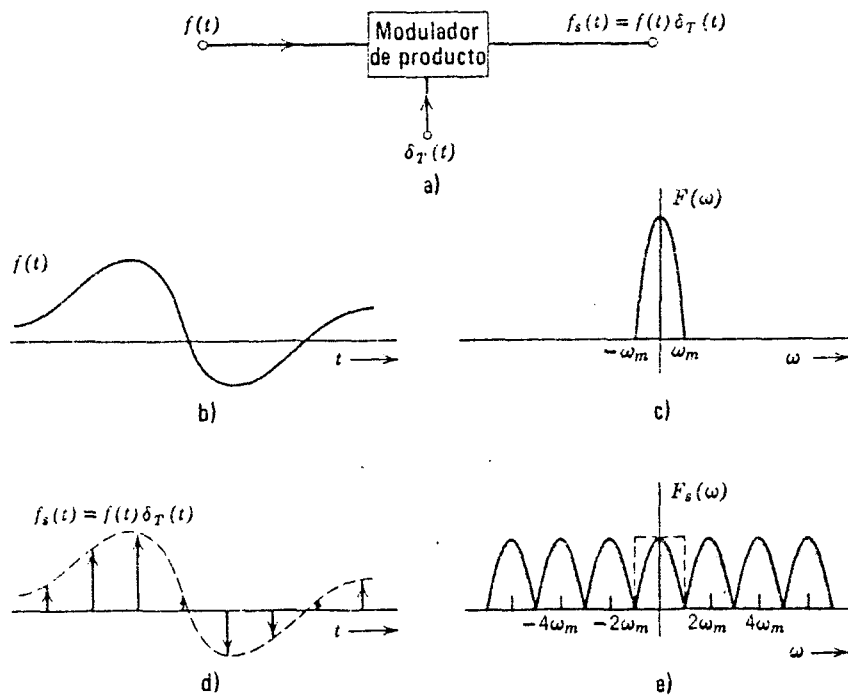


Figura (3.1) Muestreo instantáneo.

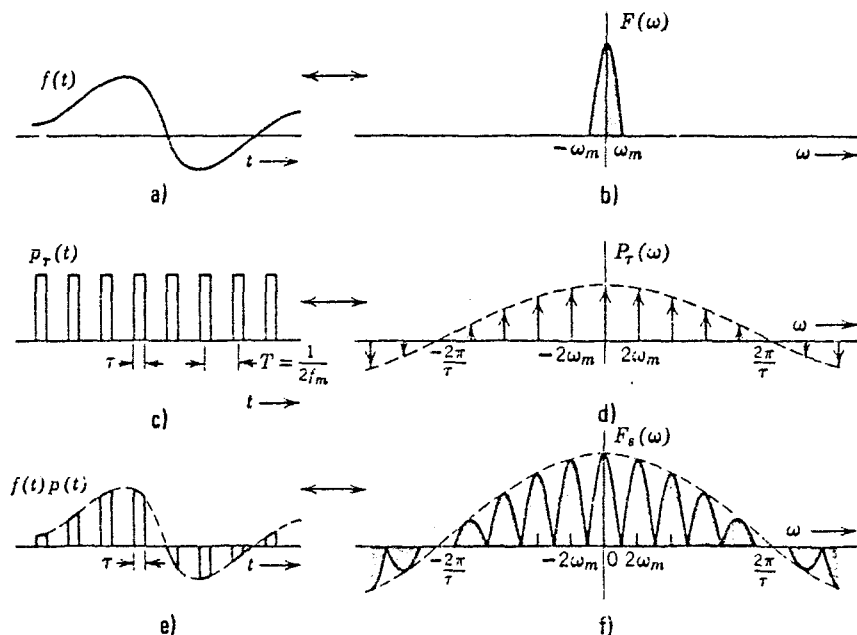


Figura (3.2) Muestreo natural.

generar verdaderos impulsos. Por lo tanto el muestreo se realiza por medio de pulsos muy angostos de duracion finita, con lo cual dicho muestreo no es instantaneo sino que ocurre en intervalos de tiempo finitos.

Haciendo el muestreo con pulsos rectangulares periodicos de segundos de duracion, repetidos cada  $T$  segundos . Y llamando a este tren de pulsos  $p_\tau(t)$ . Figura (3.2c). Tomamos el intervalo de muestreo  $T$  como el intervalo de Nyquist,  $1/2f_m$  segundos.

La senal muestreada  $f_s(t)$  es el producto de  $f(t)$  y  $p_\tau(t)$ ; entonces ,  $F_s(w)$ , (espectro de  $f_s(t)$ ) se obtiene de la convolucion de  $F(w)$  con  $P_\tau(w)$ . Cuyo resultado lo podemos apreciar de forma grafica en la figura (3.2f).

Con el muestreo no ideal se produce un espectro similar al del muestreo ideal de  $f(t)$ , pero con amplitud decreciente .

Sin embargo analiticamente podemos obtener el mismo resultado :

$$f_s(t) = f(t) p_\tau(t)$$

Entonces:  $F_s(w) = 1/2\pi F(w) * P_\tau(w)$

Luego como:  $T = 1/2f_m = \pi/W_m$  y  $W_0 = 2\pi/T = 2W_m$

$$P_\tau(w) = 2A_\tau W_m \sum S_a(n_\tau W_m) \delta(w - 2nW_m)$$

Sustituyendo:

$$F_s(w) = A_\tau W_m / \pi F(w) * \sum S_a(n_\tau W_m) \delta(w - 2nW_m)$$

$$F_s(W) = A_t / T \sum S_a(n_t W_m) F(W) * \int (W - 2nW_m)$$

$$F_s(W) = A_t / T \sum S_a(n_t W_m) F(W) F(W - 2nW_m)$$

Esta ecuacion obtenida representa el espectro de  $F(W)$  repetido cada  $2W_m$  radianes por segundo con una variacion de amplitud dada por  $S_a(n_t W_m)$ . Figura (3.2f).

Por lo tanto, el muestreo no ideal de  $f(t)$  resulta, en una repeticion de sus espectro cuyas amplitudes van disminuyendo. La senal original puede ser recuperada de la senal muestreada  $f_s(t)$  usando un filtro de paso bajo con frecuencia de corte  $W_m$ .

El ancho de banda necesario para transmitir una senal muestreada de forma ideal (modulacion por impulsos) es infinito, mientras que el necesario para la modulacion por pulsos es finito, pues el espectro  $F_s(W)$  decrece en funcion de la frecuencia y el contenido de energia es despreciable en frecuencias superiores.

Segun se va aumentando la duracion de los pulsos, el espectro decresce mas rapidamente y se reduce el ancho de banda para transmitir. Luego como conclusion, la modulacion por pulsos (muestreo no ideal) es mejor que la modulacion por impulsos (muestreo ideal). Pero, la ventaja obtenida en el dominio de la frecuencia se pierde en el dominio del tiempo; porque en la modulacion por pulsos se

precisa un mayor intervalo de tiempo para transmitir la señal muestreada que en la modulación por impulsos. Como los pulsos tienen una duración finita, solo es posible transmitir simultáneamente un número finito de señales bajo la base de tiempo compartido (multicanalización por división de tiempo) mientras que, en el caso de la modulación por impulsos, es posible transmitir cualquier número de señales.

La señal muestreada puede ser expresada como el producto de  $f(t)$  y un tren uniforme de pulsos:

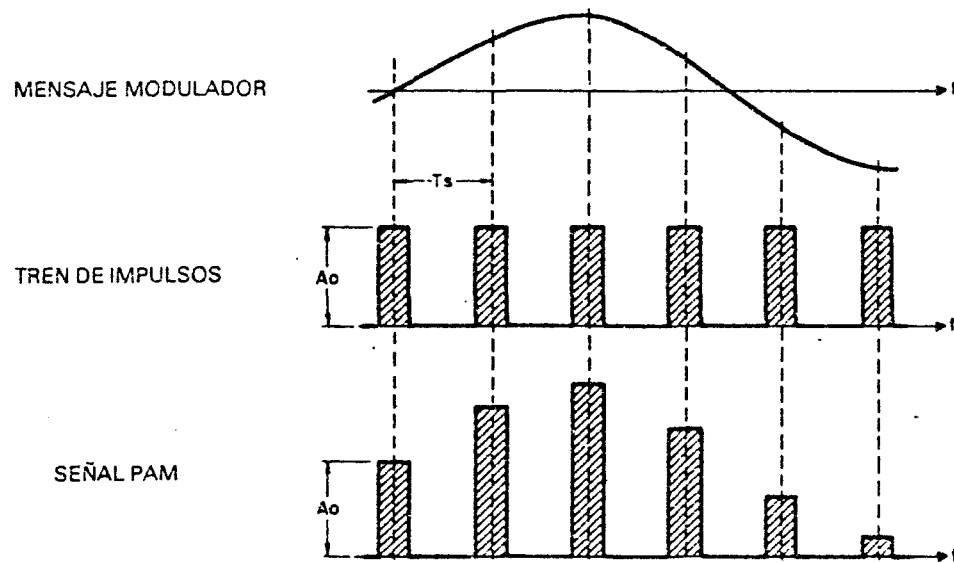
$$f_s(t) = f(t) q_t(t)$$

$$f_s(t) = f(t) \sum q(t-nT)$$

Donde  $q(t)$  representa los pulsos básicos de muestreo. Este muestreo es el llamado "muestreo natural".

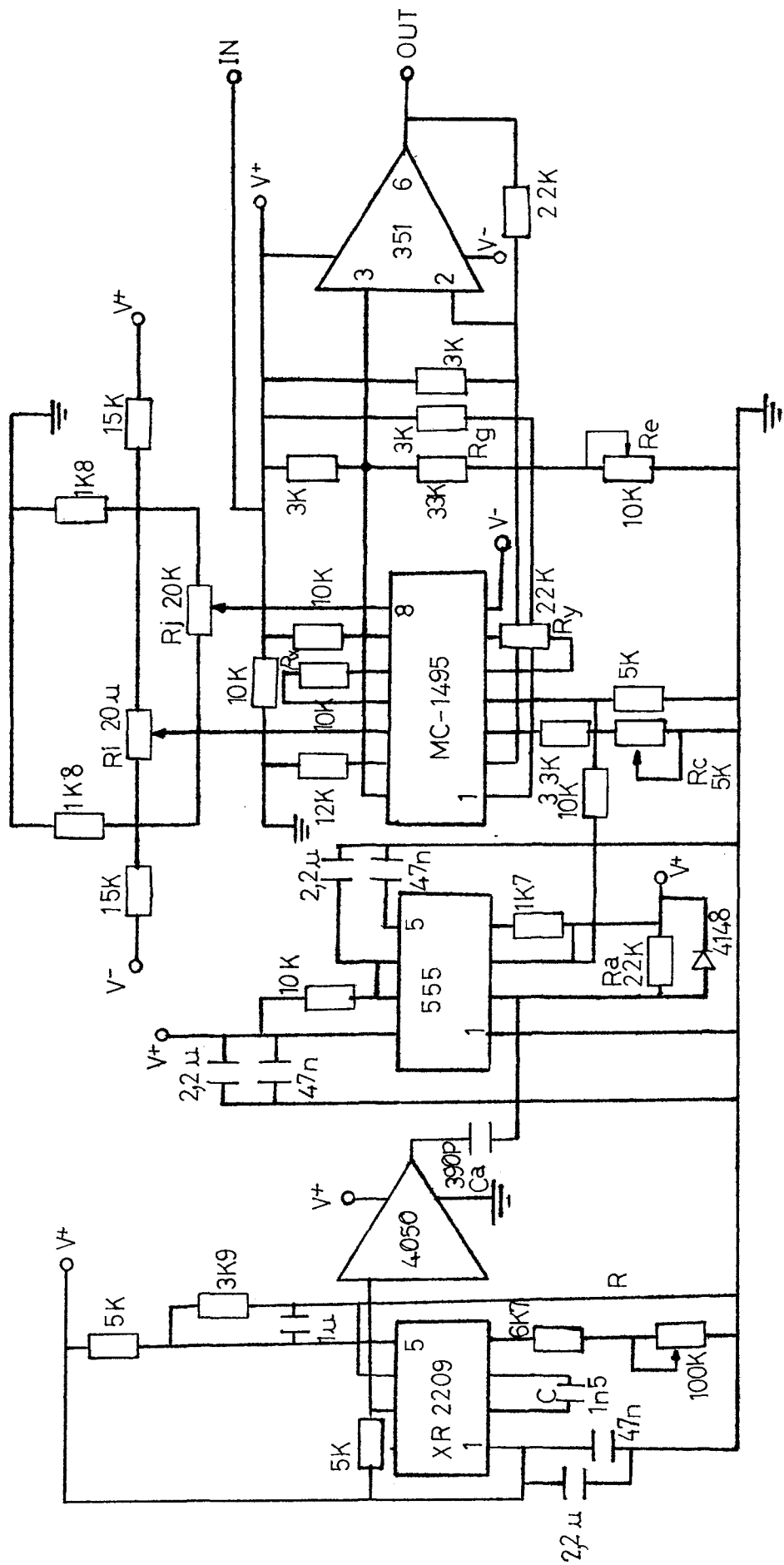
Si se desea que las muestras de una señal de banda limitada lleve la información completa de la señal, entonces la rapidez de muestreo nunca debe ser menor que  $2f_m$  muestras por segundo. Esta es la rapidez mínima de muestreo, llamada rapidez de Nyquist.

Es obvio que la rapidez de Nyquist da como resultado una repetición del espectro de la señal, sin sobreposiciones y sin intervalo alguno entre ciclos sucesivos.



$$A = K_a f(nT)$$

### 3.1.1 CIRCUITO PROGRESIVO : PAM



#### 4.1.2 DESARROLLO PRÁCTICO:

Para el diseño de esta modulación hemos utilizado cinco circuitos integrados, que son: El oscilador XR-2209, el buffer 4050, el timer NE-555, el multiplicador analógico MC-1495 y el amplificador operacional LF-351.

El XR-2209 es un oscilador que nos proporciona la señal de clock que necesitamos. Hemos fijado que esta señal tenga una frecuencia variable (mediante el potenciómetro R) entre 5 KHz y 100 KHz.

El XR-2209 va acoplado a el NE-555 mediante el buffer 4050.

El NE-555 lo hemos montado como monoestable, para convertir la señal cuadrada del XR-2209 en pulsos rectangulares de una duración aproximada a unos 10  $\mu$ Seg. Para conseguir que el monoestable se dispare en pulsos tan estrechos, tuvimos que derivar la señal del XR-2209 previamente a la entrada en el NE-555. (El derivador está formado por el condensador  $C_a$  y la resistencia  $R_a$ ).

Luego hasta aquí hemos explicado como conseguir el tren de pulsos que modularemos en amplitud, proporcionalmente a la señal moduladora. El resto del circuito está formado por el multiplicador analógico MC-1495 con un amplificador operacional a su salida (el LF-351), utilizado para cambiar el nivel de tensión de

offset. En los parrafos siguientes comentamos el funcionamiento de este conjunto multiplicador.

El ancho de banda se determina principalmente por las resistencias de carga, las capacidades de salida del multiplicador y el amplificador operacional utilizado. Si se desea un gran ancho de banda debemos poner una resistencia de carga de bajo valor y un amplificador operacional de gran ancho de banda.

Los maximos voltajes de entrada deben ser tal, que:

$$U_x \text{ (max)} < I_{13} R_y = 1 \text{ mA} \times 22 \text{ k}\Omega = 22 \text{ Vpp}$$

$$U_y \text{ (max)} < I_3 R_y = 1 \text{ mA} \times 22 \text{ k}\Omega = 22 \text{ Vpp}$$

$$I_{13} = I_3 = 1 \text{ mA}$$

Si se excede de ese valor un lado del amplificador de entrada se cortara y provocara una respuesta no lineal.

El rango maximo de voltaje de salida depende de los componentes elegidos y de las tensiones de entrada, pero varia segun la relacion:

$$U_o = - K U_x' U_y'$$

Siendo  $U_x'$  e  $U_y'$  las tensiones a las entradas de los divisores de tension de las patillas 4 y 9.

$$U_x' = 2 U_x$$

$$U_y' = U_y$$

Luego:  $U_o = - 2K U_x U_y$

El potenciómetro  $R_c$ , es para ajustar el valor del

factor de escala K.

Hemos seleccionado Rx Ry, de forma que aseguremos que los transistores de entrada siempre estén en activo.

El voltaje en la base de los transistores Q5, Q6, Q7 y Q8 (ver hojas de datos), debe ser aproximadamente 0,7 V menor que el voltaje de la patilla 1 (que hemos fijado en 9 V con la resistencia Rg = 3K $\Omega$ ). Luego para que esos transistores se mantengan en activo el voltaje en la patilla 2 y 14, debe estar aproximadamente a la mitad, entre el voltaje de la patilla 1 y de +U, o sea aproximadamente unos 10,5 V.

Para conseguir un buen ajuste del multiplicador, anulando los offset y estableciendo el factor de escala al valor deseado, debemos hacer lo siguiente:

1. Offset de la entrada X:

- a) Conectar el generador (en 1 Kz y 5 Vpp de onda sinusoidal) a la entrada Y en la patilla 4.
- b) Conectar la entrada X (patilla 9) a masa.
- c) Ajustar el potenciómetro Ri para obtener una AC nula a la salida.

2. Offset a la entrada Y:

- a) Conectar el generador (en 1Kz y 5Vpp de onda sinusoidal) a la entrada X, en la patilla 9.
- b) Conectar la entrada Y (patilla 4) a masa.

c) Ajustar  $R_j$  para obtener una  $A_c$  nula a la salida.

3. Offset de salida.

a) Conectar ambas entradas X e Y a masa.

b) Ajustar  $R_s$ , hasta que el voltaje  $V_o$  de salida, sea cero voltios DC.

4. Factor de escala.

a) Aplicar 10V. DC a ambas entradas X e Y.

b) Ajustar  $R_c$  hasta encontrar el valor deseado.

Proponemos como practica calcular el valor de la constante  $K_a$ . Procederemos de la siguiente forma:

En la entrada del modulador introducimos una señal cuadrada de 4 Vpp, situada justo sobre el nivel de 0V de DC. Entonces:

$$f(nI) = 4 \text{ Vpp}.$$

Midiendo la amplitud a la salida:  $A = 2 \text{ Vpp}$ .

Como  $A = K_a f(nI)$

Despejando:  $K_a = 4 \text{ Vpp} / 2 \text{ Vpp} = 2$

Esta constante se puede variar con el potenciómetro  $R_i$ .

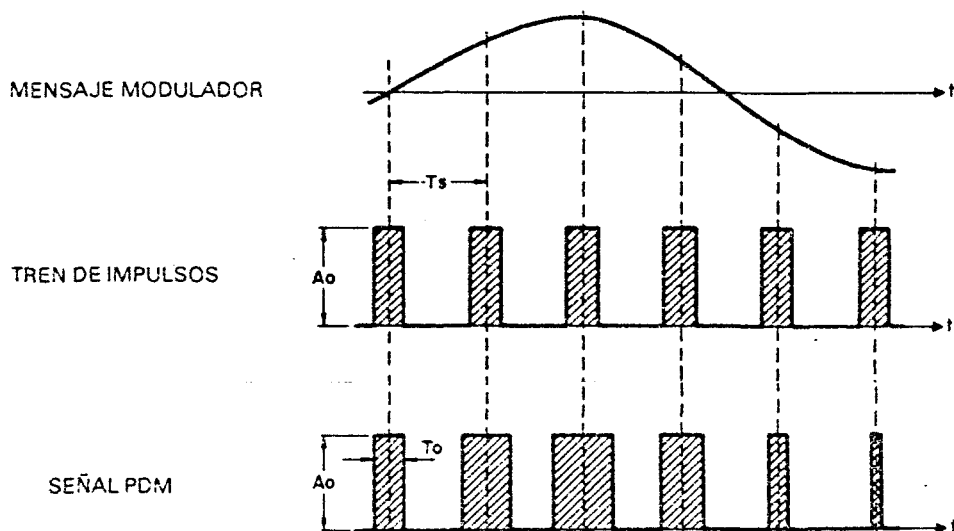
### 3.2 MODULACION POR DURACION DEL PULSO [ PDM ]:

En la modulacion anteriormente explicada la PAM, la informacion iba en la amplitud de los pulsos pero la duracion y la posicion de los pulsos era constante.

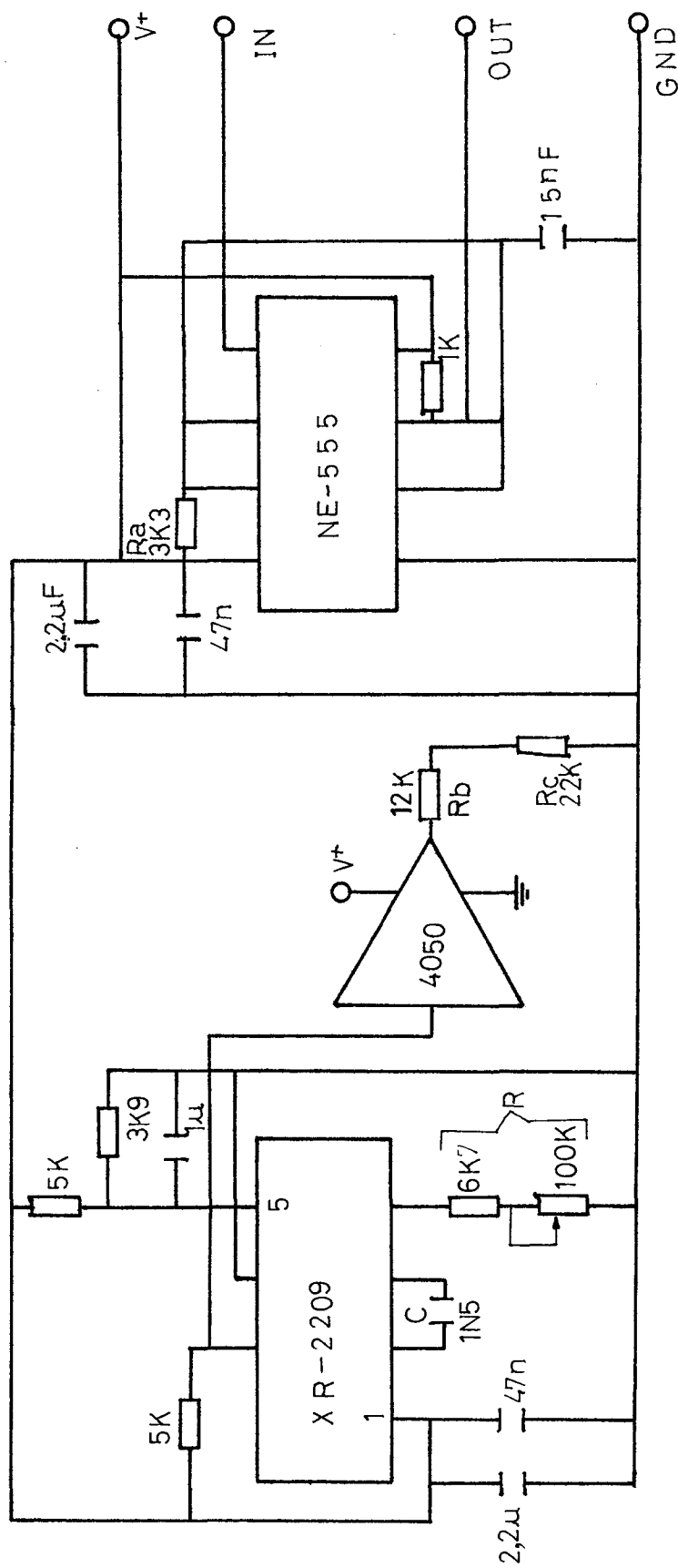
Tambien podriamos hacer que en lugar de variar la amplitud proporcionalmente a la senal moduladora, varie la duracion del pulso, dejando constantes la amplitud y su posicion. Esta es la llamada modulacion por duracion del pulso PDM, donde la duracion de los pulsos varia proporcionalmente al mensaje modulador.

Lo mas frecuente es conservar un pulso de referencia fijo de duracion  $T_0$ , al principio, al final, o en medio de los pulsos modulados en duracion.

$$D = Kd f(nT)$$



### 3.2.1 CIRCUITO PROPUESTO: PDM



### 3.2.2 DESARROLLO PRACTICO:

En el diseño de esta modulación vamos a utilizar dos circuitos integrados, el XR-2209 que nos servirá como reloj (al igual que en la modulación PAM) y el NE-555.

Como anteriormente vimos el XR-2209 es un oscilador de frecuencia variable, cuyo rango está entre 0,01 Hz y 1MHz, pero que nosotros hemos limitado a 5 KHz y 100 KHz. La frecuencia es inversamente proporcional al producto de R y C:

$$f_o = 1 / (R \cdot C)$$

Los valores elegidos han sido:

$$C = 1,5 \text{ nF.}$$

$$R = 6K7\Omega + \text{Potenc. de } 100 \text{ K}\Omega$$

Que están dentro del rango recomendado por el fabricante.

El otro I.C. que necesitamos es el NE-555, que será el que nos produzca la modulación.

La frecuencia de oscilación depende de la señal de "Clock", si la entrada del circuito está puesta a masa. Y cuando introduzcamos una señal moduladora además dependerá de esta.

La señal de "Clock" procedente del XR-2209 tiene una amplitud de 12 Vpp, lo cual es muy alto, porque el NE-555 en su entrada de trigger (patilla 2) solo admite 2/3 de Vcc.

Al ser  $V_{cc} = 12$  V, hemos puesto un divisor de tension en la entrada, formado por dos resistencias de valores:

$$R_b = 12K\Omega \text{ y } R_c = 22K\Omega$$

Entre la salida del XR-2209 y el divisor de tension a la entrada de trigger del NE-555, hemos puesto un buffer (el 4050), para asegurar que la senal de clock llega en perfectas condiciones a el NE-555.

Como practica, proponemos calcular  $K_d$ . Para ello procederemos de la manera siguiente:

a) Ajustamos el XR-2209 para una frecuencia de oscilacion de 10 KHz.

b) Ponemos a la entrada una onda cuadrada de 10 Vpp y 1 KHz de frecuencia, situandola sobre el nivel de 0V de DC. Ahora podemos apreciar como varia la duracion de los pulsos cuando el nivel de entrada es de 0V y cuando es de 10 V. Luego midiendo estas duraciones en el osciloscopio, vemos que para 0V es de  $60 \times 10^{-6}$  Seg. y para 10 V es de  $90 \times 10^{-6}$  Seg.

Entonces, para  $f(nI) = 10$  U.

$$K_d = f(nI) / D = 10 \text{ U} / (90 \times 10^{-6} \text{ Seg}) \approx 111 \times 10^3$$

N O T A :

La tension de la onda moduladora no debe sobrepasar los 10 Vpp.

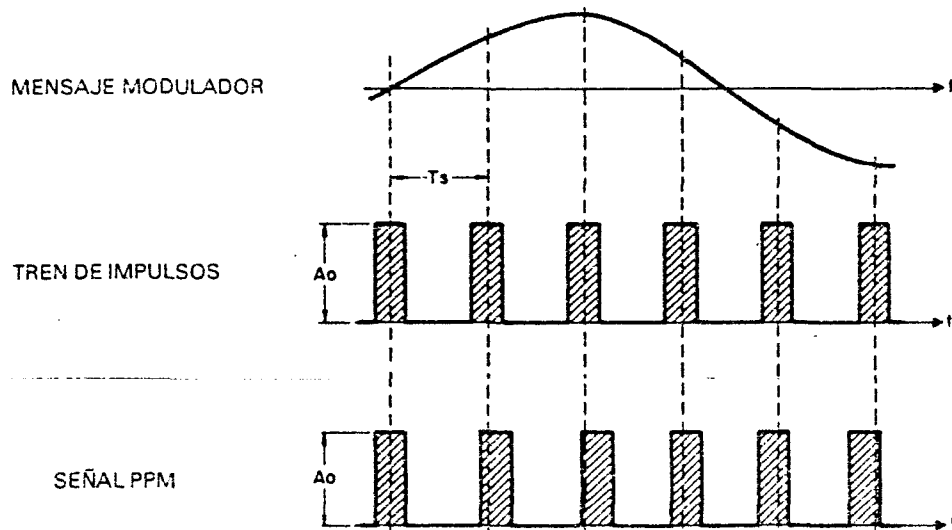
**La señal moduladora debe estar situada sobre el nivel  
de 0V de DC.**

### 3.2 MODULACION POR POSICION DEL PULSO [ PPM ]:

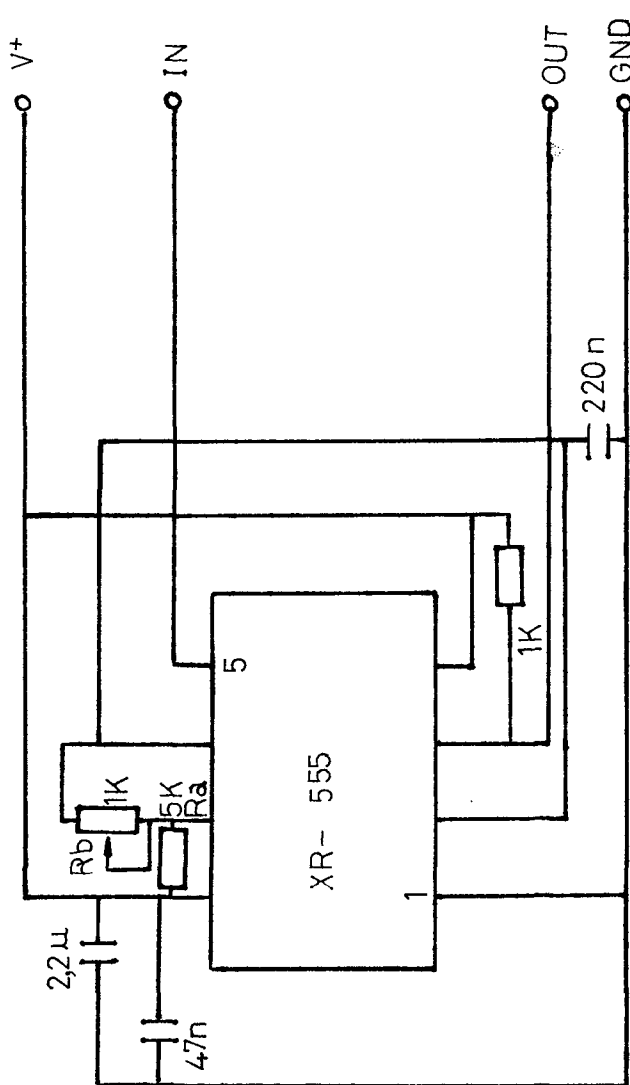
En los casos anteriores de modulaciones por pulsos habíamos hecho que variara, primero la amplitud para la modulación PAM y luego la duración de los pulsos para la modulación PDM.

En este tercer tipo de modulación por pulsos, se emiten pulsos iguales en intervalos de tiempo diferentes, el ritmo de repetición de los pulsos varía, siendo el tiempo de adelanto o retardo proporcional al mensaje modulador.

$$P = K_p f(nI)$$



### 3.3.1 CIRCUITO PROPUESTO : PPM



### 3.3.2 DESARROLLO PRACTICO:

El I.C. elegido para disenar el circuito de la modulacion PPM, ha sido al igual que para la PDM, el XR-555.

El circuito es muy sencillo, en el la frecuencia de oscilacion, con la entrada puesta a masa, depende del condensador C y de la resistencia Ra. Y al introducirle una senal moduladora tambien dependera de esta.

Variando la resistencia Rb, podemos rectificar el ancho de los pulsos.

La patilla 4 (de reset) la tenemos puesta fija a +U para impedir disparos erroneos.

Proponemos como practica el calcular la constante Kp. Para ello realizamos lo siguiente:

a) Ponemos la entrada del circuito a masa, haciendo  $f(nI) = 0V$ . Y obtendremos una serie de pulsos con periodo:

$$T_a = 1,5 \times 10^{-4} \text{ Seg.}$$

b) Ponemos una tension DC de 3 V a la entrada. Y a la salida obtenemos una serie de pulsos de periodo:

$$T_b = 1,8 \times 10^{-4} \text{ Seg.}$$

Luego la posicion de los pulsos ha cambiado con la amplitud de la senal de entrada. Este cambio de posicion lo medimos en segundos, y es:

$$P = T_b - T_a = (1,8 \times 10^{-4}) - (1,5 \times 10^{-4}) = 30 \text{ uSeg.}$$

Como:

$$P = K_p f(nI)$$

entonces despejando  $K_p$ .

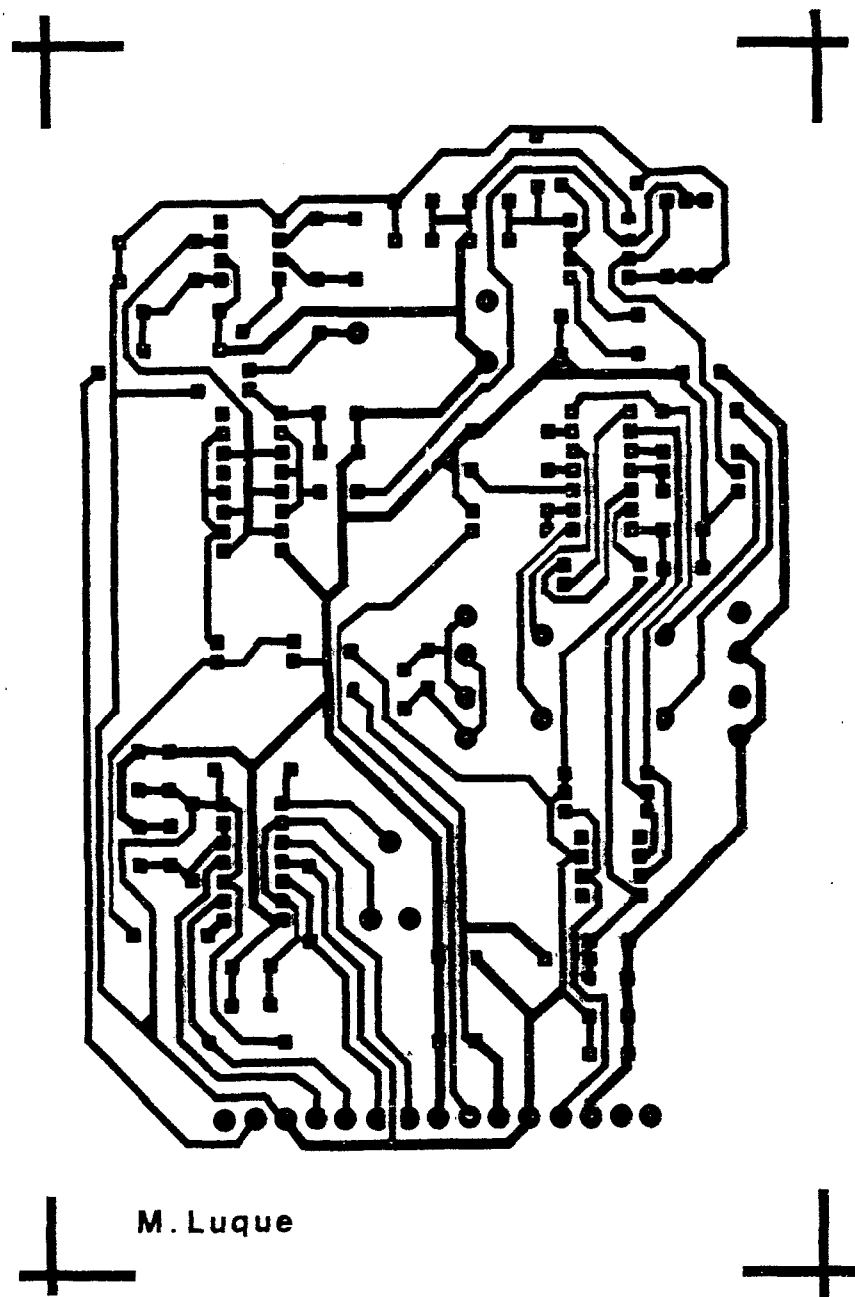
$$K_p = f(nI) / P = 3 \text{ Volt.} / 30 \text{ uSeg.} = 0,1$$

N O T A :

La señal moduladora no debe sobrepasar los 3 Vpp.

La amplitud maxima de la señal modulada es de 12 Vpp.

**3.4 MECANORMA PAM, PDM, PPM :**



# XR-2209

## Precision Oscillator

### GENERAL DESCRIPTION

The XR-2209 is a monolithic variable frequency oscillator circuit featuring excellent temperature stability and a wide linear sweep range. The circuit provides simultaneous triangle and squarewave outputs over a frequency range of 0.01 Hz to 1 MHz. The frequency is set by an external RC product. It is ideally suited for frequency modulation, voltage to frequency or current to frequency conversion, sweep or tone generation as well as for phase-locked loop applications when used in conjunction with a phase comparator such as the XR-2208.

The circuit is comprised of three functional blocks: a variable frequency oscillator which generates the basic periodic waveforms and two buffer amplifiers for the triangle and the squarewave outputs.

The oscillator frequency is set by an external capacitor, C, and the timing resistor R. With no sweep signal applied, the frequency of oscillation is equal to  $1/RC$ . The XR-2209 has a typical drift specification of 20 ppm/ $^{\circ}\text{C}$ . Its frequency can be linearly swept over a 1000:1 range with an external control signal.

### FEATURES

- Excellent Temperature Stability (20 ppm/ $^{\circ}\text{C}$ )
- Linear Frequency Sweep
- Wide Sweep Range (1000:1 Min)
- Wide Supply Voltage Range ( $\pm 4\text{V}$  to  $\pm 13\text{V}$ )
- Low Supply Sensitivity (0.15%/V)
- Wide Frequency Range (0.01 Hz to 1 MHz)
- Simultaneous Triangle and Squarewave Outputs

### ABSOLUTE MAXIMUM RATINGS

Power Supply	26 volts
Power Dissipation (package limitation)	
Ceramic package	385 mW
Plastic Package	300 mW
Derate above $+25^{\circ}\text{C}$	2.5 mW/ $^{\circ}\text{C}$
Temperature Range	
Operating	
XR-2209M	$-55^{\circ}\text{C}$ to $+125^{\circ}\text{C}$
XR-2209C	$0^{\circ}\text{C}$ to $+75^{\circ}\text{C}$
Storage	$-65^{\circ}\text{C}$ to $+150^{\circ}\text{C}$

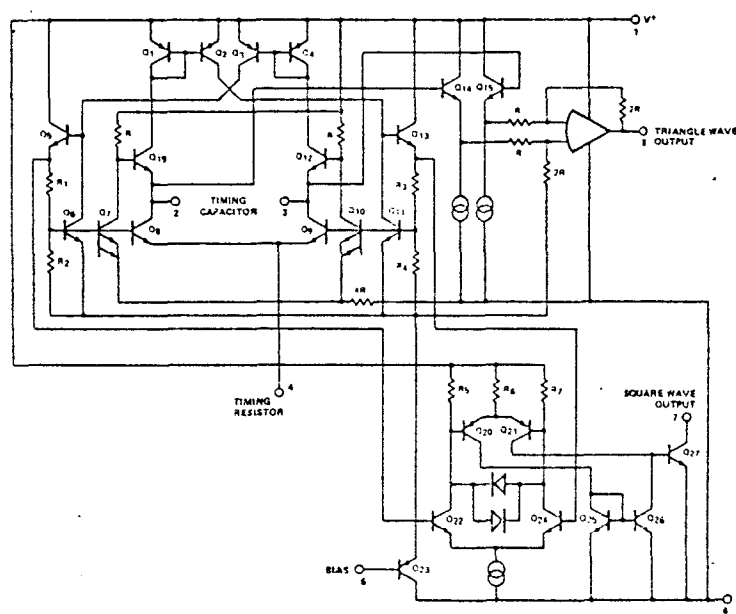
### APPLICATIONS

- Voltage and Current-to-Frequency Conversion
- Stable Phase-Locked Loop
- Waveform Generation
- FM and Sweep Generation

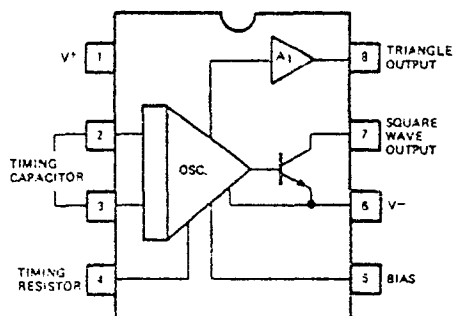
### AVAILABLE TYPES

Part Number	Package	Operating Temperature
XR-2209M	Ceramic	$-55^{\circ}\text{C}$ to $+125^{\circ}\text{C}$
XR-2209CN	Ceramic	$0^{\circ}\text{C}$ to $+75^{\circ}\text{C}$
XR-2209CP	Plastic	$0^{\circ}\text{C}$ to $+75^{\circ}\text{C}$

### EQUIVALENT SCHEMATIC DIAGRAM



### FUNCTIONAL BLOCK DIAGRAM



## ELECTRICAL CHARACTERISTICS – PRELIMINARY

**Test Conditions:** Test Circuit of Figure 1,  $V^+ = V^- = 6V$ ,  $T_A = +25^\circ C$ ,  $C = 5000 \text{ pF}$ ,  $R = 20 \text{ k}\Omega$ ,  $R_L = 4.7 \text{ k}\Omega$ .  
 $S_1$  and  $S_2$  closed unless otherwise specified.

PARAMETERS	XR-2209M			XR-2209C			UNITS	CONDITIONS
	MIN.	TYP.	MAX.	MIN.	TYP.	MAX.		
<b>GENERAL CHARACTERISTICS</b>								
Supply Voltage Single Supply Split Supplies	8 $\pm 4$		26 $\pm 13$	8 $\pm 4$		26 $\pm 13$	V V	See Figure 2 See Figure 1
Supply Current Single Supply		5	7		5	8	mA	Measured at pin 1, $S_1, S_2$ open See Figure 2
Split Supplies Positive Negative		5 4	7 6		5 4	8 7	mA mA	Measured at pin 1, $S_1, S_2$ open Measured at pin 4, $S_1, S_2$ open
<b>OSCILLATOR SECTION – FREQUENCY CHARACTERISTICS</b>								
Upper Frequency Limit	0.5	1.0		0.5	1.0		MHz	$C = 500 \text{ pF}, R = 2 \text{ k}\Omega$
Lowest Practical Frequency		0.01			0.01		Hz	$C = 50 \mu\text{F}, R = 2 \text{ M}\Omega$
Frequency Accuracy		$\pm 1$	$\pm 3$		$\pm 1$	$\pm 5$	% of $f_o$	
Frequency Stability							ppm/ $^\circ C$	$0^\circ < T_A < 75^\circ C$
Temperature		20	50		30		%/V	
Power Supply		0.15			0.15		$f_H/f_L$	
Sweep Range	1000:1	3000:1			1000:1		%	$R = 1.5 \text{ k}\Omega$ for $f_H$ $R = 2 \text{ M}\Omega$ for $f_L$
Sweep Linearity							$f_H = 10 \text{ kHz}, f_L = 1 \text{ kHz}$	$C = 5000 \text{ pF}$
10:1 Sweep		1	2		1.5		$f_H = 100 \text{ kHz}, f_L = 100 \text{ Hz}$	
1000:1 Sweep		5			5			$\pm 10\%$ FM Deviation
FM Distortion		0.1			0.1		%	
Recommended Range of Timing Resistors	1.5		2000	1.5		2000	K $\Omega$	See Characteristic Curves
Impedance at Timing Pin		75			75		$\Omega$	Measured at pin 4
<b>OUTPUT CHARACTERISTICS</b>								
Triangle Output Amplitude Impedance Linearity	4	6		4	6		V <sub>pp</sub> $\Omega$ %	Measured at pin 8 10% to 90% of swing
Squarewave Output Amplitude Saturation Voltage Rise Time Fall Time	11	12 0.2 200 20	0.4	11	12 0.2 200 20	0.4	V <sub>pp</sub> V nsec nsec	Measured at pin 7, $S_2$ closed Referenced to pin 6 $C_L \leq 10 \text{ pF}, R_L = 4.7 \text{ k}\Omega$ $C_L \leq 10 \text{ pF}$

## CHARACTERISTIC CURVES

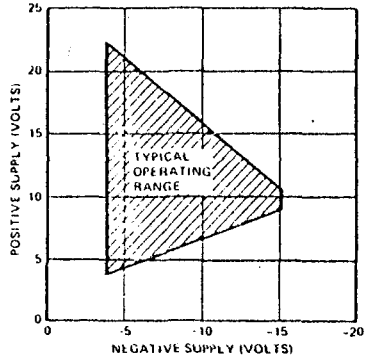


Figure 3. Typical Operating Range For Split Supply Voltage

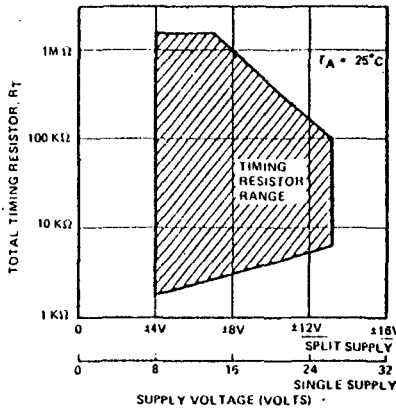


Figure 4. Recommended Timing Resistor Value vs. Power Supply Voltage\*

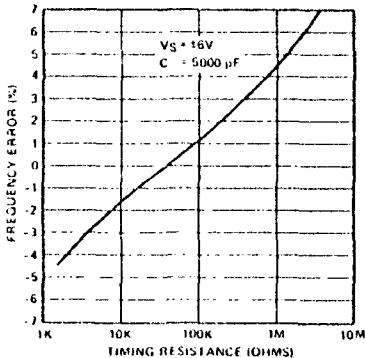


Figure 6. Frequency Accuracy vs. Timing Resistance

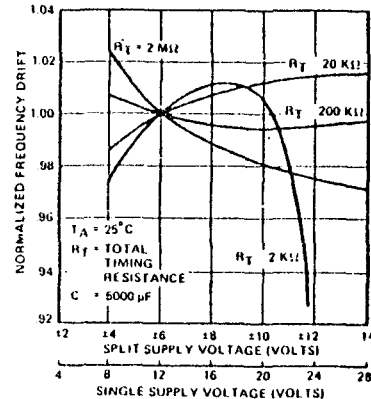


Figure 7. Frequency Drift vs. Supply Voltage

\*Note: R<sub>T</sub> = Timing Resistor at Pin 4

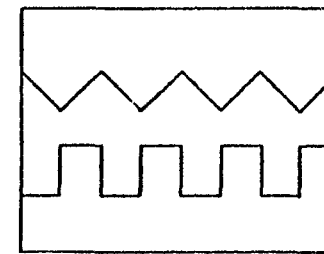


Figure 5: Output Waveforms  
Top: Triangle Output (Pin 8)  
Bottom: Squarewave Output (Pin 7)

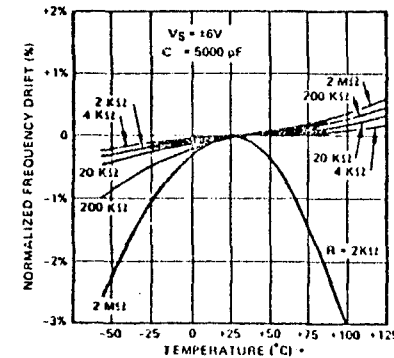


Figure 8. Normalized Frequency Drift With Temperature



**National  
Semiconductor**

## CD4049M/CD4049C Hex Inverting Buffer CD4050BM/CD4050BC Hex Non-Inverting Buffer

### General Description

These hex buffers are monolithic complementary MOS (CMOS) integrated circuits constructed with N- and P-channel enhancement mode transistors. These devices feature logic level conversion using only one supply voltage ( $V_{DD}$ ). The input signal high level ( $V_{IH}$ ) can exceed the  $V_{DD}$  supply voltage when these devices are used for logic level conversions. These devices are intended for use as hex buffers, CMOS to DTL/TTL converters, or as CMOS current drivers, and at  $V_{DD} = 5.0$  V, they can drive directly two DTL/TTL loads over the full operating temperature range.

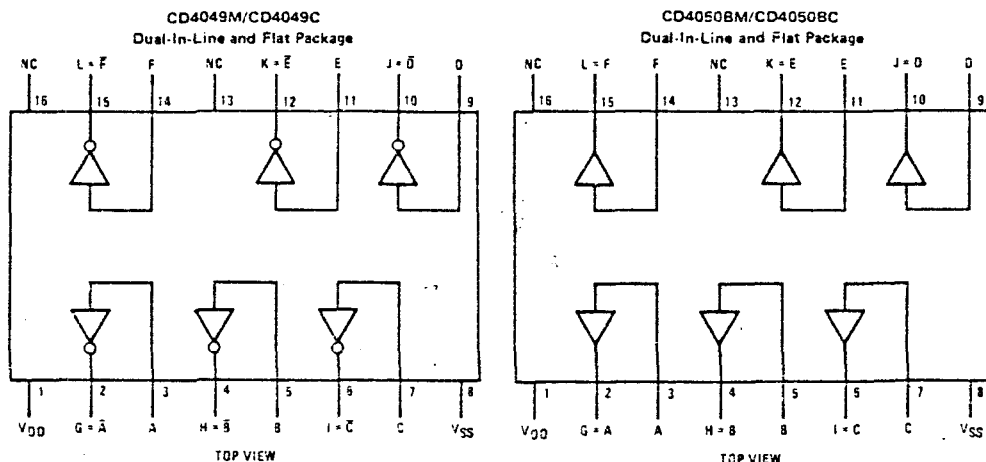
### Features

- Wide supply voltage range 3.0 V to 15 V
- Direct drive to 2 TTL loads at 5.0 V over full temperature range
- High source and sink current capability
- Special input protection permits input voltages greater than  $V_{DD}$

### Applications

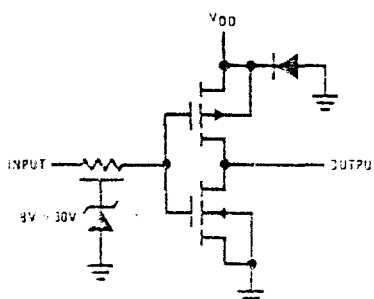
- CMOS hex inverter/buffer
- CMOS to DTL/TTL hex converter
- CMOS current "sink" or "source" driver
- CMOS high-to-low logic level converter

### Connection Diagrams

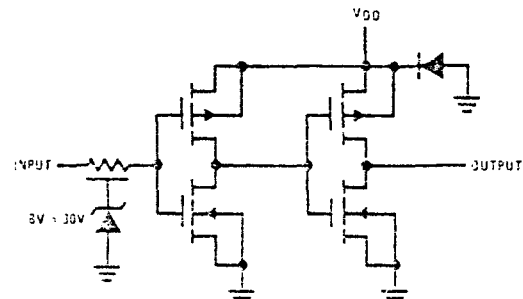


### Schematic Diagrams

CD4049M/CD4049C  
1 of 6 Identical Units



CD4050BM/CD4050BC  
1 of 6 Identical Units



**Absolute Maximum Ratings**

(Notes 1 and 2)

V <sub>DD</sub> Supply Voltage	-0.5V to +18V
V <sub>IN</sub> Input Voltage	-0.5V to +18V
V <sub>OUT</sub> Voltage at Any Output Pin	-0.5V to V <sub>DD</sub> + 0.5V
T <sub>S</sub> Storage Temperature Range	-65°C to +150°C
P <sub>D</sub> Package Dissipation	500 mW
T <sub>L</sub> *Lead Temperature (Soldering, 10 seconds)	300°C

**Recommended Operating Conditions**

(Note 2)

V <sub>DD</sub> Supply Voltage	3V to 15V
V <sub>IN</sub> Input Voltage	0V to 15V
V <sub>OUT</sub> Voltage at Any Output Pin	0 to V <sub>DD</sub>
T <sub>A</sub> Operating Temperature Range	-65°C to +125°C
CD4049M, CD4050BM	-40°C to +85°C
CD4049C, CD4050BC	-40°C to +85°C

**DC Electrical Characteristics** CD4049M/CD4050BM (Note 2)

PARAMETER	CONDITIONS	-55°C		25°C		125°C		UNITS
		MIN	MAX	MIN	TYP	MAX	MIN	
I <sub>DD</sub> Quiescent Device Current	V <sub>DD</sub> = 5V		1.0		0.01	1.0		30 $\mu$ A
	V <sub>DD</sub> = 10V		2.0		0.01	2.0	60	$\mu$ A
	V <sub>DD</sub> = 15V		4.0		0.03	4.0	120	$\mu$ A
V <sub>OL</sub> Low Level Output Voltage	V <sub>IH</sub> = V <sub>DD</sub> , V <sub>IL</sub> = 0,  I <sub>O</sub>   < 1 $\mu$ A							
	V <sub>DD</sub> = 5V		0.05		0	0.05	0.05	V
	V <sub>DD</sub> = 10V		0.05		0	0.05	0.05	V
	V <sub>DD</sub> = 15V		0.05		0	0.05	0.05	V
V <sub>OH</sub> High Level Output Voltage	V <sub>IH</sub> = V <sub>DD</sub> , V <sub>IL</sub> = 0,  I <sub>O</sub>   < 1 $\mu$ A							
	V <sub>DD</sub> = 5V	4.95		4.95	5		4.95	V
	V <sub>DD</sub> = 10V	9.95		9.95	10		9.95	V
	V <sub>DD</sub> = 15V	14.95		14.95	15		14.95	V
V <sub>IIL</sub> Low Level Input Voltage (CD4050BM Only)	I <sub>O</sub>   < 1 $\mu$ A							
	V <sub>DD</sub> = 5V, V <sub>O</sub> = 0.5V		1.5		2.25	1.5	1.5	V
	V <sub>DD</sub> = 10V, V <sub>O</sub> = 1V		3.0		4.5	3.0	3.0	V
	V <sub>DD</sub> = 15V, V <sub>O</sub> = 1.5V		4.0		6.75	4.0	4.0	V
V <sub>IIL</sub> Low Level Input Voltage (CD4049M Only)	I <sub>O</sub>   < 1 $\mu$ A							
	V <sub>DD</sub> = 5V, V <sub>O</sub> = 4.5V		1.0		1.5	1.0	1.0	V
	V <sub>DD</sub> = 10V, V <sub>O</sub> = 9V		2.0		2.5	2.0	2.0	V
	V <sub>DD</sub> = 15V, V <sub>O</sub> = 13.5V		3.0		3.5	3.0	3.0	V
V <sub>IH</sub> High Level Input Voltage (CD4050BM Only)	I <sub>O</sub>   < 1 $\mu$ A							
	V <sub>DD</sub> = 5V, V <sub>O</sub> = 4.5V	3.5		3.5	2.75		3.5	V
	V <sub>DD</sub> = 10V, V <sub>O</sub> = 9V	7.0		7.0	5.5		7.0	V
	V <sub>DD</sub> = 15V, V <sub>O</sub> = 13.5V	11.0		11.0	8.25		11.0	V
V <sub>IH</sub> High Level Input Voltage (CD4049M Only)	I <sub>O</sub>   < 1 $\mu$ A							
	V <sub>DD</sub> = 5V, V <sub>O</sub> = 0.5V	4.0		4.0	3.5		4.0	V
	V <sub>DD</sub> = 10V, V <sub>O</sub> = 1V	8.0		8.0	7.5		8.0	V
	V <sub>DD</sub> = 15V, V <sub>O</sub> = 1.5V	12.0		12.0	11.5		12.0	V
I <sub>OL</sub> Low Level Output Current (Note 3)	V <sub>IH</sub> = V <sub>DD</sub> , V <sub>IL</sub> = 0V							
	V <sub>DD</sub> = 5V, V <sub>O</sub> = 0.4V	5.5		4.6	5		3.2	$\mu$ A
	V <sub>DD</sub> = 10V, V <sub>O</sub> = 0.5V	12		9.8	12		6.8	$\mu$ A
	V <sub>DD</sub> = 15V, V <sub>O</sub> = 1.5V	35		29	40		20	$\mu$ A
I <sub>OH</sub> High Level Output Current (Note 3)	V <sub>IH</sub> = V <sub>DD</sub> , V <sub>IL</sub> = 0V							
	V <sub>DD</sub> = 5V, V <sub>O</sub> = 4.5V	-1.3		-1.1	-1.6		-0.72	$\mu$ A
	V <sub>DD</sub> = 10V, V <sub>O</sub> = 9.5V	-2.6		-2.2	-3.6		-1.5	$\mu$ A
	V <sub>DD</sub> = 15V, V <sub>O</sub> = 13.5V	-8.0		-7.2	-12		-5.0	$\mu$ A
I <sub>IN</sub> Input Current	V <sub>DD</sub> = 15V, V <sub>IN</sub> = 0V		-0.1		-10 <sup>-5</sup>	-0.1	-1.0	$\mu$ A
	V <sub>DD</sub> = 15V, V <sub>IN</sub> = 15V		0.1		10 <sup>-5</sup>	0.1	1.0	$\mu$ A

Note 1: "Absolute Maximum Ratings" are those values beyond which the safety of the device cannot be guaranteed; they are not meant to imply that the devices should be operated at these limits. The table of "Recommended Operating Conditions" and "Electrical Characteristics" provides conditions for actual device operation.

Note 2: V<sub>SS</sub> = 0V unless otherwise specified.

Note 3: These are peak output current capabilities. Continuous output current is rated at 12 mA maximum. The output current should not be allowed to exceed this value for extended periods of time.

## CD4049M/CD4049C, CD40450BM/CD4050BC

### DC Electrical Characteristics CD4049C/CD4050BC (Note 2)

PARAMETER	CONDITIONS	-40°C		25°C		85°C		UNITS
		MIN	MAX	MIN	TYP	MAX	MIN	
I <sub>DD</sub> Quiescent Device Current	V <sub>DD</sub> = 5V		4		0.03	4.0		30 $\mu$ A
	V <sub>DD</sub> = 10V		8		0.05	8.0		60 $\mu$ A
	V <sub>DD</sub> = 15V		16		0.07	16.0		120 $\mu$ A
V <sub>OL</sub> Low Level Output Voltage	V <sub>IH</sub> = V <sub>DD</sub> , V <sub>IL</sub> = 0V,  I <sub>O</sub>   < 1 $\mu$ A							
	V <sub>DD</sub> = 5V		0.05		0	0.05		0.05 V
	V <sub>DD</sub> = 10V		0.05		0	0.05		0.05 V
	V <sub>DD</sub> = 15V		0.05		0	0.05		0.05 V
V <sub>OH</sub> High Level Output Voltage	V <sub>IH</sub> = V <sub>DD</sub> , V <sub>IL</sub> = 0V,  I <sub>O</sub>   < 1 $\mu$ A							
	V <sub>DD</sub> = 5V	4.95		4.95	5		4.95	V
	V <sub>DD</sub> = 10V	9.95		9.95	10		9.95	V
	V <sub>DD</sub> = 15V	14.95		14.95	15		14.95	V
V <sub>IL</sub> Low Level Input Voltage (CD4050BC Only)	I <sub>O</sub>   < 1 $\mu$ A							
	V <sub>DD</sub> = 5V, V <sub>O</sub> = 0.5V		1.5		2.25	1.5		1.5 V
	V <sub>DD</sub> = 10V, V <sub>O</sub> = 1V		3.0		4.5	3.0		3.0 V
V <sub>IL</sub> Low Level Input Voltage (CD4049C Only)	V <sub>DD</sub> = 15V, V <sub>O</sub> = 1.5V		4.0		6.75	4.0		4.0 V
	I <sub>O</sub>   < 1 $\mu$ A							
	V <sub>DD</sub> = 5V, V <sub>O</sub> = 4.5V		1.0		1.5	1.0		1.0 V
V <sub>IH</sub> High Level Input Voltage (CD4050BC Only)	V <sub>DD</sub> = 10V, V <sub>O</sub> = 9V		2.0		2.5	2.0		2.0 V
	V <sub>DD</sub> = 15V, V <sub>O</sub> = 13.5V		3.0		3.5	3.0		3.0 V
	I <sub>O</sub>   < 1 $\mu$ A							
V <sub>IH</sub> High Level Input Voltage (CD4049C Only)	V <sub>DD</sub> = 5V, V <sub>O</sub> = 4.5V	3.5		3.5	2.75		3.5	V
	V <sub>DD</sub> = 10V, V <sub>O</sub> = 9V	7.0		7.0	5.5		7.0	V
	V <sub>DD</sub> = 15V, V <sub>O</sub> = 13.5V	11.0		11.0	8.25		11.0	V
I <sub>OL</sub> Low Level Output Current (Note 3)	I <sub>O</sub>   < 1 $\mu$ A							
	V <sub>IH</sub> = V <sub>DD</sub> , V <sub>IL</sub> = 0V							
	V <sub>DD</sub> = 5V, V <sub>O</sub> = 0.4V	4.6		4.0	3.5		4.0	mA
I <sub>OH</sub> High Level Output Current (Note 3)	V <sub>DD</sub> = 10V, V <sub>O</sub> = 0.5V	9.8		8.5	12		6.8	mA
	V <sub>DD</sub> = 15V, V <sub>O</sub> = 1.5V	29		25	40		20	mA
	I <sub>O</sub>   < 1 $\mu$ A							
I <sub>IN</sub> Input Current	V <sub>IH</sub> = V <sub>DD</sub> , V <sub>IL</sub> = 0V	-1.0		-0.9	-1.6		-0.72	mA
	V <sub>DD</sub> = 5V, V <sub>O</sub> = 4.6V	-2.1		-1.9	-3.6		-1.5	mA
	V <sub>DD</sub> = 10V, V <sub>O</sub> = 9.5V	-7.1		-6.2	-12		-6	mA
	V <sub>DD</sub> = 15V, V <sub>O</sub> = 13.5V	-0.3		-0.3	-10 <sup>-5</sup>		-1.0	$\mu$ A
I <sub>IN</sub> Input Current	V <sub>DD</sub> = 15V, V <sub>O</sub> = 0V	0.3		0.3	10 <sup>-5</sup>		1.0	$\mu$ A
	V <sub>DD</sub> = 15V, V <sub>O</sub> = 15V							

**AC Electrical Characteristics CD4049M/CD4049C**

TA = 25°C, CL = 50 pF, RL = 200k, tr = tf = 20 ns, unless otherwise specified.

PARAMETER	CONDITIONS	MIN	TYP	MAX	UNITS
tPHL Propagation Delay Time High-to-Low Level	VDD = 5V	30	65	ns	
	VDD = 10V	20	40	ns	
	VDD = 15V	15	30	ns	
tPLH Propagation Delay Time Low-to-High Level	VDD = 5V	45	85	ns	
	VDD = 10V	25	45	ns	
	VDD = 15V	20	35	ns	
tTHL Transition Time High-to-Low Level	VDD = 5V	30	60	ns	
	VDD = 10V	20	40	ns	
	VDD = 15V	15	30	ns	
tTLH Transition Time Low-to-High Level	VDD = 5V	60	120	ns	
	VDD = 10V	30	55	ns	
	VDD = 15V	25	45	ns	
CIN Input Capacitance	Any Input	15	22.5	pF	

**AC Electrical Characteristics CD4050BM/CD4050BC**

TA = 25°C, CL = 50 pF, RL = 200k, tr = tf = 20 ns, unless otherwise specified.

PARAMETER	CONDITIONS	MIN	TYP	MAX	UNITS
tPHL Propagation Delay Time High-to-Low Level	VDD = 5V	60	110	ns	
	VDD = 10V	25	55	ns	
	VDD = 15V	20	30	ns	
tPLH Propagation Delay Time Low-to-High Level	VDD = 5V	60	120	ns	
	VDD = 10V	30	55	ns	
	VDD = 15V	25	45	ns	
tTHL Transition Time High-to-Low Level	VDD = 5V	30	60	ns	
	VDD = 10V	20	40	ns	
	VDD = 15V	15	30	ns	
tTLH Transition Time Low-to-High Level	VDD = 5V	60	120	ns	
	VDD = 10V	30	55	ns	
	VDD = 15V	25	45	ns	
CIN Input Capacitance	Any Input	5	7.5	pF	

# XR-555

## Timing Circuit

### GENERAL DESCRIPTION

The XR-555 monolithic timing circuit is a highly stable controller capable of producing accurate timing pulses. It is a direct, pin-for-pin replacement for the SE/NE 555 timer. The circuit contains independent control terminals for triggering or resetting if desired, as shown in the functional block diagram of Figure 1.

In the monostable mode of operation, the time delay is controlled by one external resistor and one capacitor. For astable operation as an oscillator, the free-running frequency and the duty cycle are accurately controlled with two external resistors and one capacitor (as shown in Figure 2).

The XR-555 may be triggered or reset on falling waveforms. Its output can source or sink up to 200 mA or drive TTL circuits.

### FEATURES

- Direct Replacement for SE/NE 555
- Timing from Microseconds Thru Hours
- Operates in Both Monostable and Astable Modes
- High Current Drive Capability (200 mA)
- TTL and DTL Compatible Outputs
- Adjustable Duty Cycle
- Temperature Stability of 0.005%/°C

### ABSOLUTE MAXIMUM RATINGS

Power Supply	18 volts
Power Dissipation (package limitation)	
Ceramic Package	385 mW
Plastic Package	300 mW
Derate above +25°C	2.5 mW/°C
Storage Temperature	-65°C to +125°C

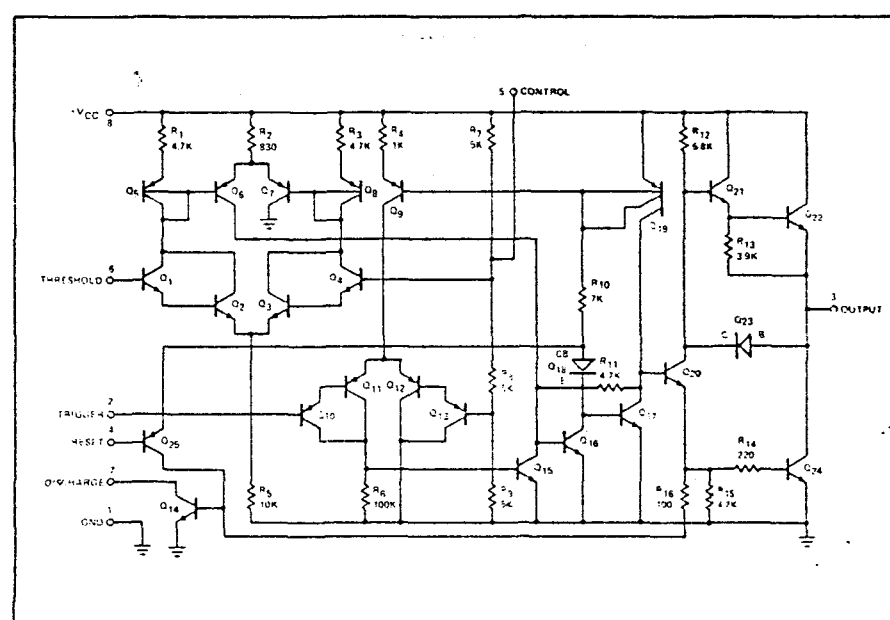
### APPLICATIONS

- Precision Timing
- Pulse Generation
- Sequential Timing
- Pulse Shaping
- Clock Generation
- Missing Pulse Detection
- Pulse-Width Modulation
- Frequency Division
- Pulse-Position Modulation
- Appliance Timing

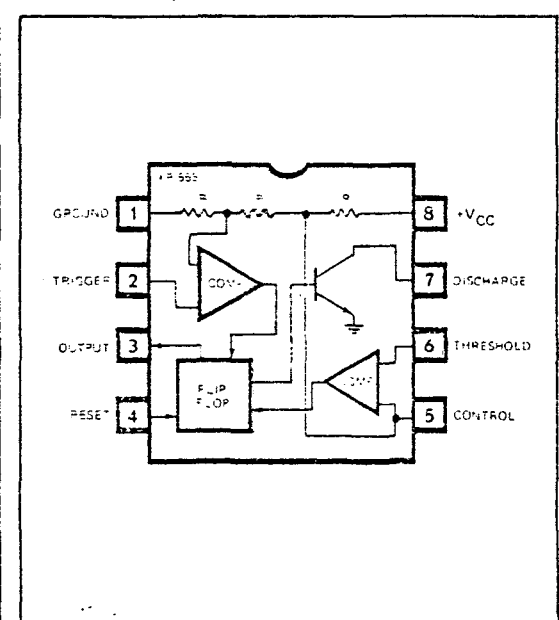
### AVAILABLE TYPES

Part Number	Package	Operating Temperature
XR-555M	Ceramic	-55°C to +125°C
XR-555CM	Ceramic	0°C to +75°C
XR-555CP	Plastic	0°C to +75°C

### EQUIVALENT SCHEMATIC DIAGRAM



### FUNCTIONAL BLOCK DIAGRAM



## ELECTRICAL CHARACTERISTICS

Test Conditions: ( $T_A = 25^\circ C$ ,  $V_{CC} = +5V$  to  $+15V$ , unless otherwise specified.)

PARAMETER	XR-555M			XR-555C			UNITS	CONDITION
	MIN.	TYP.	MAX.	MIN.	TYP.	MAX.		
Supply Voltage	4.5		18	4.5		16	V	
Supply Current		3 10	5 12		3 10	6 15	mA	Low State Output (Note 1) $V_{CC} = 5V$ , $R_L = \infty$ $V_{CC} = 15V$ , $R_L = \infty$
Timing Error (Monostable)								$R_A, R_B = 1 K\Omega$ to $100 K\Omega$
Initial Accuracy	0.5	2.0		1.0	3.0	%	$C = 0.1 \mu F$ $0^\circ C \leq T_A \leq 75^\circ C$	
Drift with Temperature	30	100		50		ppm/ $^\circ C$		
Drift with Supply Voltage	0.05	0.2		0.1	0.5	%/V		
Timing Error (Astable)								$R_A, R_B = 1 K\Omega$ to $100 K\Omega$
Initial Accuracy (Note 2)	1.5			2.25		%	$C = 0.1 \mu F$ $V_{CC} = 15V$	
Drift with Temperature	90			150		ppm/ $^\circ C$		
Drift with Supply Voltage	0.15			0.3		%/V		
Threshold Voltage	9.4 2.7	10.0 3.33	10.6 4.0	8.8 2.4	10.0 3.33	11.2 4.2	V	$V_{CC} = 15V$ $V_{CC} = 5V$
Trigger Voltage	1.45 4.8	1.67 5.0	1.9 5.2		1.67 5.0		V	$V_{CC} = 5V$ $V_{CC} = 15V$
Trigger Current		0.5	0.9		0.5	2.0	$\mu A$	
Reset Voltage	0.4	0.7	1.0	0.4	0.7	1.0	V	Trigger Input High
Reset Current		0.4	1.0		0.4	1.5	mA	
Threshold Current		0.1	0.25		0.1	0.25	$\mu A$	(Note 3)
Control Voltage Level	2.7 9.4	3.33 10.0	4.0 10.6	2.4 8.8	3.33 10.0	4.2 11.2	V	$V_{CC} = 5V$ $V_{CC} = 15V$
Output Voltage Drop (Low)		0.10 0.05 0.1 0.4 2.0 2.5	0.25 0.2 0.15 0.5 2.2		0.3 0.25 0.1 0.4 2.0 2.5	0.35 0.35 0.25 0.75 2.5 2.5	V	$V_{CC} = 5V$ $I_{sink} = 8.0 \text{ mA}$ $I_{sink} = 5.0 \text{ mA}$ $V_{CC} = 15V$ $I_{sink} = 10 \text{ mA}$ $I_{sink} = 50 \text{ mA}$ $I_{sink} = 100 \text{ mA}$ $I_{sink} = 200 \text{ mA}$
Output Voltage Drop (High)		3.0 13	3.3 13.3		2.75 12.75	3.3 13.3	V	$I_{source} = 100 \text{ mA}$ $V_{CC} = 5V$ $V_{CC} = 15V$ $I_{source} = 200 \text{ mA}$ $V_{CC} = 15V$
Turn Off Time (Note 4)		0.5	2.0		0.5		$\mu s$	$V_{RESET}$ High
Rise Time of Output		100	200		100	300	nsec	
Fall Time of Output		100	200		100	300	nsec	
Discharge Transistor Leakage		20	100		20	100	nA	

Note 1: Supply current when output is high is typically 1.0 mA less.

Note 2: Tested at  $V_{CC} = 5V$  and  $V_{CC} = 15V$ .

Note 3: This will determine the maximum value of  $R_A + R_B$  for 15V operation. The maximum total  $R = 20$  megohms and for 5V operation, the maximum  $R_T = 3.4$  megohms.

Note 4: Time measured from a positive-going input pulse from 0 to  $0.8 \times V_{CC}$  into the threshold to the drop from high to low of the output. Trigger is tied to threshold.

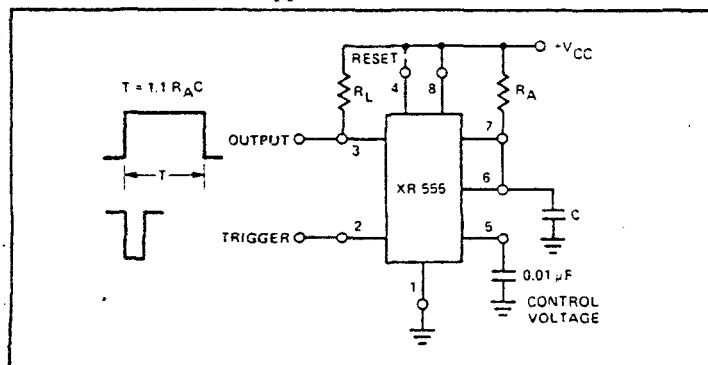


Figure 1. Monostable (One-Shot) Circuit.

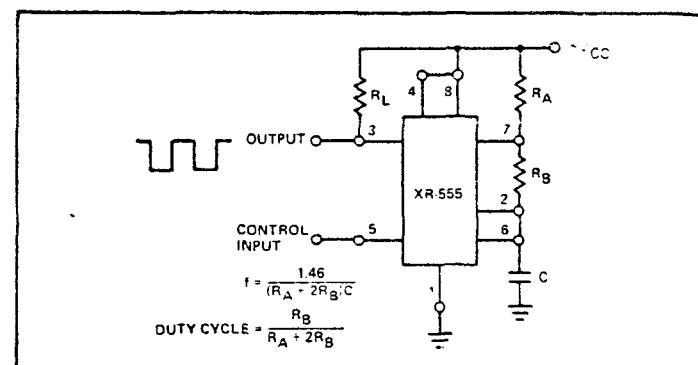


Figure 2. Astable (Free-Running) Circuit.

# $\mu$ A556

## DUAL TIMING CIRCUIT

### FAIRCHILD LINEAR INTEGRATED CIRCUITS

**GENERAL DESCRIPTION** — The  $\mu$ A556 Timing Circuits are very stable controllers for producing accurate time delays or oscillations. In the time delay mode, the delay time is precisely controlled by one external resistor and one capacitor; in the oscillator mode, the frequency and duty cycle are both accurately controlled with two external resistors and one capacitor. By applying a trigger signal, the timing cycle is started and an internal flip-flop is set, immunizing the circuit from any further trigger signals. To interrupt the timing cycle a reset signal is applied, ending the time-out.

The output, which is capable of sinking or sourcing 200 mA, is compatible with TTL circuits and can drive relays or indicator lamps.

The  $\mu$ A556 Dual Timing Circuit is a pair of 555s for use in sequential timing or applications requiring multiple timers.

- MICROSECONDS THROUGH HOURS TIMING CONTROL
- ASTABLE OR MONOSTABLE OPERATING MODES
- ADJUSTABLE DUTY CYCLE
- 200 mA SINK OR SOURCE OUTPUT CURRENT CAPABILITY
- TTL OUTPUT DRIVE CAPABILITY
- TEMPERATURE STABILITY OF 0.005% PER °C
- NORMALLY ON OR NORMALLY OFF OUTPUT

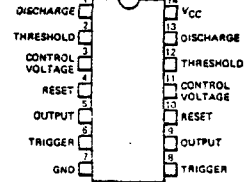
#### ABSOLUTE MAXIMUM RATINGS

Supply Voltage	+18 V
Power Dissipation	600 mW
Operating Temperature Ranges	
$\mu$ A556 DC/PC	0° C to +70° C
$\mu$ A556DM	-55° C to +125° C
Storage Temperature Range	-65° C to +150° C
Pin Temperature (Soldering)	
(10 s) Plastic DIP (9A)	260° C
(60 s) Ceramic DIP (6A)	300° C

#### CONNECTION DIAGRAM

14-PIN DIP  
(TOP VIEW)

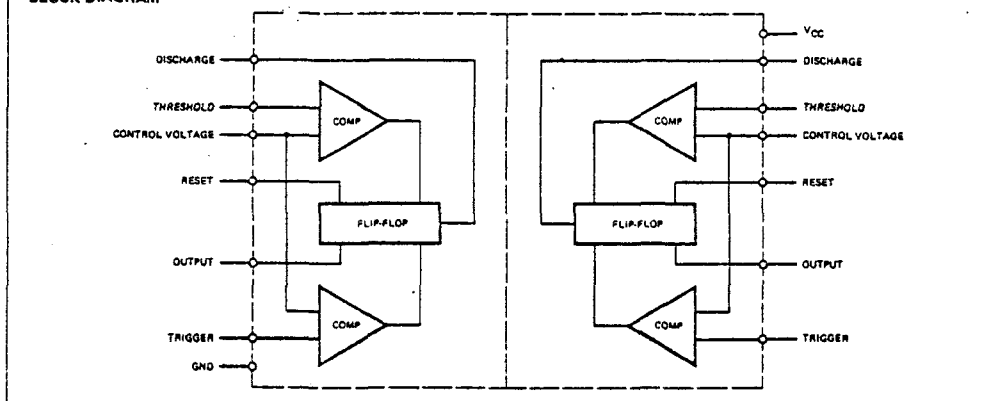
PACKAGE OUTLINES 6A 9A  
PACKAGE CODES D P



#### ORDER INFORMATION

TYPE	PART NO.
$\mu$ A556	$\mu$ A556DC
$\mu$ A556	$\mu$ A556DM
$\mu$ A556	$\mu$ A556PC

#### BLOCK DIAGRAM



## FAIRCHILD • $\mu$ A556

ELECTRICAL CHARACTERISTICS:  $T_A = 25^\circ\text{C}$ ,  $V_{CC} = +5.0\text{ V}$  to  $+15\text{ V}$ , unless otherwise specified

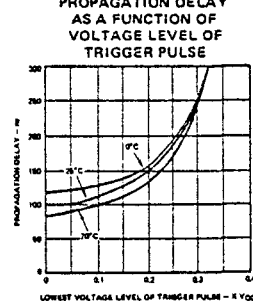
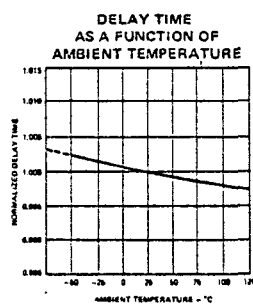
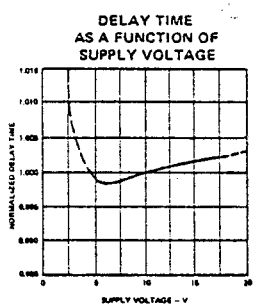
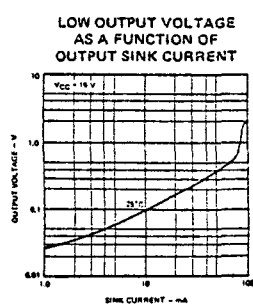
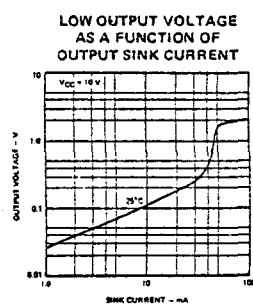
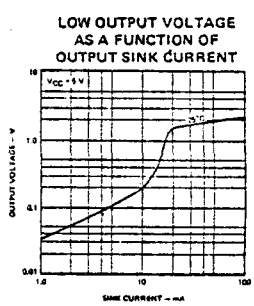
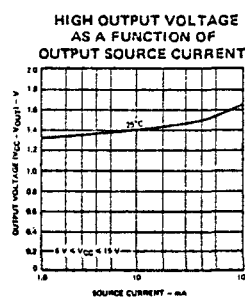
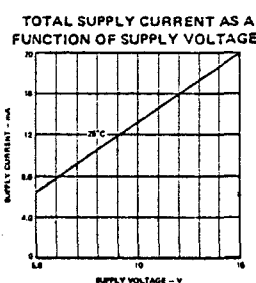
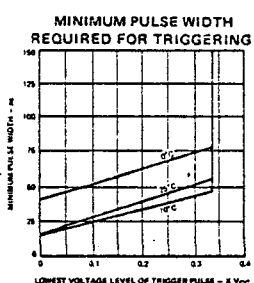
CHARACTERISTICS	TEST CONDITIONS	$\mu$ A556DM			$\mu$ A556DC/PC			UNITS
		MIN	TYP	MAX	MIN	TYP	MAX	
Supply Voltage		4.5		18	4.5		16	V
Supply Current (Total)	$V_{CC} = 5.0\text{ V}$ , $R_L = \infty$ $V_{CC} = 15\text{ V}$ , $R_L = \infty$ LOW State (Note 1)		6.0	10		6.0	12	mA
			20	22		20	28	mA
Timing Error (Monostable)								
Initial Accuracy	$R_A = 2\text{ k}\Omega$ to $100\text{ k}\Omega$		0.5	1.5		0.75		%
Drift with Temperature	$C = 0.1\text{ }\mu\text{F}$ (Note 2)		30	100		50		ppm/ $^\circ\text{C}$
Drift with Supply Voltage			0.05	0.2		0.1		%V
Timing Error (Astable)								
Initial Accuracy	$R_A, R_B = 2\text{ k}\Omega$ to $100\text{ k}\Omega$		1.5			2.25		%
Drift with Temperature	$C = 0.1\text{ }\mu\text{F}$ (Note 2)		90			150		ppm/ $^\circ\text{C}$
Drift with Supply Voltage			0.15			0.3		%V
Threshold Voltage			2/3			2/3		$\times V_{CC}$
Threshold Current	Note 3		30	100		30	100	nA
Trigger Voltage	$V_{CC} = 15\text{ V}$	4.8	5.0	5.2		5.0		V
	$V_{CC} = 5.0\text{ V}$	1.45	1.67	1.9		1.67		V
Trigger Current			0.5			0.5		$\mu\text{A}$
Reset Voltage		0.4	0.7	1.0	0.4	0.7	1.0	V
Reset Current			0.1			0.1		mA
Control Voltage Level	$V_{CC} = 15\text{ V}$	9.6	10	10.4	9.0	10	11	V
	$V_{CC} = 5.0\text{ V}$	2.9	3.33	3.8	2.6	3.33	4.0	V
Output Voltage (LOW)	$V_{CC} = 15\text{ V}$							
	$I_{SINK} = 10\text{ mA}$		0.1	0.15		0.1	0.25	V
	$I_{SINK} = 50\text{ mA}$		0.4	0.5		0.4	0.75	V
	$I_{SINK} = 100\text{ mA}$		2.0	2.25		2.0	2.75	V
	$I_{SINK} = 200\text{ mA}$		2.5			2.5		V
	$V_{CC} = 5.0\text{ V}$							
	$I_{SINK} = 8.0\text{ mA}$		0.1	0.25				V
	$I_{SINK} = 5.0\text{ mA}$					0.25	0.35	V
Output Voltage (HIGH)	$I_{SOURCE} = 200\text{ mA}$							
	$V_{CC} = 15\text{ V}$		12.5			12.5		V
	$I_{SOURCE} = 100\text{ mA}$							
	$V_{CC} = 15\text{ V}$	13.0	13.3		12.75	13.3		V
	$V_{CC} = 5.0\text{ V}$	3.0	3.3		2.75	3.3		V
Rise Time of Output			100			100		ns
Fall Time of Output			100			100		ns
Discharge Leakage Current			20	100		20	100	nA
Matching Characteristics (Note 4)								
Initial Timing Accuracy			0.05	0.1		0.1	0.2	%
Timing Drift with Temperature			$\pm 10$			$\pm 10$		ppm/ $^\circ\text{C}$
Drift with Supply Voltage			0.1	0.2		0.2	0.5	%V

NOTES:

- Supply current when output is HIGH is typically 1.0 mA less.
- Tested at  $V_{CC} = 5\text{ V}$  and  $V_{CC} = 15\text{ V}$ .
- This will determine the maximum value of  $R_A + R_B$  for 15 V operation. The maximum total  $R = 20\text{ M}\Omega$ .
- Matching characteristics refer to the difference between performance characteristics of each timer section.

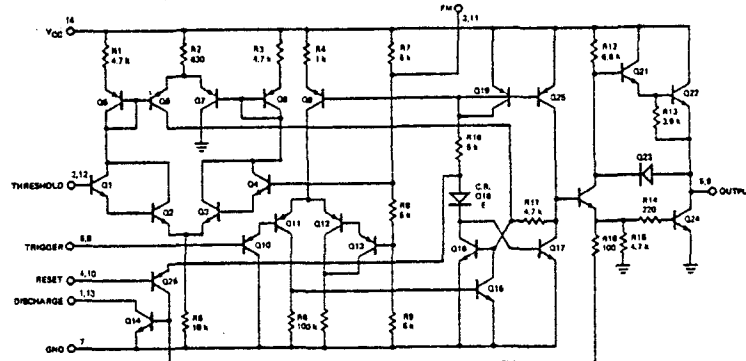
FAIRCHILD •  $\mu$ A556

TYPICAL PERFORMANCE CURVES



## FAIRCHILD • $\mu$ A556

### EQUIVALENT CIRCUIT (One Half of $\mu$ A556)



### TYPICAL APPLICATIONS

#### MONOSTABLE OPERATION

In the monostable mode, the timer functions as a one-shot. Referring to Figure 1 the external capacitor is initially held discharged by a transistor inside the timer.

When a negative trigger pulse is applied to lead 6, the flip-flop is set, releasing the short circuit across the external capacitor and drives the output HIGH. The voltage across the capacitor increases exponentially with the time constant  $\tau = R1C1$ . When the voltage across the capacitor equals  $2/3 V_{CC}$ , the comparator resets the flip-flop which then discharges the capacitor rapidly and drives the output to its LOW state. Figure 2 shows the actual waveforms generated in this mode of operation.

The circuit triggers on a negative-going input signal when the level reaches  $1/3 V_{CC}$ . Once triggered, the circuit remains in this state

until the set time has elapsed, even if it is triggered again during this interval. The duration of the output HIGH state is given by  $t = 1.1 R1C1$  and is easily determined by Figure 3. Notice that since the charge rate and the threshold level of the comparator are both directly proportional to supply voltage, the timing interval is independent of supply. Applying a negative pulse simultaneously to the Reset terminal (lead 4) and the Trigger terminal (lead 6) during the timing cycle discharges the external capacitor and causes the cycle to start over. The timing cycle now starts on the positive edge of the reset pulse. During the time the reset pulse is applied, the output is driven to its LOW state.

When Reset is not used, it should be tied high to avoid any possibility of false triggering.

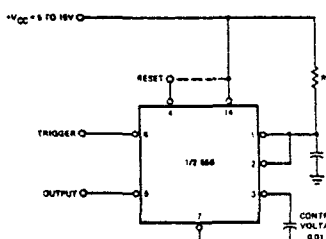
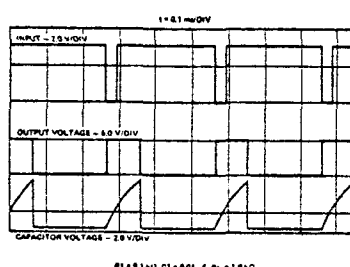
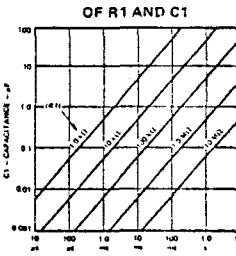


Fig. 1



TIME DELAY AS A FUNCTION OF R1 AND C1



### ORDERING INFORMATION

Device	Temperature Range	Package
MC1495L	0°C to +70°C	Ceramic DIP
MC1595L	-55°C to +125°C	Ceramic DIP

**MC1495L  
MC1595L**

### Specifications and Applications Information

#### WIDEBAND MONOLITHIC FOUR-QUADRANT MULTIPLIER

... designed for uses where the output is a linear product of two input voltages. Maximum versatility is assured by allowing the user to select the level shift method. Typical applications include: multiply, divide\*, square root\*, mean square\*, phase detector, frequency doubler, balanced modulator/demodulator, electronic gain control.

\*When used with an operational amplifier.

- Wide Bandwidth
- Excellent Linearity - 1% max Error on X-Input, 2% max Error on Y-Input - MC1595L
- Excellent Linearity - 2% max Error on X-Input, 4% max Error on Y-Input - MC1495L
- Adjustable Scale Factor, K
- Excellent Temperature Stability
- Wide Input Voltage Range -  $\pm 10$  Volts
- $\pm 15$  Volt Operation

#### LINEAR FOUR-QUADRANT MULTIPLIER INTEGRATED CIRCUIT

MONOLITHIC SILICON EPITAXIAL PASSIVATED



CERAMIC PACKAGE  
CASE 632  
TO-116

FIGURE 1 - FOUR-QUADRANT MULTIPLIER TRANSFER CHARACTERISTIC

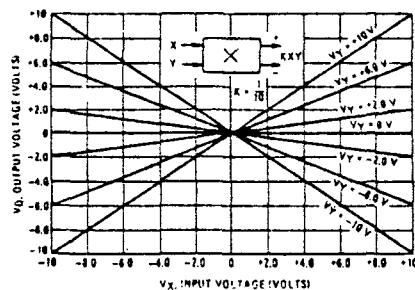


FIGURE 2 - TRANSCONDUCTANCE BANDWIDTH

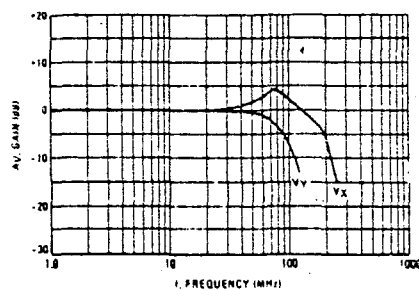
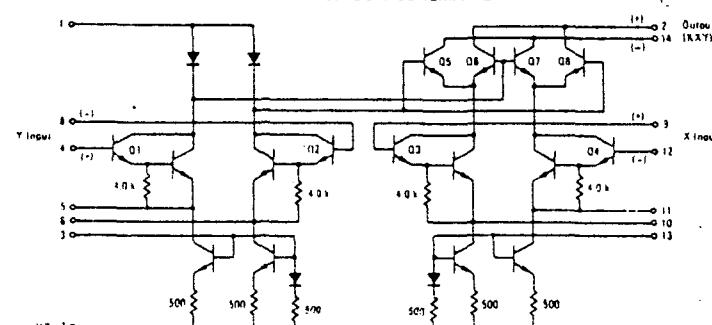


FIGURE 3 - CIRCUIT SCHEMATIC



**ELECTRICAL CHARACTERISTICS** ( $V^+ = +32V$ ,  $V^- = -15 V$ ,  $T_A = +25^\circ C$ ,  $I_3 = I_{13} = 1 \text{ mA}$ ,  $R_X = R_Y = 15 k\Omega$ ,  $R_L = 11 k\Omega$  unless otherwise noted)

Characteristic	Figure	Symbol	Min	Typ	Max	Unit
Linearity: Output Error in Percent of Full Scale: $T_A = +25^\circ C$ $-10 < V_X < +10$ ( $V_Y = \pm 10 V$ ) $-10 < V_Y < +10$ ( $V_X = \pm 10 V$ ) $T_A = 0$ to $+70^\circ C$ $-10 < V_X < +10$ ( $V_Y = \pm 10 V$ ) $-10 < V_Y < +10$ ( $V_X = \pm 10 V$ ) $T_A = -55^\circ C$ to $+125^\circ C$ $-10 < V_X < +10$ ( $V_Y = \pm 10 V$ ) $-10 < V_Y < +10$ ( $V_X = \pm 10 V$ )	5	$E_{RX}$ $E_{RY}$ $E_{RX}$ $E_{RY}$	— — — —	$\pm 1.0$ $\pm 0.5$ $\pm 2.0$ $\pm 1.0$ $\pm 1.5$ $\pm 3.0$ $\pm 0.75$ $\pm 1.50$	$\pm 2.0$ $\pm 1.0$ $\pm 4.0$ $\pm 2.0$ — — — —	%
Squaring Mode Error: Accuracy in Percent of Full Scale After Offset and Scale Factor Adjustment $T_A = +25^\circ C$ $T_A = 0$ to $+70^\circ C$ $T_A = -55^\circ C$ to $+125^\circ C$	5	$E_{SQ}$	— — — —	$\pm 0.75$ $\pm 0.5$ $\pm 1.0$ $\pm 0.75$	— — — —	%
Scale Factor (Adjustable) $K = \frac{2R_L}{I_3 R_X R_Y}$	—	$K$	—	0.1	—	—
Input Resistance ( $f = 20 \text{ Hz}$ )	7	$R_{INX}$ $R_{INY}$	— — — —	20 35 20 35	— — — —	MegOhms
Differential Output Resistance ( $f = 20 \text{ Hz}$ )	8	$R_o$	—	300	—	k Ohms
Input Bias Current $I_{bx} = \frac{(I_9 + I_{12})}{2}$ , $I_{by} = \frac{(I_4 + I_8)}{2}$	6	$I_{bx}$ $I_{by}$	— — — —	2.0 2.0 2.0 2.0	12 8.0 12 8.0	$\mu A$
Input Offset Current $ I_9 - I_{12} $	6	$ I_{iox} $	—	0.4	2.0	$\mu A$
$ I_4 - I_8 $	6	$ I_{ioy} $	—	0.2	1.0	$\mu A$
Average Temperature Coefficient of Input Offset Current ( $T_A = 0$ to $+70^\circ C$ ) ( $T_A = -55^\circ C$ to $+125^\circ C$ )	6	$ TC_{io} $	— —	2.0 2.0	— —	$nA/\text{ }^\circ C$
Output Offset Current $ I_{14} - I_2 $	6	$ I_{o0} $	— —	20 10	100 50	$\mu A$
Average Temperature Coefficient of Output Offset Current ( $T_A = 0$ to $+70^\circ C$ ) ( $T_A = -55^\circ C$ to $+125^\circ C$ )	6	$ TC_{lo0} $	— —	1.0 1.0	— —	$nA/\text{ }^\circ C$
Frequency Response 3.0 dB Bandwidth, $R_L = 11 k\Omega$ 3.0 dB Bandwidth, $R_L = 50 \Omega$ (Transconductance Bandwidth) 30° Relative Phase Shift Between $V_X$ and $V_Y$ 1% Absolute Error Due to Input-Output Phase Shift	9,10	$BW_{3dB}$ $TBW_{3dB}$ $f_\phi$ $f_\theta$	— — — —	3.0 80 750 30	— — — —	MHz MHz kHz kHz
Common Mode Input Swing (Either Input)	11	CMV	$\pm 10.5$ $\pm 11.5$	$\pm 12$ $\pm 13$	— —	Vdc
Common Mode Gain (Either Input)	11	$A_{CM}$	-40 -50	-50 -60	— —	dB
Common Mode Quiescent Output Voltage	12	$V_{o1}$ $V_{o2}$	— —	21 21	— —	Vdc
Differential Output Voltage Swing Capability	9	$V_o$	—	$\pm 14$	—	Vpeak
Power Supply Sensitivity	12	$S^+$ $S^-$	— —	5.0 10	— —	mV/V
Power Supply Current	12	$I_p$	—	6.0	7.0	mA
DC Power Dissipation	12	$P_D$	—	135	170	mW

## TYPICAL CHARACTERISTICS

FIGURE 15 - LINEARITY versus TEMPERATURE

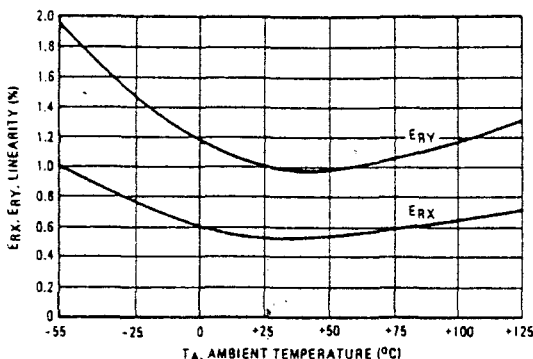


FIGURE 16 - SCALE FACTOR versus TEMPERATURE

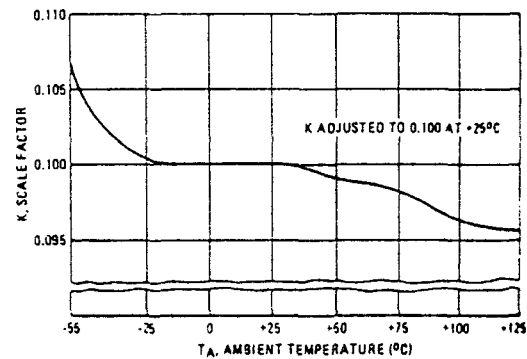


FIGURE 17 - ERROR CONTRIBUTED BY INPUT DIFFERENTIAL AMPLIFIER

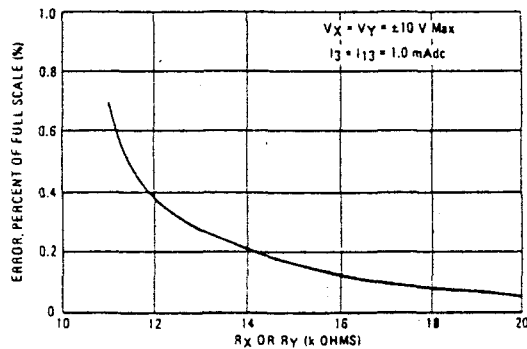


FIGURE 18 - ERROR CONTRIBUTED BY INPUT DIFFERENTIAL AMPLIFIER

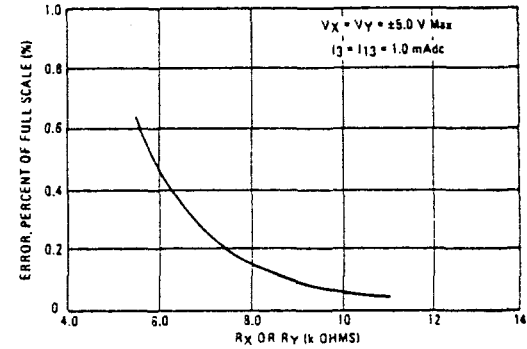
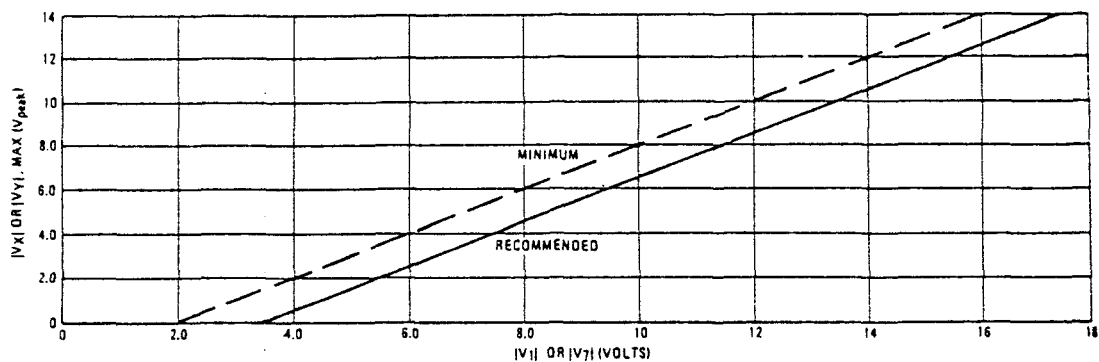


FIGURE 19 - MAXIMUM ALLOWABLE INPUT VOLTAGE versus VOLTAGE AT PIN 1 OR PIN 7

MAXIMUM RATINGS ( $T_A = +25^\circ\text{C}$  unless otherwise noted)

Rating	Symbol	Value	Unit
Applied Voltage ( $V_2-V_1, V_{14}-V_1, V_1-V_9, V_1-V_{12}, V_1-V_4, V_1-V_8, V_{12}-V_7, V_9-V_7, V_8-V_7, V_4-V_7$ )	$\Delta V$	30	Vdc
Differential Input Signal $V_{12}-V_9$ $V_4-V_8$	$V_{12}-V_9$ $V_4-V_8$	$\pm(8+I_{13}R_X)$ $\pm(6+I_{13}R_Y)$	Vdc Vdc
Maximum Bias Current $I_3$ $I_{13}$	$I_3$ $I_{13}$	10 10	mA
Power Dissipation (Package Limitation) Ceramic Package Derate above $T_A = +25^\circ\text{C}$	$P_D$	750 5.0	mW mW/ $^\circ\text{C}$
Operating Temperature Range MC1495 MC1595	$T_A$	0 to +70 -55 to +125	$^\circ\text{C}$ $^\circ\text{C}$
Storage Temperature Range	$T_{stg}$	-65 to +150	$^\circ\text{C}$



**National  
Semiconductor**

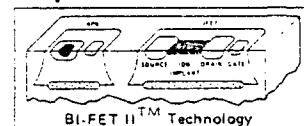
## LF351 Wide Bandwidth JFET Input Operational Amplifier

### General Description

The LF351 is a low cost high speed JFET input operational amplifier with an internally trimmed input offset voltage (BI-FET II™ technology). The device requires a low supply current and yet maintains a large gain bandwidth product and a fast slew rate. In addition, well matched high voltage JFET input devices provide very low input bias and offset currents. The LF351 is pin compatible with the standard LM741 and uses the same offset voltage adjustment circuitry. This feature allows designers to immediately upgrade the overall performance of existing LM741 designs.

The LF351 may be used in applications such as high speed integrators, fast D/A converters, sample-and-hold circuits and many other circuits requiring low input offset voltage, low input bias current, high input impedance, high slew rate and wide bandwidth. The device has low noise and offset voltage drift, but for applica-

### Operational Amplifiers/Buffers

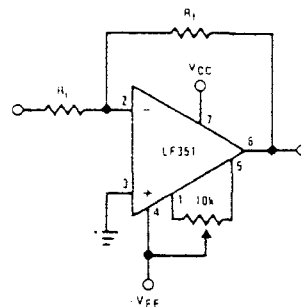


tions where these requirements are critical, the LF356 is recommended. If maximum supply current is important, however, the LF351 is the better choice.

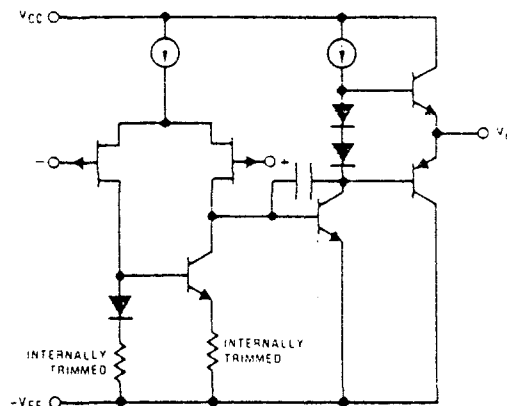
### Features

- Internally trimmed offset voltage 10 mV
- Low input bias current 50 pA
- Low input noise voltage 16 nV/√Hz
- Low input noise current 0.01 pA/√Hz
- Wide gain bandwidth 4 MHz
- High slew rate 13 V/us
- Low supply current 1.8 mA
- High input impedance 10<sup>12</sup>Ω
- Low total harmonic distortion  $A_V = 10$ ,  $R_L = 10k$ ,  $V_O = 20V_{p-p}$ ,  $BW = 20\text{ Hz}-20\text{ kHz}$  < 0.02%
- Low 1/f noise corner 50 Hz
- Fast settling time to 0.01% 2 μs

### Typical Connection

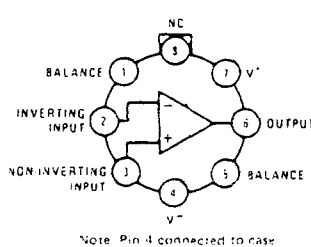


### Simplified Schematic



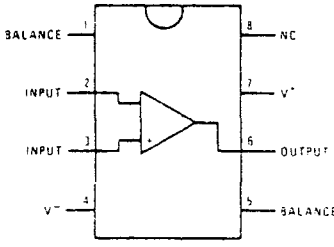
### Connection Diagrams (Top Views)

#### Metal Can Package



Order Number LF351H  
See NS Package H08C

#### Dual-In-Line Package



Order Number LF351N  
See NS Package N08A

LF351

### Absolute Maximum Ratings

Supply Voltage	$\pm 18V$
Power Dissipation (Note 1)	500 mW
Operating Temperature Range	0°C to +70°C
$T_j$ (MAX)	115°C
Differential Input Voltage	$\pm 30V$
Input Voltage Range (Note 2)	$\pm 15V$
Output Short Circuit Duration	Continuous
Storage Temperature Range	-65°C to +150°C
Lead Temperature (Soldering, 10 seconds)	300°C

### DC Electrical Characteristics (Note 3)

SYMBOL	PARAMETER	CONDITIONS	LF351			UNITS
			MIN	TYP	MAX	
$V_{OS}$	Input Offset Voltage	$R_S = 10k\Omega$ , $T_A = 25^\circ C$ Over Temperature		5	10	mV
$\Delta V_{OS}/\Delta T$	Average TC of Input Offset Voltage	$R_S = 10k\Omega$		10	13	$\mu V/^\circ C$
$I_{OS}$	Input Offset Current	$T_j = 25^\circ C$ , (Notes 3, 4) $T_j \leq 70^\circ C$		25	100	pA
$I_B$	Input Bias Current	$T_j = 25^\circ C$ , (Notes 3, 4) $T_j \leq 70^\circ C$		50	200	nA
$R_{IN}$	Input Resistance	$T_j = 25^\circ C$		10 <sup>12</sup>		$\Omega$
$AVOL$	Large Signal Voltage Gain	$V_S = \pm 15V$ , $T_A = 25^\circ C$ $V_O = \pm 10V$ , $R_L = 2k\Omega$ Over Temperature	25	100		V/mV
$V_O$	Output Voltage Swing	$V_S = \pm 15V$ , $R_L = 10k\Omega$	$\pm 12$	$\pm 13.5$		V
$V_{CM}$	Input Common-Mode Voltage Range	$V_S = \pm 15V$	$\pm 11$	+15 -12		V
CMRR	Common-Mode Rejection Ratio	$R_S < 10k\Omega$	70	100		dB
PSRR	Supply Voltage Rejection Ratio	(Note 5)	70	100		dB
$I_S$	Supply Current			1.8	3.4	mA

### AC Electrical Characteristics (Note 3)

SYMBOL	PARAMETER	CONDITIONS	LF351			UNITS
			MIN	TYP	MAX	
SR	Slew Rate	$V_S = \pm 15V$ , $T_A = 25^\circ C$		13		V/ $\mu$ s
GBW	Gain Bandwidth Product	$V_S = \pm 15V$ , $T_A = 25^\circ C$		4		MHz
$e_n$	Equivalent Input Noise Voltage	$T_A = 25^\circ C$ , $R_S = 100\Omega$ , $f = 1000Hz$		16		$nV/\sqrt{Hz}$
$i_n$	Equivalent Input Noise Current	$T_j = 25^\circ C$ , $f = 1000Hz$		0.01		$pA/\sqrt{Hz}$

Note 1: For operating at elevated temperature, the device must be derated based on a thermal resistance of 150°C/W junction to ambient or 45°C/W junction to case.

Note 2: Unless otherwise specified the absolute maximum negative input voltage is equal to the negative power supply voltage.

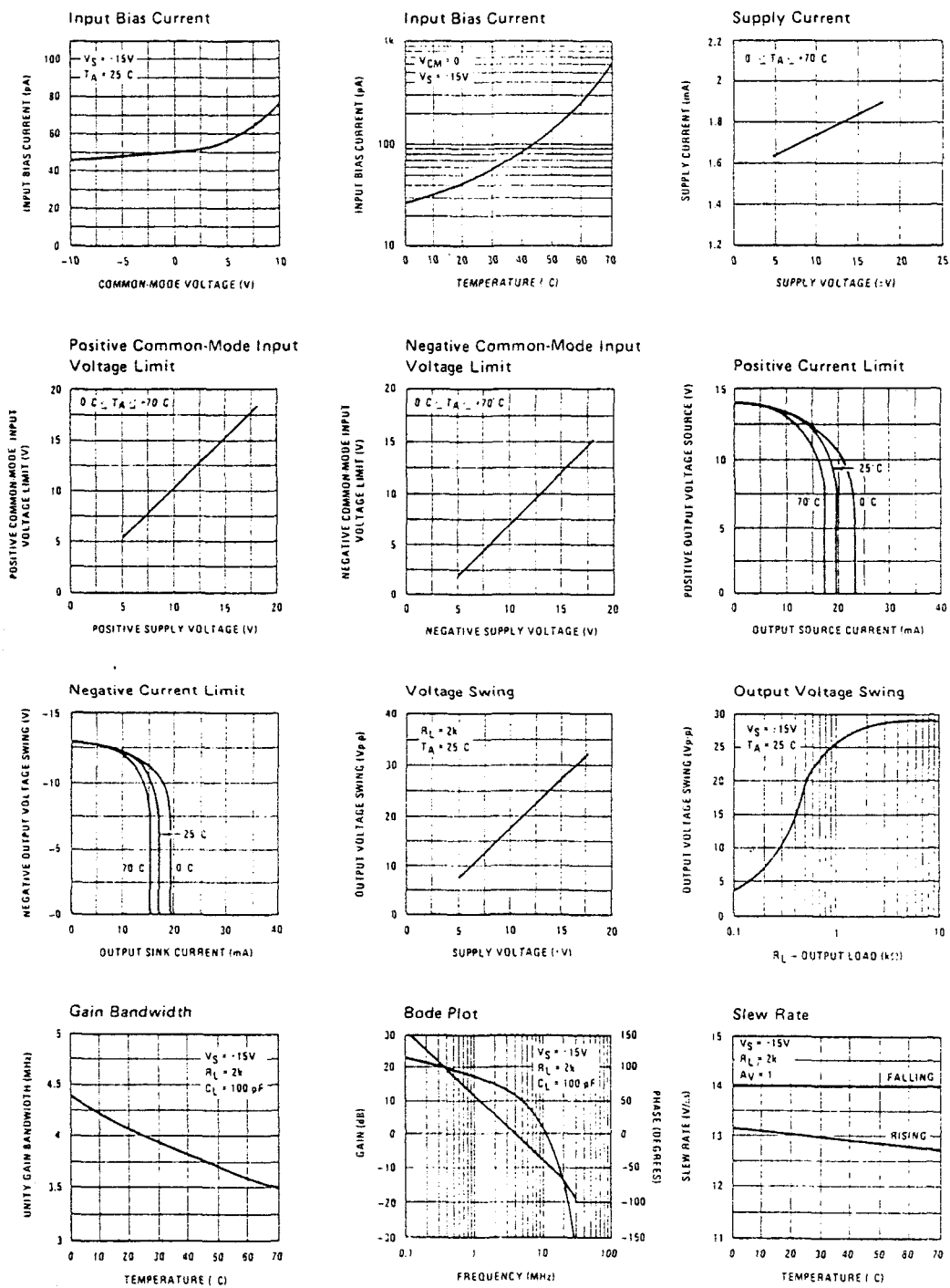
Note 3: These specifications apply for  $V_S = \pm 15V$  and  $0^\circ C < T_A < +70^\circ C$ .  $V_{GS}$ ,  $I_B$  and  $I_{OS}$  are measured at  $V_{CM} = 0$ .

Note 4: The input bias currents are junction leakage currents which approximately double for every 10°C increase in the junction temperature,  $T_j$ . Due to the limited production test time, the input bias currents measured are correlated to junction temperature. In normal operation the junction temperature rises above the ambient temperature as a result of internal power dissipation,  $P_D$ .  $T_j = T_A + \theta_{JA} P_D$  where  $\theta_{JA}$  is the thermal resistance from junction to ambient. Use of a heat sink is recommended if input bias current is to be kept to a minimum.

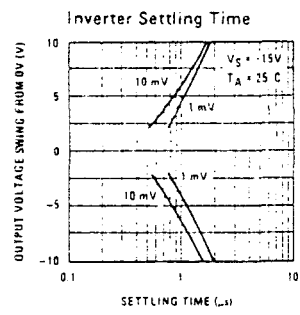
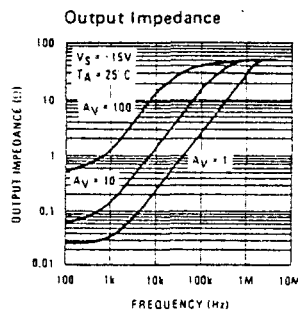
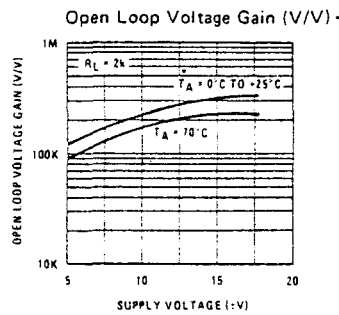
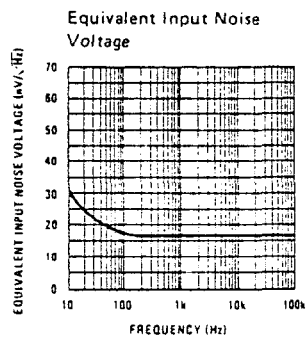
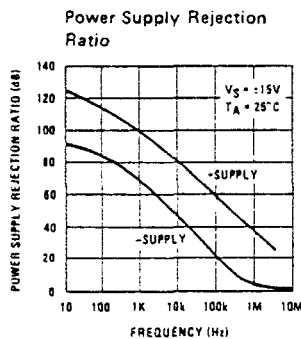
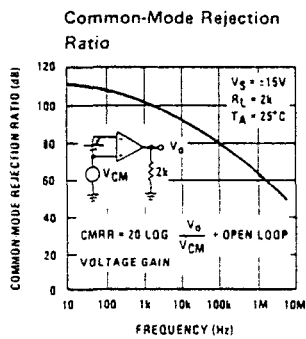
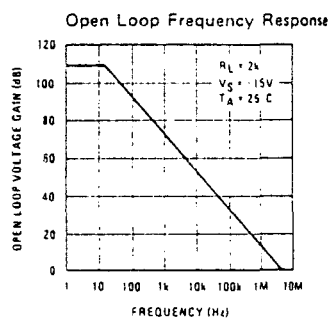
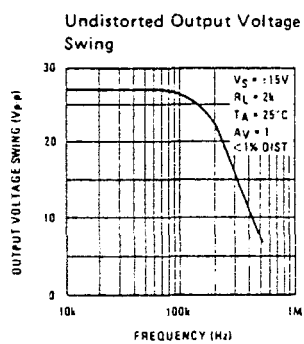
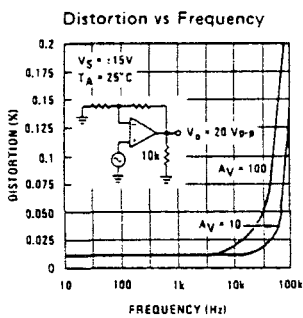
Note 5: Supply voltage rejection ratio is measured for both supply magnitudes increasing or decreasing simultaneously in accordance with common practice.

**LF351**

## Typical Performance Characteristics

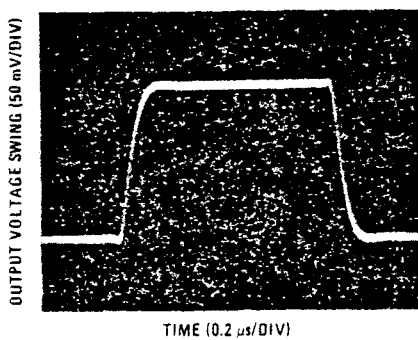


## Typical Performance Characteristics (Continued)

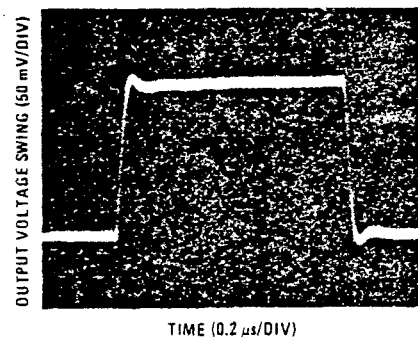


## Pulse Response

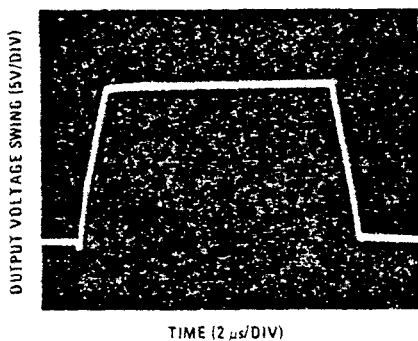
Small Signal Inverting



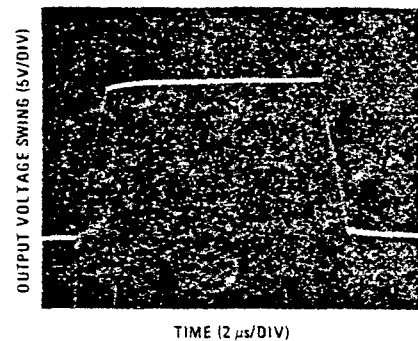
Small Signal Non-Inverting



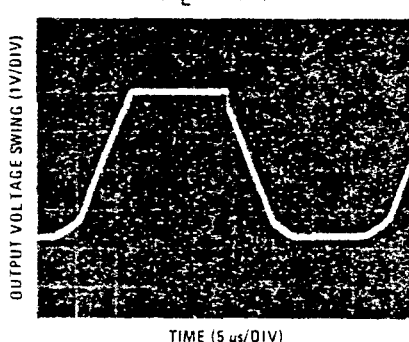
Large Signal Inverting



Large Signal Non-Inverting



Current Limit ( $R_L = 100\Omega$ )



## Application Hints

The LF351 is an op amp with an internally trimmed input offset voltage and JFET input devices (BI-FET II™). These JFETs have large reverse breakdown voltages from gate to source and drain eliminating the need for clamps across the inputs. Therefore, large differential input voltages can easily be accommodated without a large increase in input current. The maximum differential input voltage is independent of the supply voltages. However, neither of the input voltages should be

allowed to exceed the negative supply as this will cause large currents to flow which can result in a destroyed unit.

Exceeding the negative common-mode limit on either input will cause a reversal of the phase to the output and force the amplifier output to the corresponding high or low state. Exceeding the negative common-mode limit on both inputs will force the amplifier output to a

## Application Hints (Continued)

high state. In neither case does a latch occur since raising the input back within the common-mode range again puts the input stage and thus the amplifier in a normal operating mode.

Exceeding the positive common-mode limit on a single input will not change the phase of the output; however, if both inputs exceed the limit, the output of the amplifier will be forced to a high state.

The amplifier will operate with a common-mode input voltage equal to the positive supply; however, the gain bandwidth and slew rate may be decreased in this condition. When the negative common-mode voltage swings to within 3V of the negative supply, an increase in input offset voltage may occur.

The LF351 is biased by a zener reference which allows normal circuit operation on  $\pm 4V$  power supplies. Supply voltages less than these may result in lower gain bandwidth and slew rate.

The LF351 will drive a  $2\text{ k}\Omega$  load resistance to  $\pm 10V$  over the full temperature range of  $0^\circ\text{C}$  to  $+70^\circ\text{C}$ . If the amplifier is forced to drive heavier load currents, however, an increase in input offset voltage may occur on the negative voltage swing and finally reach an active current limit on both positive and negative swings.

Precautions should be taken to ensure that the power supply for the integrated circuit never becomes reversed in polarity or that the unit is not inadvertently installed

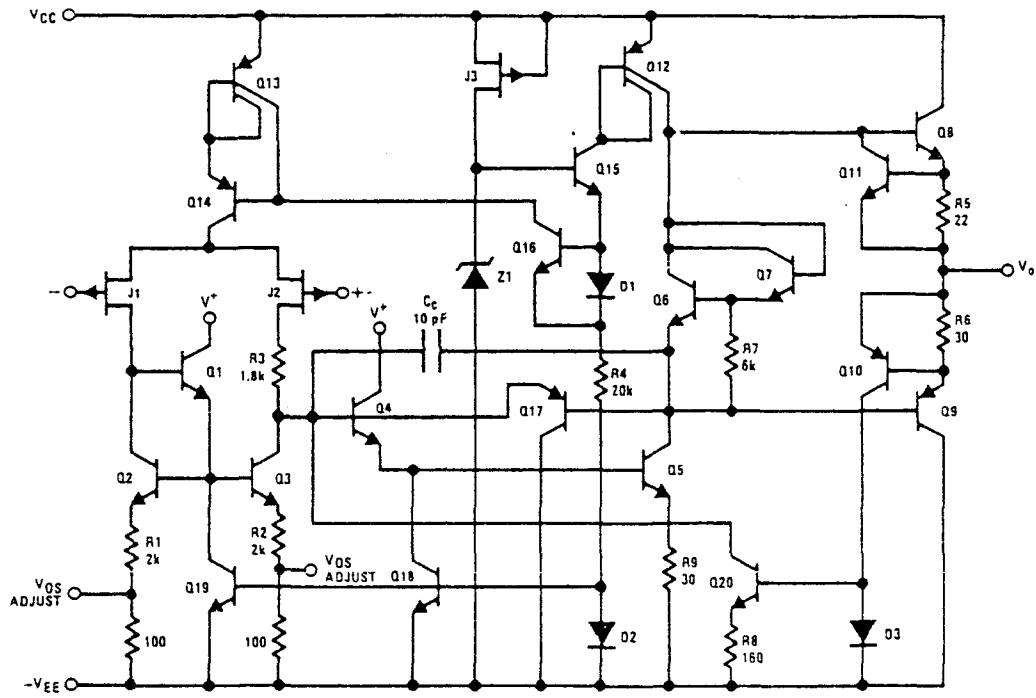
backwards in a socket as an unlimited current surge through the resulting forward diode within the IC could cause fusing of the internal conductors and result in a destroyed unit.

Because these amplifiers are JFET rather than MOSFET input op amps they do not require special handling.

As with most amplifiers, care should be taken with lead dress, component placement and supply decoupling in order to ensure stability. For example, resistors from the output to an input should be placed with the body close to the input to minimize "pick-up" and maximize the frequency of the feedback pole by minimizing the capacitance from the input to ground.

A feedback pole is created when the feedback around any amplifier is resistive. The parallel resistance and capacitance from the input of the device (usually the inverting input) to AC ground set the frequency of the pole. In many instances the frequency of this pole is much greater than the expected 3 dB frequency of the closed loop gain and consequently there is negligible effect on stability margin. However, if the feedback pole is less than approximately 6 times the expected 3 dB frequency a lead capacitor should be placed from the output to the input of the op amp. The value of the added capacitor should be such that the RC time constant of this capacitor and the resistance it parallels is greater than or equal to the original feedback pole time constant.

## Detailed Schematic



#### \* 4. MODULACIONES DIGITALES :

Hasta ahora, hemos visto las modulaciones con señales continuas, que poseen un numero infinito de formas de onda. En cambio en este caso queremos modular una señal con un numero finito de formas de onda o mensajes. Esta es la diferencia fundamental entre los sistemas de comunicacion de datos digitales y los de datos continuos (o datos analogicos).

El sistema PCM (modulacion por impulsos codificados), es un sistema de datos digitales que se emplea para transmitir datos continuos. Esta transmision es posible gracias a un proceso de cuantificacion que consiste en hacer una aproximacion de las señales continuas para que puedan tomar tan solo ciertas amplitudes discretas. Esencialmente esto es la digitalizacion de la señal continua. Los mensajes se pueden transmitir mediante un numero finito de simbolos ( o niveles ).

En este estudio no vamos a entrar con detalle, en la modulacion PCM, y solo nos vamos a limitar a tomar una señal digital ( binaria ), donde tenemos dos niveles ( alto y bajo ), y la modularemos en los tres siguientes sistemas:

- ASK ( amplitud shift keying ) Modulacion Binaria en Amplitud.

- PSK ( phase shift keying ) Modulacion Binaria en Fase.
- FSK ( frequency shift keying ) Modulacion Binaria en Frecuencia.

#### 4.1 MODULACION BINARIA EN AMPLITUD [ ASK ]:

Consiste basicamente en modular en amplitud un sistema PCM binario.

La modulacion en amplitud traslada el espectro de baja frecuencia del PCM binario a una frecuencia superior ( a la frecuencia de portadora ).

Uno de los simbolos binarios se transmite mediante un pulso sinusoidal  $S(t)$  dado por:

$$S(t) = A \sin(\omega_c t) \quad \text{para } 0 < t < T$$

$$S(t) = 0 . \quad \text{en cualquier otro punto.}$$

El otro simbolo se transmite mediante un espacio, (ausencia de señal). Una forma de onda ASK tipica se muestra en la figura (4.1).

La modulacion ASK tiene la ventaja de que la señal moduladora es muy facil de detectar, (con un detector de envolvente). Pero tambien tiene la desventaja de que transmite corriente continua y de que la probabilidad de error por bit es grande.

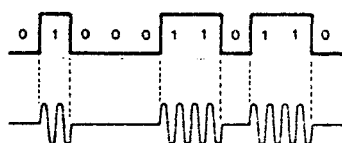
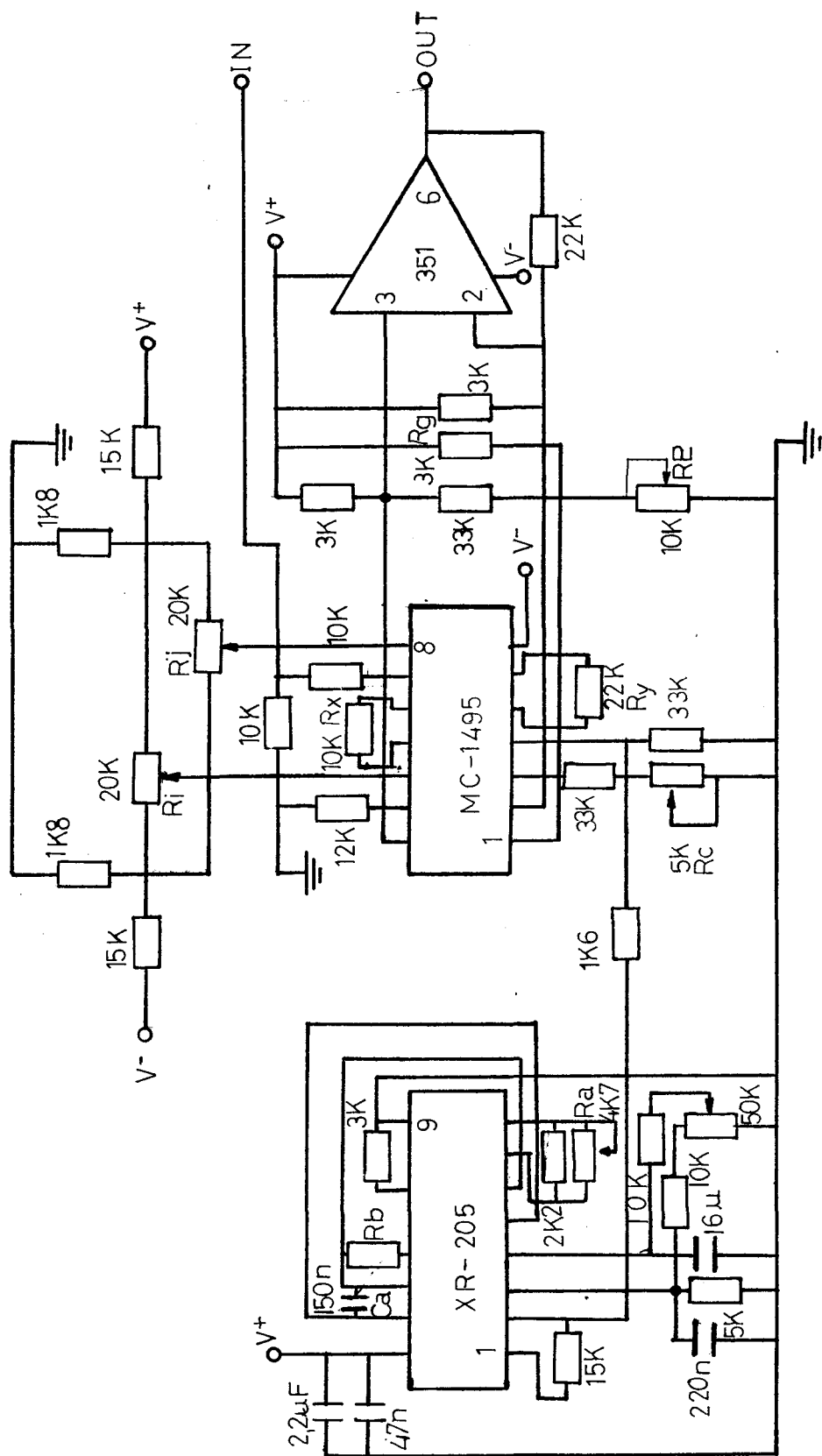


Figura (4.1)

#### 4.1.1 CIRCUITO PROGRESO : ASK



#### 4.1.2 DESARROLLO PRACTICO :

La modulacion ASK la vamos a lograr mediante el conjunto formado por un generador de onda sinusoidal y un multiplicador analogico.

El XR-205 nos servira para conseguir el generador de onda sinusoidal, el cual queremos que oscile aproximadamente a 2200 Hz. La frecuencia de oscilacion es inversamente proporcional al valor del capacitor Ca, conectado entre las patillas 14 y 15. Con el circuito de barrido abierto, la frecuencia fo puede ser aproximada a:

$$f_0 = 400 / C_a$$

donde fo esta en Hz y Ca en uF.

Luego como queremos que oscile a 2200 Hz:

$$C_a = 400 / f_0 = 400 / 2200 \approx 180 \text{ nF}.$$

Para ajustar la forma de onda de este generador hemos puesto entre las patillas 7 y 8 el potenciómetro Ra, que minimiza el contenido de armonicos de la señal de salida. El ciclo de trabajo tambien puede ser ajustado mediante la resistencia Rb, entre las patillas 13 y 14. La maxima amplitud de salida es de 3 Vpp.

Con el circuito integrado MC-1495 y con un amplificador operacional (el LF-351), formamos el conjunto multiplicador analogico.

El MC-1495 es un multiplicador de cuatro cuadrantes,

el cual se hace funcionar por el principio de las transconductancias.

El ancho de banda se determina principalmente por las resistencias de carga, las capacidades de salida del multiplicador y el amplificador operacional utilizado para cambiar el nivel de offset a la salida.

Si se desea un gran ancho de banda debemos poner una resistencia de carga de bajo valor y un amplificador operacional de gran ancho de banda.

Los máximos voltajes de entrada deben ser tales que:

$$U_x \text{ (max)} < I_3 \cdot R_y = 1 \text{ mA} \times 22 \text{ k}\Omega = 22 \text{ Vpp}$$

$$U_y \text{ (max)} < I_3 \cdot R_y = 1 \text{ mA} \times 22 \text{ k}\Omega = 22 \text{ Vpp}$$

$$I_{43} = I_3 = 1 \text{ mA}$$

Si se excede de ese valor un lado del amplificador de entrada se cortará y provocará una respuesta no lineal.

El rango máximo de voltaje de salida depende de los componentes elegidos y de las tensiones de entrada, pero varía según la relación:

$$V_o = - K U_x' U_y'$$

Siendo  $U_x'$  e  $U_y'$  las tensiones a las entradas de los divisores de tensión de las patillas 4 y 9.

$$U_x' = 2 U_x$$

$$U_y' = U_y$$

Luego:  $V_o = - 2K U_x U_y$

El potenciómetro  $R_C$ , es para ajustar el valor del factor de escala K.

Hemos seleccionado  $R_X$   $R_Y$ , de forma que seguiremos que los transistores de entrada siempre estén en activo.

El voltaje de alimentación, al igual que el resto de los circuitos, es de  $\pm 12V$ .

El voltaje en la base de los transistores Q5, Q6, Q7 y Q8 (ver hojas de datos), debe ser aproximadamente 0,7 V menor que el voltaje de la patilla 1 (que hemos fijado en 9 V con la resistencia  $R_g = 3K\Omega$ ). Luego para que esos transistores se mantengan en activo el voltaje en la patilla 2 y 14, debe estar aproximadamente a la mitad, entre el voltaje de la patilla 1 y de +U, o sea aproximadamente unos 10,5 V.

El amplificador operacional puesto a la salida (el 351), debe tener bajas corrientes de compensación (de offset), y un alto rango de voltaje de entrada en modo común.

Para conseguir un ajuste perfecto del modulador, anulando los offset y estableciendo el factor de escala al valor deseado, debemos hacer lo siguiente:

1. Offset de la entrada X:

a) Conectar el generador (en 1 K $\Omega$  y 5 Vpp de onda sinusoidal) a la entrada Y en la patilla 4.

- b) Conectar la entrada X (patilla 9) a masa.
- c) Ajustar el potenciómetro  $R_i$  para obtener una AC nula a la salida.

2. Offset a la entrada Y:

- a) Conectar el generador (en 1Kz y 5Vpp de onda sinusoidal) a la entrada X, en la patilla 9.
- b) Conectar la entrada Y (patilla 4z) a masa.
- c) Ajustar  $R_j$  para obtener una AC nula a la salida.

3. Offset de salida.

- a) Conectar ambas entradas X e Y a masa.
- b) Ajustar  $R_s$ , hasta que el voltaje  $V_o$  de salida, sea cero voltios DC.

4. Factor de escala.

- a) Aplicar 10V. DC a ambas entradas X e Y.
- b) Ajustar  $R_c$  hasta encontrar el valor deseado.

**N O T A :**

Para conseguir la modulación ASK, la señal binaria moduladora debe ser toda positiva. O sea debe estar situada sobre el nivel de 0V de tensión de offset.

#### 4.2 MODULACION BINARIA EN FASE [ PSK ] :

Para que la modulacion PCM binaria sea eficiente, se deben emplear pulsos bipolares ( dos pulsos de altura  $A/2$  y  $-A/2$  ) en lugar de los pulsos de altura 0 y A. Asi, en PCM bipolar, los dos simbolos se representan por  $S(t)$  y  $-S(t)$ .

La modulacion binaria en fase se puede considerar como un PCM binario modulado en fase. Una forma de onda PSK tipica se ilustra en la figura (4.2).

La modulacion PSK tiene las ventajas de que la probabilidad de error por bit es pequena, y ademas se puede detectar por envolvente. Tambien tiene un ancho de banda menor que para el FSK.

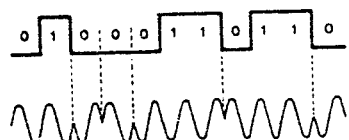
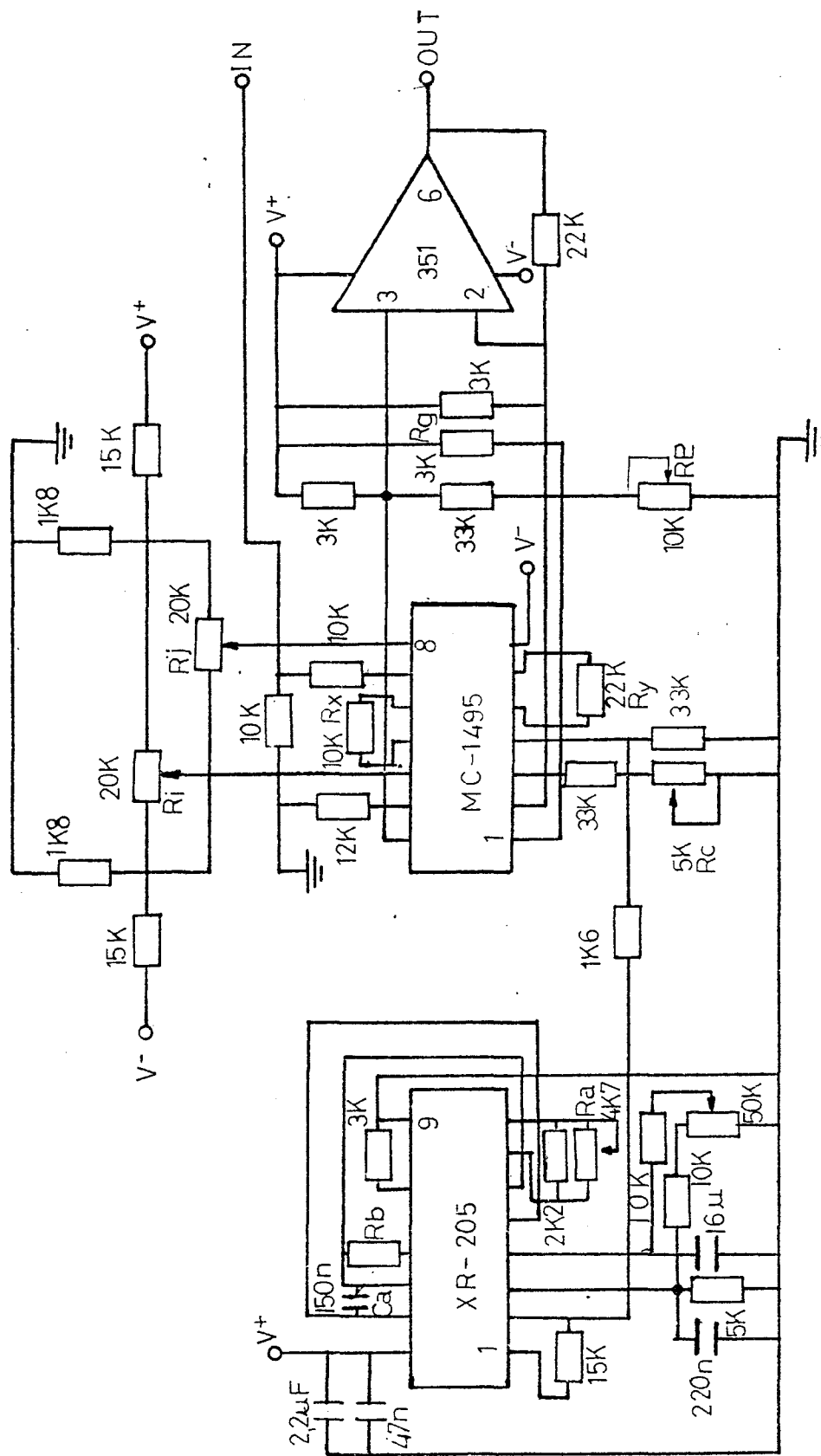


Figura (4.2)

#### 4.2.1 CIRCUITO PROPUESTO : PSK



#### **4.2.2 DESARROLLO PRACTICO:**

Como vemos el circuito propuesto para la modulacion PSK es el mismo que para la ASK, solamente varia la senal moduladora, que en lugar de estar sobre el nivel de 0V de tension offset (toda positiva), debe situarse centrada sobre el, con lo cual su valor estara cambiando de positiva a negativa.

Al ser este circuito un multiplicador analogico, cuando la senal moduladora sea positiva, a la salida tendremos una onda sinusoidal con una fase, y cuando la senal moduladora sea negativa, a la salida tendremos la misma onda sinusoidal, pero desfasada en  $180^\circ$ .

Luego, obtenemos la modulacion binaria en fase ASK.

#### 4.3 MODULACION BINARIA EN FRECUENCIA [ FSK ] :

La modulacion binaria en frecuencia puede considerarse como un PCM binario modulado en frecuencia. Los dos simbolos se representan por dos formas de onda,  $S_1(t)$  y  $S_2(t)$ .

$$S_1(t) = A \operatorname{sen}(m \omega_0 t) \quad \text{para } 0 < t < T$$

$$S_1(t) = 0 \quad \text{para cualquier otro punto.}$$

y

$$S_2(t) = A \operatorname{sen}(n \omega_0 t) \quad \text{para } 0 < t < T$$

$$S_2(t) = 0 \quad \text{para cualquier otro punto.}$$

en donde :  $\omega_0 = 2\pi / T$

Las dos formas de onda se ilustran en la figura (4.3).

La modulacion FSK tiene la ventaja de que la probabilidad de error por bit es pequena. Pero sin embargo tiene la desventaja de que su deteccion no puede hacerse por envolvente sino por metodos mas complicados.

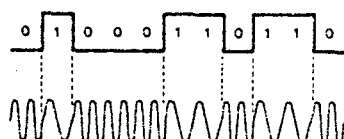
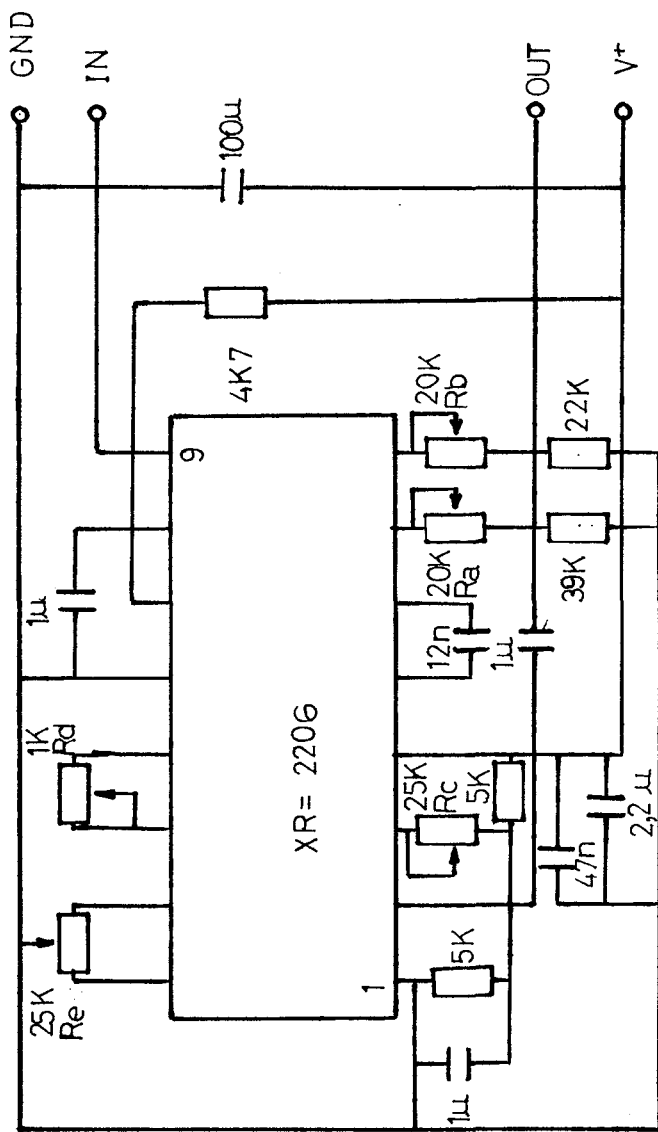


Figura (4.3)

#### 4.3.1 CIRCUITO PROGRESO : FSK



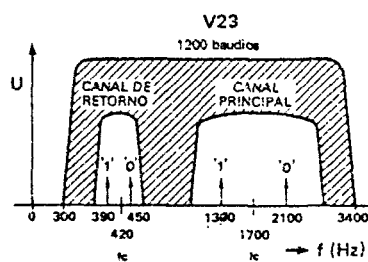
#### 4.3.2 DESARROLLO PRACTICO:

Las líneas normales de la telefonica son de la red conmutada, así llamada porque manejan un gran numero de puntos de conmutacion.

La banda pasante de una de esas líneas se extiende entre los 300 Hz y los 3400 Hz aproximadamente, limites que no alcanza nunca una persona por muy de prisa que hable.

Sin embargo, para un ordenador la estrechez de la banda pasante, implica una limitacion de la frecuencia de transmision ( menos de 2400 Baudios ). Para superar estas restricciones las companias telefonicas disponen de líneas de calidad superior que no aparecen en la red conmutada, y que permiten atender transmisiones hasta 4800 Baudios, llegando a 9600 en las especiales.

La norma V23 del C.C.I.T.T. (Consultative Committee for International Telegraph and Telephone) aconseja dos frecuencias (1200 / 75 Baudios). El canal de 75 Baudios sirve a efectos de control.



El CCITT tambien tiene la norma V21, pero dado que la V23 es la mas utilizada, vamos a tomar esta; donde los niveles altos tiene una frecuencia de 1300 Hz y los niveles bajos 2100 Hz.

El I.C. XR-2206 utilizado para producir esta modulacion FSK, ya fue tambien utilizado para generar la modulacion AM, y como alli vimos, esta compuesto por cuatro bloques funcionales: un VCO, un multiplicador analogico con generador de onda sinusoidal, un amplificador Buffer y unos conmutadores de corriente.

Su frecuencia de oscilacion es proporcional a la corriente total oscilante, sacada de las patillas 7 u 8.

$$f = 320 \text{ It(mA)} / C(\mu\text{F}) \text{ Hz.}$$

Las patillas 7 y 8 son puntos de baja impedancia puestos internamente a 3 voltios con respecto a la patilla 12. La frecuencia varia linealmente con  $It$  sobre un rango de corrientes de 1 uA a 3 mA.

Hemos puesto dos potenciómetro separados  $R_{aa}$  y  $R_{ba}$ , conectados a las patillas 7 y 8 respectivamente. Dependiendo de la polaridad de la señal logica de la patilla 9, se activa una u otra de las resistencias  $R_a$  o  $R_b$ . Si la patilla 9 esta a circuito abierto o conectada a un voltaje mayor o igual a 2V, solo se activara la  $R_a$ . Similarmente, si el nivel de voltaje de la patilla 9 es menor o igual a 1V, solo se activara  $R_b$ . De esta forma la

frecuencia de salida puede ser controlada entre dos niveles,  $f_a$  y  $f_b$ :

$$f_a = 1 / (R_a C) \quad f_b = 1 / (R_b C)$$

Como queremos que las frecuencias de oscilación sean de 1300 Hz para los niveles altos y 2100 Hz para los bajos:

$$f_a = 1 / (63K\Omega \cdot 12,2 \text{ nF}) \approx 1300 \text{ Hz.}$$

$$f_b = 1 / (39K\Omega \cdot 12,2 \text{ nF}) \approx 2100 \text{ Hz.}$$

Luego los valores tomados son:

$$R_a = R_{aa} + R_{ab} = 20K\Omega + 47K\Omega$$

$$R_b = R_{ba} + R_{bb} = 20K\Omega + 22K\Omega$$

$$C = 12,2 \text{ nF.}$$

El nivel de DC en la salida (patilla 2) es aproximadamente el mismo que el de la patilla 3. En este caso particular la patilla 3 la hemos puesto a la mitad de  $V_+$  (6V.), luego a la salida tendremos 6V de DC.

La amplitud de la salida puede variarse, porque es inversamente proporcional a la resistencia externa  $R_c$  conectada a la patilla 3. Para salidas de onda sinusoidal la amplitud es aproximadamente de 60 mV de pico por  $K\Omega$  de  $R_c$ .

Para mejorar la calidad de la señal de salida hemos puesto los potenciómetros  $R_d$  y  $R_e$ . El  $R_e$ , ajusta la forma de onda, y  $R_d$  produce el ajuste fino de la simetría. Los

ajustes los debemos hacer de la siguiente forma:

- a) Ponemos  $R_d$  a la mitad y ajustamos  $R_e$  para la minima distorsion.
- b) Con  $R_e$  ajustada, ajustamos  $R_d$  hasta reducir aun mas la distorsion.

NOTA:

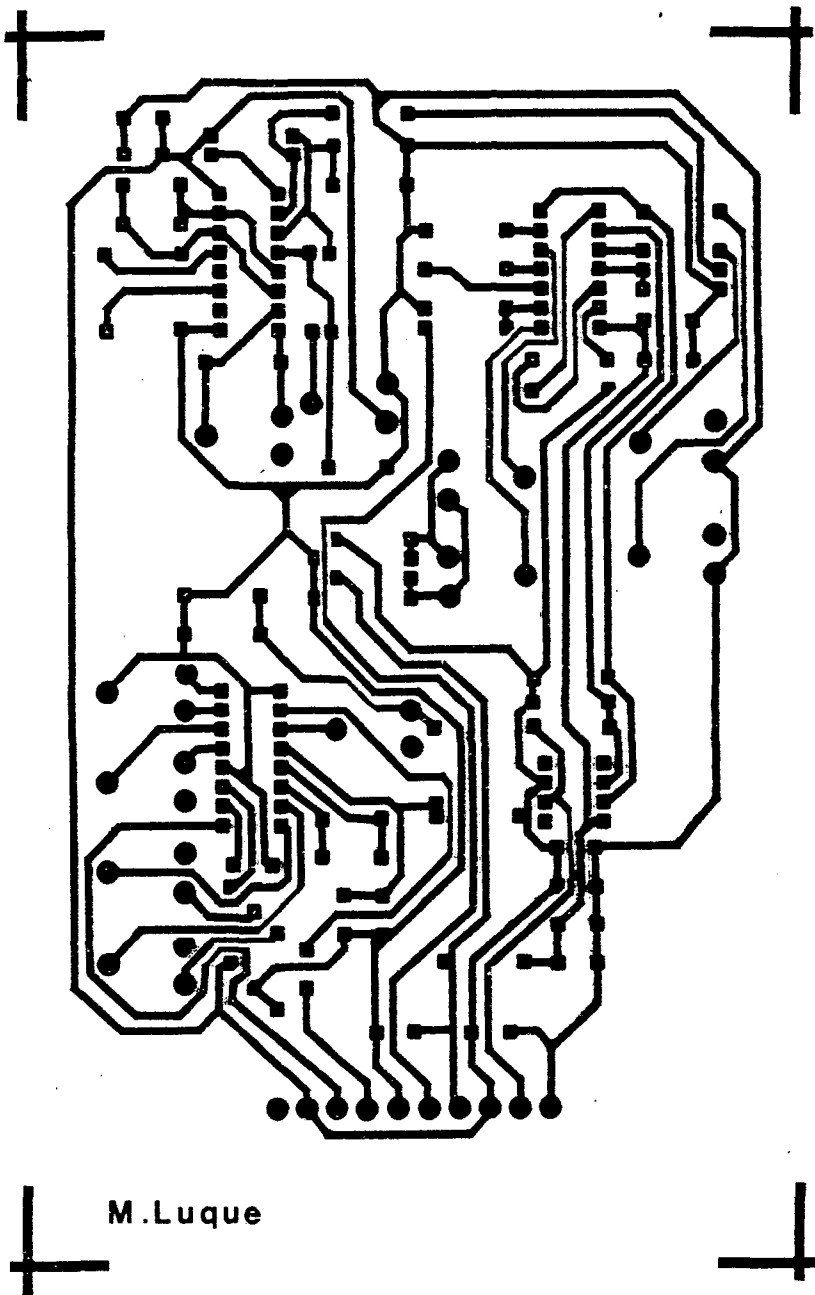
La señal moduladora no debe tener menos de 2Vpp ni mas de 5Vpp.

El nivel de tension de offset debe estar entre 0V y 1V.

Variando  $R_c$  podemos hacer que la amplitud de la salida varie entre 0Vpp y 3Vpp.

La impedancia de salida es de 600 $\Omega$ .

**4.4 MECANORMA ASK, PSK, FSK :**



M.Luque

# XR-205

## Monolithic Waveform Generator

### GENERAL DESCRIPTION

The XR-205 is a highly versatile, monolithic waveform generator designed for diverse applications in communication and telemetry equipment, as well as in systems design and testing. It is a self-contained, totally monolithic signal generator that provides sine, square, triangle, ramp and sawtooth output waveforms, which can be both amplitude and frequency modulated.

The functional block diagram of the monolithic waveform generator is shown below. The circuit has three separate sections: a voltage-controlled oscillator (VCO) which generates the basic periodic waveforms; a balance modulator which provides amplitude or phase modulation; a buffer amplifier section which provides a low impedance output with high current drive capability.

### APPLICATIONS

#### Waveform Generation

Sinewave	Sawtooth
Triangle	Ramp
Square	Pulse

AM Generation Double Sideband Suppressed Carrier  
Crystal-Controlled

#### FM Generation

#### Sweep Generation

Tone Burst Generation

Simultaneous AM/FM

Frequency-Shift Keyed (FSK) Signal Generation

Phase-Shift Keyed (PSK) Signal Generation

On-Off Keyed Oscillation

Clock Generation

### ABSOLUTE MAXIMUM RATINGS

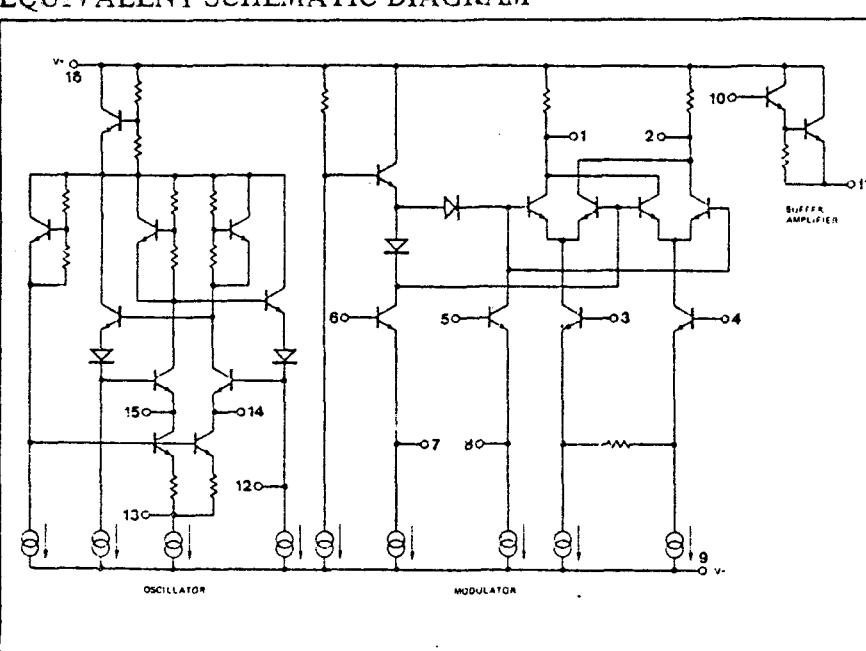
Power Supply	26 volts
Power Dissipation	750 mW
Derate above +25°C	6 mW/°C
Temperature	

Storage -65°C to +150°C

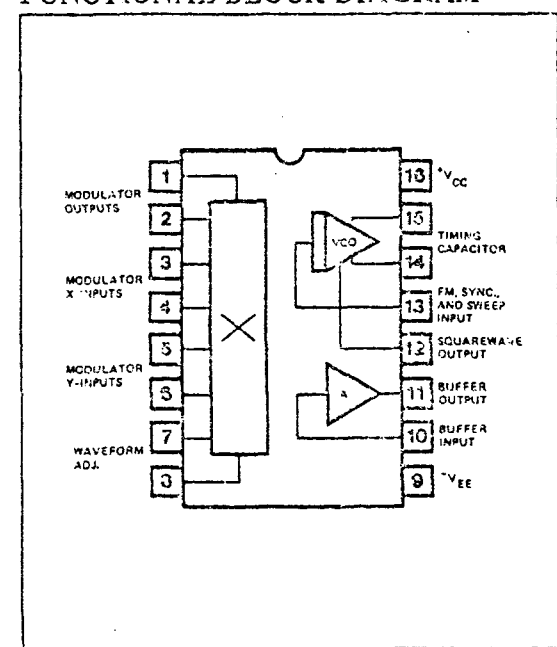
### AVAILABLE TYPES

Part Number	Package Type	Operating Temperature Range
XR-205	Ceramic	0°C to +75°C

### EQUIVALENT SCHEMATIC DIAGRAM



### FUNCTIONAL BLOCK DIAGRAM



# ELECTRICAL CHARACTERISTICS

Test Conditions: Supply Voltage = 12V (single supply)  $T_A = 25^\circ\text{C}$ ,  $f = 10 \text{ kHz}$ ,  $R_L = 3 \text{ k}\Omega$ , unless otherwise specified.

CHARACTERISTICS	LIMITS			UNITS	CONDITIONS
	MIN.	TYP.	MAX.		
<b>I – General Characteristics</b>					
Supply Voltage: Single Supply Split Supply	8 $\pm 5$		26 $\pm 13$	Vdc Vdc	See Figure 1 See Figures 2 and 3
Supply Current	8	10	12	mA	w/o buffer amp
Frequency Stability: Power Supply Temperature		0.2 300	0.5 600	%/V ppm/ $^\circ\text{C}$	$ V_{CC} - V_{EE}  > 10\text{V}$ Sweep input open circuit
Frequency Sweep Range	7:1	10:1			See Figure 7
Output Swing: Single Ended Differential Output Diff. Offset Voltage	2 4	3 6 0.1	0.4	Vpp Vpp Vdc	Measured at pin 1 or 2 Measured across 1 and 2 Measured across 1 and 2
Amplitude Control Range		60		dB	Controlled by $R_g$ (see Figure 1)
Buffer Amplifier Output Resistance		50		ohms	$R_L = 750\Omega$
Output Current Swing	$\pm 6$	$\pm 10$		mA	
<b>II – Output Waveforms</b>					
Sinusoidal: Upper Frequency Limit Peak Output Swing Distortion (THD)	2 2	4 3 2.5	4	MHz Vpp %	Measured at Pin 11 $S_1, S_3$ closed, $S_2$ open closed $S_2$ open
Triangle: Peak Swing Non-Linearity Asymmetry	2	4 $\pm 1$ $\pm 1$		Vpp % %	Measured at Pin 11 $S_1, S_2$ open, $S_3$ closed $f = 10 \text{ kHz}$
Sawtooth: Peak Swing Non-Linearity	2	3 1.5		Vpp %	See Figure 1, $S_2$ closed; $S_2$ and $S_3$ closed
Ramp: Peak-Swing Non-Linearity	1	1.4 1		Vpp %	See Figure 1, $S_2$ and $S_3$ open pin 10 shorted to pin 15
Squarewave (Low Level): Output Swing Duty Cycle Asymmetry Rise Time Fall Time	0.5	0.7 $\pm 1$ 20 20	$\pm 4$	Vpp % ns ns	See Figure 1, $S_2$ and $S_3$ open, pin 10 shorted to pin 12 10 pF connected from pin 11 to ground
Squarewave (High Level): Peak Swing Duty Cycle Asymmetry Rise Time Fall Time	2	3 $\pm 1$ 80 60	$\pm 4$	Vpp % ns ns	See Figure 3, $S_2$ open 10 pF connected from pin 11 to ground
Pulse Output: Peak Swing Rise Time Fall Time	2	3 80 60		Vpp Vpp ns ns	See Figure 3, $S_2$ closed See Figure 3, $S_2$ closed
Duty Cycle Range		20-80		%	Adjustable (see Figure 6)
<b>III – Modulation Characteristics (sine, triangle and squarewave):</b>					
Amplitude Modulation: Double Sideband Modulation Range Linearity Sideband Symmetry Suppressed Carrier Carrier Suppression		0-100 0.5 1.0 52		% % % dB	See Figure 2 for 30% modulation $f < 1 \text{ MHz}$
Frequency Modulation: Distortion		0.3		%	See Figure 2 ( $\pm 10$ frequency deviation)

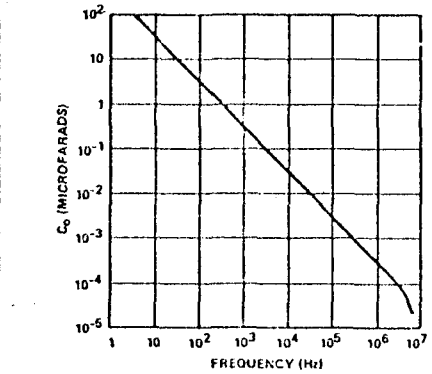


Figure 4. Frequency as a Function of  $C_o$  Across Pins 14 and 15

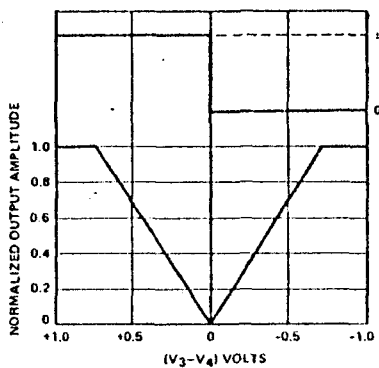


Figure 5. Modulator Section Phase and Amplitude Transfer Characteristics

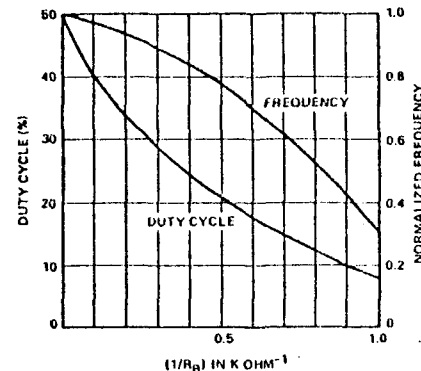


Figure 6. Duty-Cycle and Frequency Variation as a Function of Resistor  $R_B$  Connected Across Pins 13 and 14

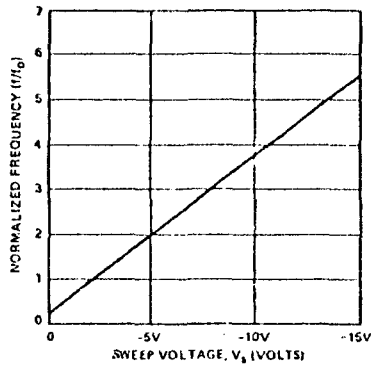


Figure 7. Normalized Frequency vs. Sweep Voltage

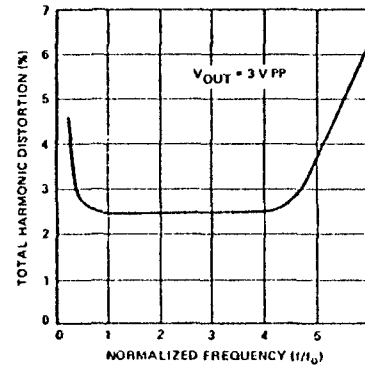
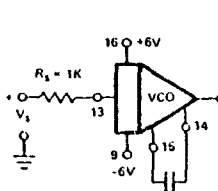


Figure 8. Sinusoidal Output Distortion as a Function of Frequency Sweep

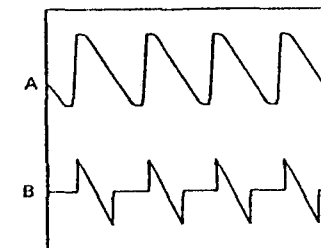


Figure 9. Sinusoidal Sawtooth and Linear Ramp Outputs

### ORDERING INFORMATION

Device	Temperature Range	Package
MC1495L	0°C to +70°C	Ceramic DIP
MC1595L	-55°C to +125°C	Ceramic DIP

**MC1495L  
MC1595L**

### Specifications and Applications Information

#### WIDEBAND MONOLITHIC FOUR-QUADRANT MULTIPLIER

. . . designed for uses where the output is a linear product of two input voltages. Maximum versatility is assured by allowing the user to select the level shift method. Typical applications include: multiply, divide\*, square root\*, mean square\*, phase detector, frequency doubler, balanced modulator/demodulator, electronic gain control.

\*When used with an operational amplifier.

- Wide Bandwidth
- Excellent Linearity – 1% max Error on X-Input, 2% max Error on Y-Input – MC1595L
- Excellent Linearity – 2% max Error on X-Input, 4% max Error on Y-Input – MC1495L
- Adjustable Scale Factor, K
- Excellent Temperature Stability
- Wide Input Voltage Range –  $\pm 10$  Volts
- $\pm 15$  Volt Operation

#### LINEAR FOUR-QUADRANT MULTIPLIER INTEGRATED CIRCUIT

MONOLITHIC SILICON EPITAXIAL PASSIVATED



CERAMIC PACKAGE  
CASE 632  
TO-116

FIGURE 1 – FOUR-QUADRANT MULTIPLIER TRANSFER CHARACTERISTIC

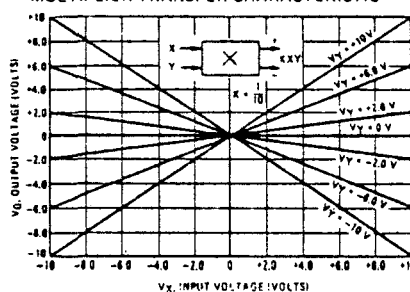


FIGURE 2 – TRANSCONDUCTANCE BANDWIDTH

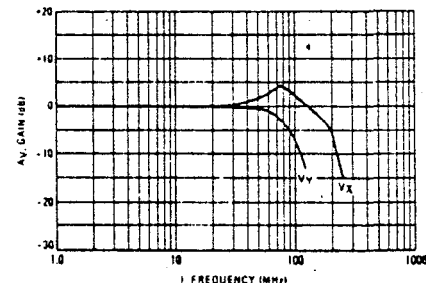
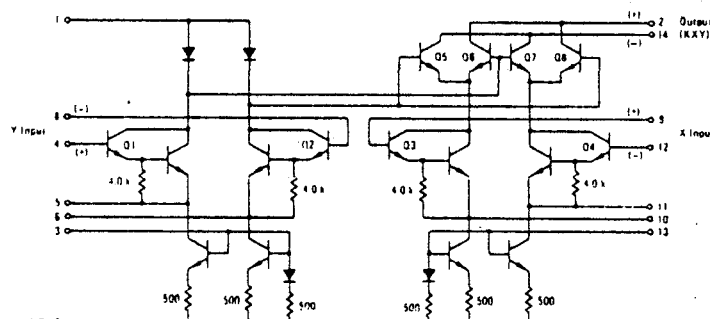


FIGURE 3 – CIRCUIT SCHEMATIC



**ELECTRICAL CHARACTERISTICS** ( $V^+ = +32V$ ,  $V^- = -15V$ ,  $T_A = +25^\circ C$ ,  $I_3 = I_{13} = 1mA$ ,  $R_X = R_Y = 15k\Omega$ ,  $R_L = 11k\Omega$  unless otherwise noted)

Characteristic	Figure	Symbol	Min	Typ	Max	Unit
Linearity: Output Error in Percent of Full Scale: $T_A = +25^\circ C$ $-10 < V_X < +10$ ( $V_Y = \pm 10V$ ) $-10 < V_Y < +10$ ( $V_X = \pm 10V$ ) $T_A = 0$ to $+70^\circ C$ $-10 < V_X < +10$ ( $V_Y = \pm 10V$ ) $-10 < V_Y < +10$ ( $V_X = \pm 10V$ ) $T_A = -55^\circ C$ to $+125^\circ C$ $-10 < V_X < +10$ ( $V_Y = \pm 10V$ ) $-10 < V_Y < +10$ ( $V_X = \pm 10V$ )	5	$E_{RX}$ $E_{RY}$ $E_{RX}$ $E_{RY}$ $E_{RX}$ $E_{RY}$	— — — — — —	$\pm 1.0$ $\pm 0.5$ $\pm 2.0$ $\pm 1.0$ $\pm 1.5$ $\pm 3.0$ $\pm 0.75$ $\pm 1.50$	$\pm 2.0$ $\pm 1.0$ $\pm 4.0$ $\pm 2.0$ — — — —	%
Squaring Mode Error: Accuracy in Percent of Full Scale After Offset and Scale Factor Adjustment: $*T_A = +25^\circ C$ $T_A = 0$ to $+70^\circ C$ $T_A = -55^\circ C$ to $+125^\circ C$	5	$E_{SQ}$	— — —	$\pm 0.75$ $\pm 0.5$ $\pm 1.0$ $\pm 0.75$	— — — —	%
Scale Factor (Adjustable) $(K = \frac{2R_L}{I_3 R_X R_Y})$	—	K	—	0.1	—	—
Input Resistance ( $f = 20$ Hz)	7	$R_{INX}$ $R_{INY}$	— — — —	20 35 20 35	— — — —	MegOhms
Differential Output Resistance ( $f = 20$ Hz)	8	$R_o$	—	300	—	k Ohms
Input Bias Current $I_{bx} = \frac{(I_9 + I_{12})}{2}, I_{by} = \frac{(I_4 + I_8)}{2}$	6	$I_{bx}$ $I_{by}$	— — — —	2.0 2.0 2.0 2.0	12 8.0 12 8.0	$\mu A$
Input Offset Current $ I_9 - I_{12} $ $ I_4 - I_8 $	6	$ I_{iox} $ $ I_{ioy} $	— — — —	0.4 0.2 0.4 0.2	2.0 1.0 2.0 1.0	$\mu A$
Average Temperature Coefficient of Input Offset Current ( $T_A = 0$ to $+70^\circ C$ ) ( $T_A = -55^\circ C$ to $+125^\circ C$ )	6	$ TC_{ioi} $	— —	2.0 2.0	— —	nA/ $^\circ C$
Output Offset Current $ I_{14} - I_2 $	6	$ I_{ioo} $	— —	20 10	100 50	$\mu A$
Average Temperature Coefficient of Output Offset Current ( $T_A = 0$ to $+70^\circ C$ ) ( $T_A = -55^\circ C$ to $+125^\circ C$ )	6	$ TC_{ioo} $	— —	1.0 1.0	— —	nA/ $^\circ C$
Frequency Response 3.0 dB Bandwidth, $R_L = 11k\Omega$ 3.0 dB Bandwidth, $R_L = 50\Omega$ (Transconductance Bandwidth) 3° Relative Phase Shift Between $V_X$ and $V_Y$ 1% Absolute Error Due to Input-Output Phase Shift	9,10	$BW_{3dB}$ $T_{BW3dB}$ $f_\phi$ $f_0$	— — — —	3.0 80 750 30	— — — —	MHz MHz kHz kHz
Common Mode Input Swing (Either Input)	11	CMV	$\pm 10.5$ $\pm 11.5$	$\pm 12$ $\pm 13$	— —	Vdc
Common Mode Gain (Either Input)	11	$A_{CM}$	-40 -50	-50 -60	— —	dB
Common Mode Quiescent Output Voltage	12	$V_{o1}$ $V_{o2}$	— —	21 21	— —	Vdc
Differential Output Voltage Swing Capability	9	$V_o$	—	$\pm 14$	—	$V_{peak}$
Power Supply Sensitivity	12	$S^+$ $S^-$	— —	5.0 10	— —	mV/V
Power Supply Current	12	$I_7$	—	6.0	7.0	mA
DC Power Dissipation	12	$P_D$	—	135	170	mW

# MC1495L, MC1595L

## TYPICAL CHARACTERISTICS

FIGURE 15 - LINEARITY versus TEMPERATURE

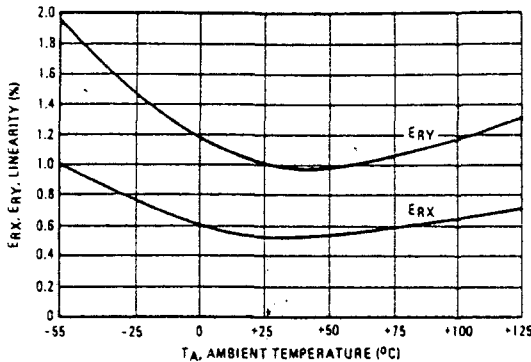


FIGURE 16 - SCALE FACTOR versus TEMPERATURE

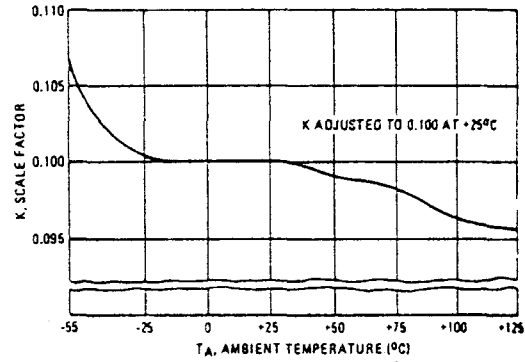


FIGURE 17 - ERROR CONTRIBUTED BY INPUT DIFFERENTIAL AMPLIFIER

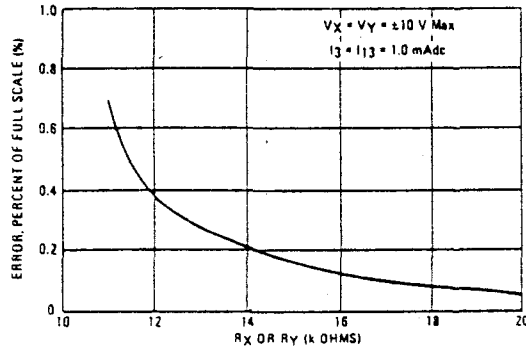


FIGURE 18 - ERROR CONTRIBUTED BY INPUT DIFFERENTIAL AMPLIFIER

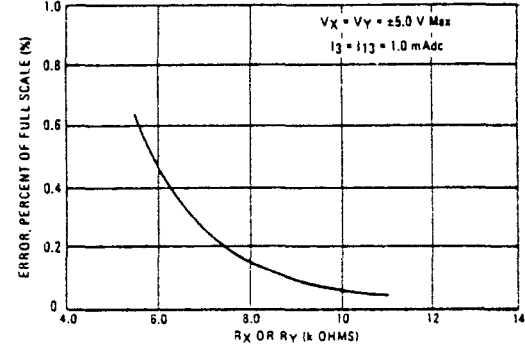
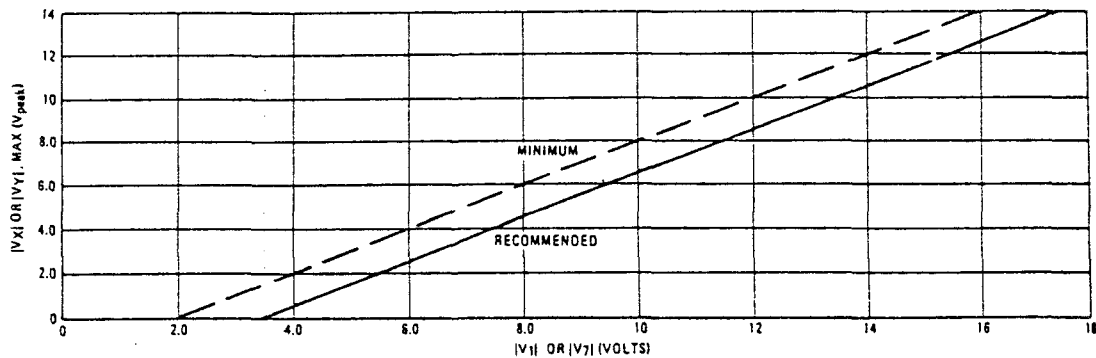


FIGURE 19 - MAXIMUM ALLOWABLE INPUT VOLTAGE versus VOLTAGE AT PIN 1 OR PIN 7



### MAXIMUM RATINGS ( $T_A = +25^\circ\text{C}$ unless otherwise noted)

Rating	Symbol	Value	Unit
Applied Voltage ( $V_2-V_1, V_{14}-V_1, V_1-V_9, V_1-V_{12}, V_1-V_4, V_1-V_8, V_{12}-V_7, V_9-V_7, V_8-V_7, V_4-V_7$ )	$\Delta V$	30	Vdc
Differential Input Signal $V_{12}-V_9$ $V_4-V_8$	$I(6+I_{13}R_X)$ $\pm(I_{13}R_Y)$		Vdc Vdc
Maximum Bias Current $I_3$ $I_{13}$		10 10	mA
Power Dissipation (Package Limitation) Ceramic Package Derate above $T_A = +25^\circ\text{C}$	$P_D$	750 5.0	mW mW/ $^\circ\text{C}$
Operating Temperature Range MC1495 MC1595	$T_A$	0 to +70 -55 to +125	$^\circ\text{C}$ $^\circ\text{C}$
Storage Temperature Range	$T_{stg}$	-65 to +150	$^\circ\text{C}$



National  
Semiconductor

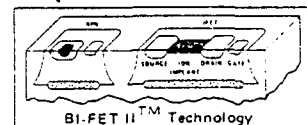
## LF351 Wide Bandwidth JFET Input Operational Amplifier

### General Description

The LF351 is a low cost high speed JFET input operational amplifier with an internally trimmed input offset voltage (BI-FET II™ technology). The device requires a low supply current and yet maintains a large gain bandwidth product and a fast slew rate. In addition, well matched high voltage JFET input devices provide very low input bias and offset currents. The LF351 is pin compatible with the standard LM741 and uses the same offset voltage adjustment circuitry. This feature allows designers to immediately upgrade the overall performance of existing LM741 designs.

The LF351 may be used in applications such as high speed integrators, fast D/A converters, sample-and-hold circuits and many other circuits requiring low input offset voltage, low input bias current, high input impedance, high slew rate and wide bandwidth. The device has low noise and offset voltage drift, but for applica-

### Operational Amplifiers/Buffers

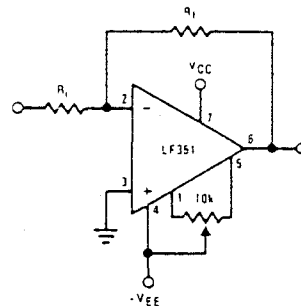


tions where these requirements are critical, the LF356 is recommended. If maximum supply current is important, however, the LF351 is the better choice.

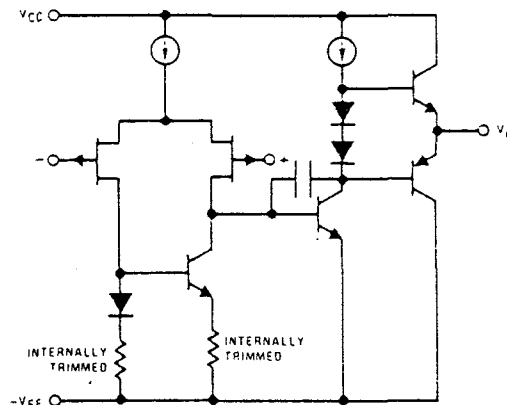
### Features

■ Internally trimmed offset voltage	10 mV
■ Low input bias current	50 pA
■ Low input noise voltage	16 nV/V <sup>Hz</sup>
■ Low input noise current	0.01 pA/V <sup>Hz</sup>
■ Wide gain bandwidth	4 MHz
■ High slew rate	13 V/ <sup>s</sup>
■ Low supply current	1.8 mA
■ High input impedance	10 <sup>12</sup> Ω
■ Low total harmonic distortion Av = 10, RL = 10K, Vo = 20 Vp-p, BW = 20 Hz-20 kHz	<0.02%
■ Low 1/f noise corner	50 Hz
■ Fast settling time to 0.01%	2 μs

### Typical Connection

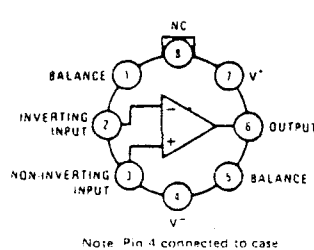


### Simplified Schematic



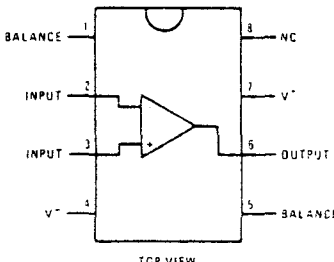
### Connection Diagrams (Top Views)

#### Metal Can Package



Order Number LF351M  
See NS Package H08C

#### Dual-In-Line Package



Order Number LF351N  
See NS Package N08A

**Absolute Maximum Ratings**

Supply Voltage	$\pm 18V$
Power Dissipation (Note 1)	500 mW
Operating Temperature Range	0°C to +70°C
$T_J(MAX)$	115°C
Differential Input Voltage	$\pm 30V$
Input Voltage Range (Note 2)	$\pm 15V$
Output Short Circuit Duration	Continuous
Storage Temperature Range	-65°C to +150°C
Lead Temperature (Soldering, 10 seconds)	300°C

**DC Electrical Characteristics (Note 3)**

SYMBOL	PARAMETER	CONDITIONS	LF351			UNITS
			MIN	TYP	MAX	
$V_{OS}$	Input Offset Voltage	$R_S = 10k\Omega, T_A = 25^\circ C$ Over Temperature		5	10	mV
$\Delta V_{OS}/\Delta T$	Average TC of Input Offset Voltage	$R_S = 10k\Omega$		10	13	$\mu V/\text{ }^\circ C$
$I_{OS}$	Input Offset Current	$T_J = 25^\circ C$ (Notes 3, 4) $T_J \leq 70^\circ C$		25	100	pA
$I_B$	Input Bias Current	$T_J = 25^\circ C$ (Notes 3, 4) $T_J \leq 70^\circ C$		50	200	nA
$R_{IN}$	Input Resistance	$T_J = 25^\circ C$		$10^{12}$		$\Omega$
$AVOL$	Large Signal Voltage Gain	$V_S = \pm 15V, T_A = 25^\circ C$ $V_O = \pm 10V, R_L = 2k\Omega$ Over Temperature	25	100		V/mV
$V_O$	Output Voltage Swing	$V_S = \pm 15V, R_L = 10k\Omega$	$\pm 12$	$\pm 13.5$		V
$V_{CM}$	Input Common-Mode Voltage Range	$V_S = \pm 15V$	$\pm 11$	$+15$ $-12$		V
CMRR	Common-Mode Rejection Ratio	$R_S \leq 10k\Omega$	70	100		dB
PSRR	Supply Voltage Rejection Ratio	(Note 5)	70	100		dB
$I_S$	Supply Current			1.8	3.4	mA

**AC Electrical Characteristics (Note 3)**

SYMBOL	PARAMETER	CONDITIONS	LF351			UNITS
			MIN	TYP	MAX	
SR	Slew Rate	$V_S = \pm 15V, T_A = 25^\circ C$		13		V/ $\mu s$
GBW	Gain Bandwidth Product	$V_S = \pm 15V, T_A = 25^\circ C$		4		MHz
$e_n$	Equivalent Input Noise Voltage	$T_A = 25^\circ C, R_S = 100\Omega, f = 1000\text{ Hz}$		16		$nV/\sqrt{\text{Hz}}$
$i_n$	Equivalent Input Noise Current	$T_J = 25^\circ C, f = 1000\text{ Hz}$		0.01		$pA/\sqrt{\text{Hz}}$

Note 1: For operating at elevated temperature, the device must be derated based on a thermal resistance of  $150^\circ C/W$  junction to ambient or  $45^\circ C/W$  junction to case.

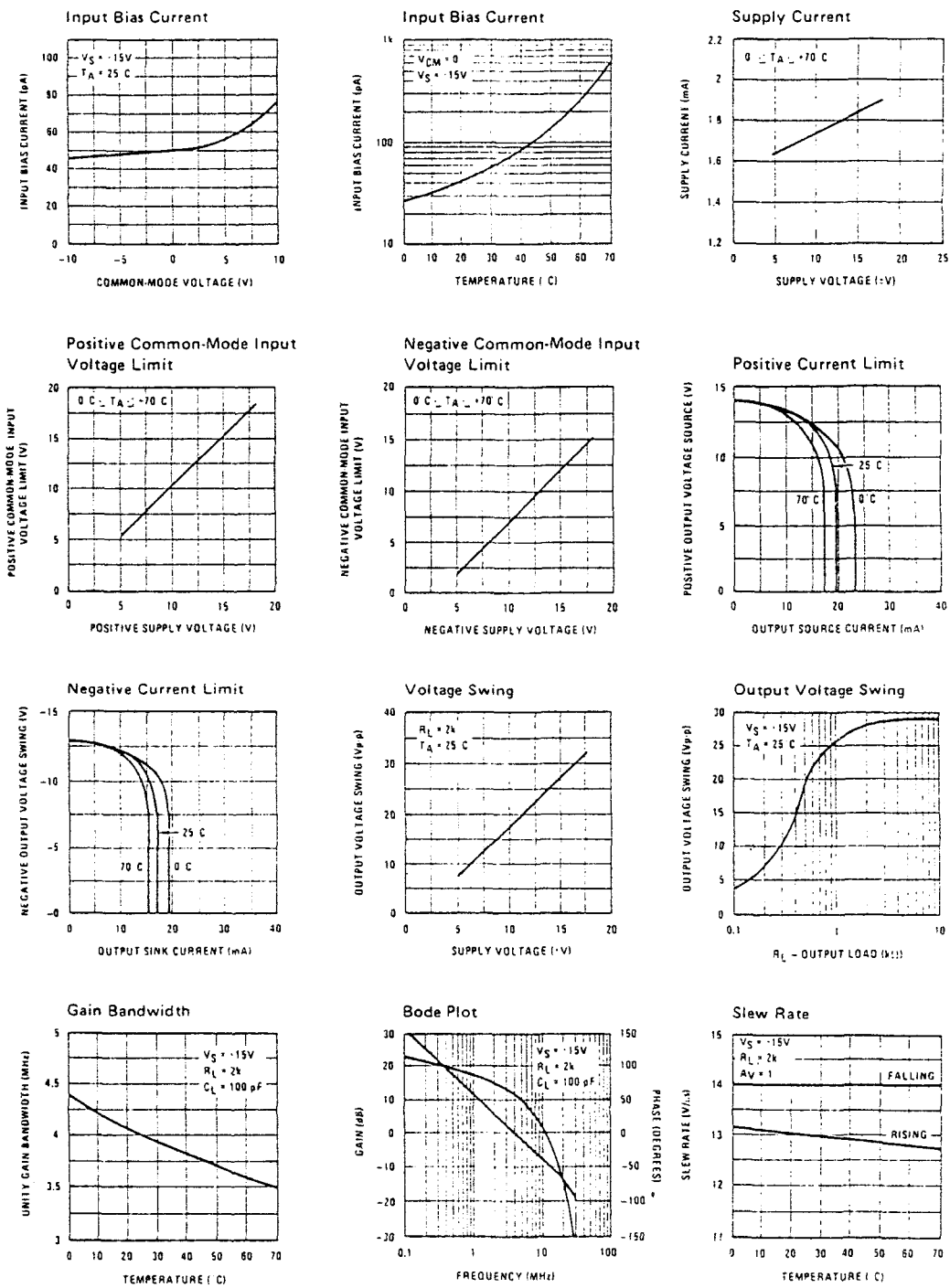
Note 2: Unless otherwise specified the absolute maximum negative input voltage is equal to the negative power supply voltage.

Note 3: These specifications apply for  $V_S = \pm 15V$  and  $0^\circ C \leq T_A \leq +70^\circ C$ .  $V_{OS}$ ,  $I_B$  and  $I_{OS}$  are measured at  $V_{CM} = 0$ .

Note 4: The input bias currents are junction leakage currents which approximately double for every  $10^\circ C$  increase in the junction temperature,  $T_J$ . Due to the limited production test time, the input bias currents measured are correlated to junction temperature. In normal operation the junction temperature rises above the ambient temperature as a result of internal power dissipation,  $P_D$ .  $T_J = T_A + \theta_{JA} P_D$  where  $\theta_{JA}$  is the thermal resistance from junction to ambient. Use of a heat sink is recommended if input bias current is to be kept to a minimum.

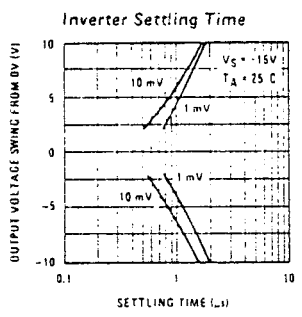
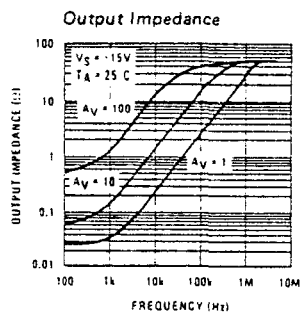
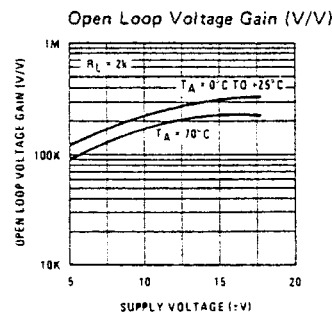
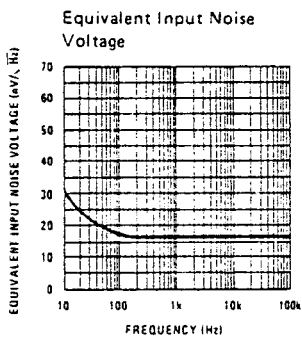
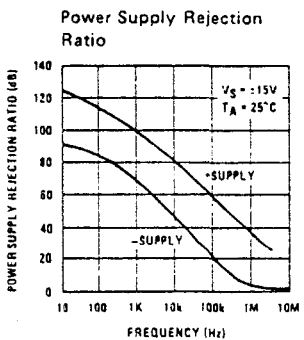
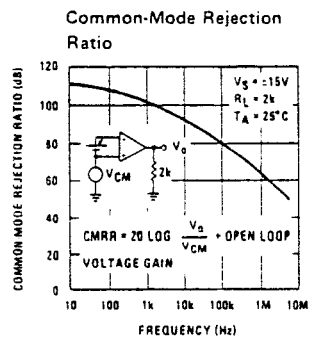
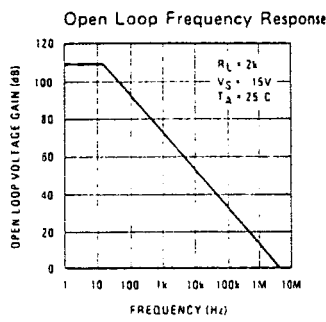
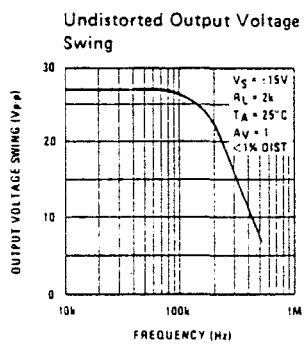
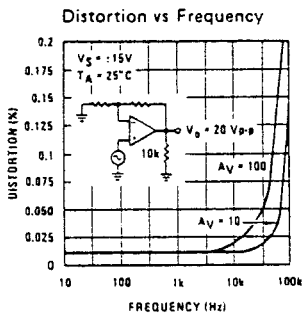
Note 5: Supply voltage rejection ratio is measured for both supply magnitudes increasing or decreasing simultaneously in accordance with common practice.

## Typical Performance Characteristics



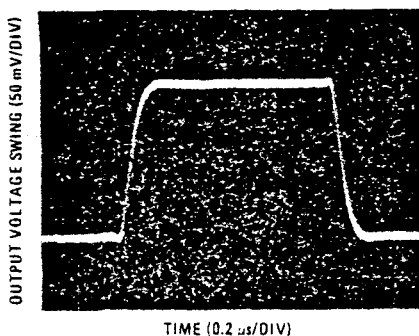
**LF351**

### Typical Performance Characteristics (Continued)

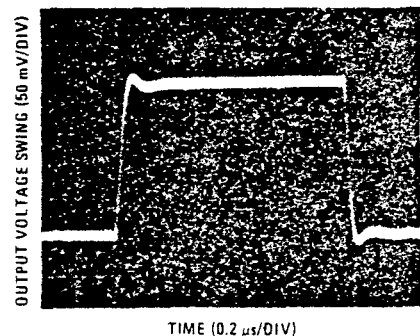


## Pulse Response

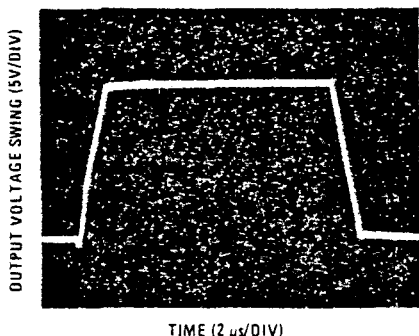
Small Signal Inverting



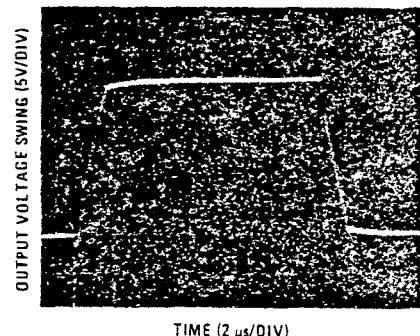
Small Signal Non-inverting



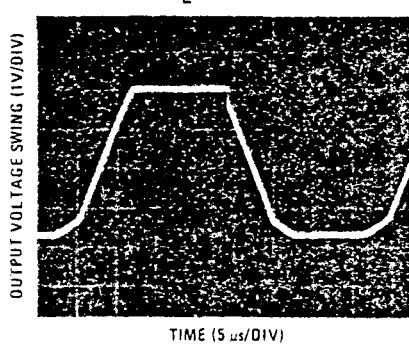
Large Signal Inverting



Large Signal Non-Inverting



Current Limit ( $R_L = 100\Omega$ )



## Application Hints

The LF351 is an op amp with an internally trimmed input offset voltage and JFET input devices (BI-FET <sup>TM</sup>). These JFETs have large reverse breakdown voltages from gate to source and drain eliminating the need for clamps across the inputs. Therefore, large differential input voltages can easily be accommodated without a large increase in input current. The maximum differential input voltage is independent of the supply voltages. However, neither of the input voltages should be

allowed to exceed the negative supply as this will cause large currents to flow which can result in a destroyed unit.

Exceeding the negative common-mode limit on either input will cause a reversal of the phase to the output and force the amplifier output to the corresponding high or low state. Exceeding the negative common-mode limit on both inputs will force the amplifier output to a

## Application Hints (Continued)

high state. In neither case does a latch occur since raising the input back within the common-mode range again puts the input stage and thus the amplifier in a normal operating mode.

Exceeding the positive common-mode limit on a single input will not change the phase of the output; however, if both inputs exceed the limit, the output of the amplifier will be forced to a high state.

The amplifier will operate with a common-mode input voltage equal to the positive supply; however, the gain bandwidth and slew rate may be decreased in this condition. When the negative common-mode voltage swings to within 3V of the negative supply, an increase in input offset voltage may occur.

The LF351 is biased by a zener reference which allows normal circuit operation on  $\pm 4V$  power supplies. Supply voltages less than these may result in lower gain bandwidth and slew rate.

The LF351 will drive a  $2\text{ k}\Omega$  load resistance to  $\pm 10\text{ V}$  over the full temperature range of  $0^\circ\text{C}$  to  $+70^\circ\text{C}$ . If the amplifier is forced to drive heavier load currents, however, an increase in input offset voltage may occur on the negative voltage swing and finally reach an active current limit on both positive and negative swings.

Precautions should be taken to ensure that the power supply for the integrated circuit never becomes reversed in polarity or that the unit is not inadvertently installed

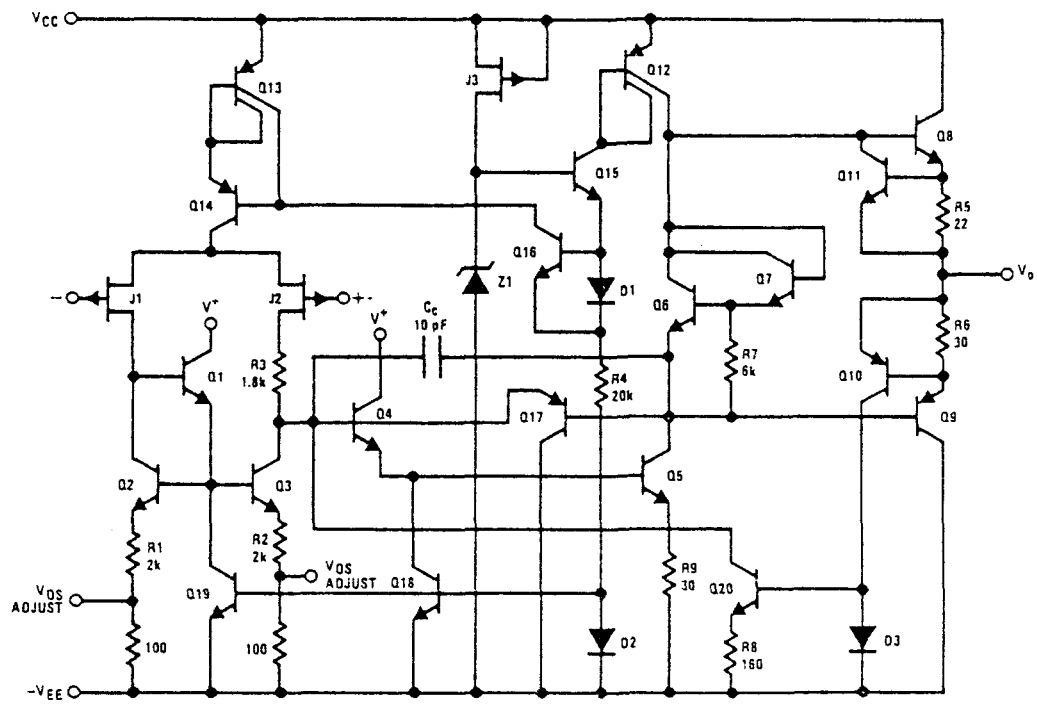
backwards in a socket as an unlimited current surge through the resulting forward diode within the IC could cause fusing of the internal conductors and result in a destroyed unit.

Because these amplifiers are JFET rather than MOSFET input op amps they do not require special handling.

As with most amplifiers, care should be taken with lead dress, component placement and supply decoupling in order to ensure stability. For example, resistors from the output to an input should be placed with the body close to the input to minimize "pick-up" and maximize the frequency of the feedback pole by minimizing the capacitance from the input to ground.

A feedback pole is created when the feedback around any amplifier is resistive. The parallel resistance and capacitance from the input of the device (usually the inverting input) to AC ground set the frequency of the pole. In many instances the frequency of this pole is much greater than the expected 3 dB frequency of the closed loop gain and consequently there is negligible effect on stability margin. However, if the feedback pole is less than approximately 6 times the expected 3 dB frequency a lead capacitor should be placed from the output to the input of the op amp. The value of the added capacitor should be such that the RC time constant of this capacitor and the resistance it parallels is greater than or equal to the original feedback pole time constant.

## Detailed Schematic



# XR-2206

## Monolithic Function Generator

The XR-2206 is a monolithic function generator integrated circuit capable of producing high quality sine, square, triangle, ramp and pulse waveforms of high stability and accuracy. The output waveforms can be both amplitude and frequency modulated by an external voltage. Frequency of operation can be selected externally over a range of 0.01 Hz to more than 1 MHz.

The XR-2206 is ideally suited for communications, instrumentation, and function generator applications requiring sinusoidal tone, AM, FM or FSK generation. It has a typical drift specification of 20 ppm/ $^{\circ}\text{C}$ . The oscillator frequency can be linearly swept over a 2000:1 frequency range with an external control voltage with very little affect on distortion.

As shown in Figure 1, the monolithic circuit is comprised of four functional blocks: a voltage-controlled oscillator (VCO); an analog multiplier and sine-shaper; a unity gain buffer amplifier; and a set of current switches. The internal current switches transfer the oscillator current to any one of the two external timing resistors to produce two discrete frequencies selected by the logic level at the FSK input terminal (pin 9).

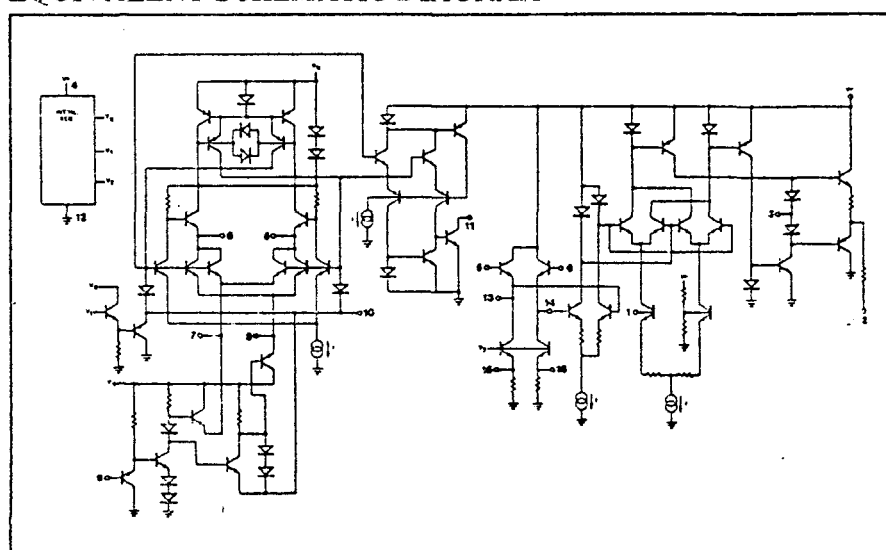
### FEATURES

- Low Sinewave Distortion (THD .5%) – insensitive to signal sweep
- Excellent Stability (20 ppm/ $^{\circ}\text{C}$ , typ)
- Wide Sweep Range (2000:1, typ)
- Low Supply Sensitivity (0.01%/V, typ)
- Linear Amplitude Modulation
- Adjustable Duty-Cycle (1% to 99%)
- TTL Compatible FSK Controls
- Wide Supply Range (10V to 26V)

### APPLICATIONS

- Waveform Generation
  - Sine, Square, Triangle, Ramp
- Sweep Generation
- AM/FM Generation
- FSK and PSK Generation
- Voltage-to-Frequency Conversion
- Tone Generation
- Phase-Locked Loops

### EQUIVALENT SCHEMATIC DIAGRAM



### ABSOLUTE MAXIMUM RATINGS

Power Supply	26V
Power Dissipation (package limitation)	
Ceramic package	750 mW
Derate above +25 $^{\circ}\text{C}$	6.0 mW/ $^{\circ}\text{C}$
Plastic package	625 mW
Derate above +25 $^{\circ}\text{C}$	5 mW/ $^{\circ}\text{C}$
Storage Temperature Range	-65 $^{\circ}\text{C}$ to +150 $^{\circ}\text{C}$

### AVAILABLE TYPES

Part Number	Package Types	Operating Temperature Range
XR-2206M	Ceramic	-55 $^{\circ}\text{C}$ to +125 $^{\circ}\text{C}$
XR-2206N	Ceramic	0 $^{\circ}\text{C}$ to +75 $^{\circ}\text{C}$
XR-2206P	Plastic	0 $^{\circ}\text{C}$ to +75 $^{\circ}\text{C}$
XR-2206CN	Ceramic	0 $^{\circ}\text{C}$ to +75 $^{\circ}\text{C}$
XR-2206CP	Plastic	0 $^{\circ}\text{C}$ to +75 $^{\circ}\text{C}$

### FUNCTIONAL BLOCK DIAGRAM

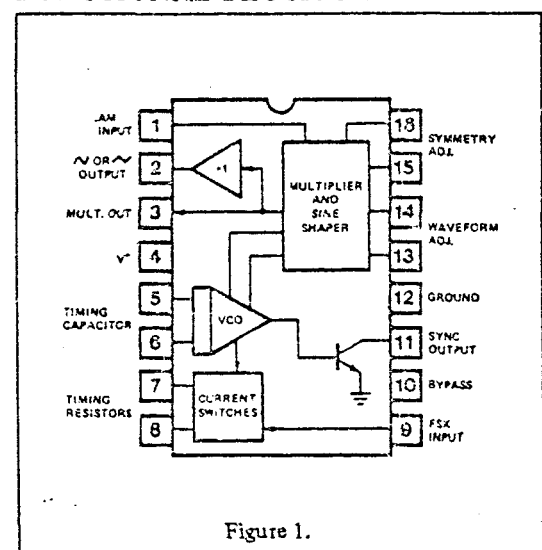


Figure 1.

## ELECTRICAL CHARACTERISTICS

Test Conditions: Test Circuit of Fig. 2,  $V^+ = 12V$ ,  $T_A = 25^\circ C$ ,  $C = 0.01 \mu F$ ,  $R_1 = 100 K\Omega$ ,  $R_2 = 10 K\Omega$ ,  $R_3 = 25 K\Omega$  unless otherwise specified.  $S_1$  open for triangle, closed for sinewave.

CHARACTERISTICS	XR-2206/XR-2206M			XR-2206C			UNITS	CONDITIONS
	MIN.	TYP.	MAX.	MIN.	TYP.	MAX.		
Supply Voltage Single Supply Split Supply	10 $\pm 5$		26 $\pm 13$	10 $\pm 5$		26 $\pm 13$	V V mA	$R_1 \geq 10 K\Omega$
Supply Current		12	17		14	20		
Oscillator Section Max. Operating Frequency Lowest Practical Frequency Frequency Accuracy Temperature Stability Supply Sensitivity	0.5	1 0.01 $\pm 1$	$\pm 4$	0.5	1 0.01 $\pm 2$	$\pm 20$	MHz Hz % of $f_o$ ppm/ $^\circ C$ %/V	$C = 1000 pF$ , $R_1 = 1 K\Omega$ $C = 50 \mu F$ , $R_1 = 2 M\Omega$ $f_o = 1/R_1 C$ $0^\circ C \leq T_A \leq 75^\circ C$ , $R_1 = R_2 = 20 K\Omega$ $V_{LOW} = 10V$ , $V_{HIGH} = 20V$ , $R_1 = R_2 = 20 K\Omega$
Sweep Range	1000:1	2000:1			2000:1		$f_H = f_L$	$f_H @ R_1 = 1 K\Omega$ $f_L @ R_1 = 2 M\Omega$
Sweep Linearity 10:1 Sweep 1000:1 Sweep FM Distortion		2 8 0.1			2 8 0.1		% % %	$f_L = 1 kHz$ , $f_H = 10 kHz$ $f_L = 100 Hz$ , $f_H = 100 kHz$ $\pm 10\% \text{ Deviation}$
Recommended Timing Components Timing Capacitor: C Timing Resistors: $R_1$ & $R_2$	0.001 1		100 2000	0.001 1		100 2000	$\mu F$ $K\Omega$	See Figure 5
Triangle/Sinewave Output Triangle Amplitude Sinewave Amplitude Max. Output Swing Output Impedance Triangle Linearity Amplitude Stability Sinewave Amplitude Stability	40	160 60 6 600 1 0.5 -4800	80		160 60 6 600 1 0.5 -4800		mV/K $\Omega$ mV/K $\Omega$ V <sub>pp</sub> $\Omega$ % dB ppm/ $^\circ C$	See Note 1, Fig. 3 Fig. 2 $S_1$ Open Fig. 2 $S_1$ Closed  For 1000:1 Sweep See Note 2
Sinewave Distortion Without Adjustment With Adjustment		2.5 0.4	1.0		2.5 0.5	1.5	% %	$R_1 = 30 K\Omega$ See Figure 11 See Figure 12
Amplitude Modulation Input Impedance Modulation Range Carrier Suppression Linearity	50	100 100 55 2		50	100 100 55 2		$K\Omega$ % dB %	For 95% modulation
Square Wave Output Amplitude Rise Time Fall Time Saturation Voltage Leakage Current		12 250 50 0.2 0.1	0.4 20		12 250 50 0.2 0.1	0.6 100	V <sub>pp</sub> nsec nsec V $\mu A$	Measured at Pin 11 $C_L = 10 pF$ $C_L = 10 pF$ $I_L = 2 mA$ $V_{11} = 26V$
FSK Keying Level (Pin 9)	0.8	1.4	2.4	0.8	1.4	2.4	V	See Section on Circuit Controls
Reference Bypass Voltage	2.9	3.1	3.3	2.5	3	3.5	V	Measured at Pin 10.

Note 1: Output Amplitude is directly proportional to the resistance  $R_3$  on Pin 3. See Figure 3.

Note 2: For maximum amplitude stability  $R_3$  should be a positive temperature coefficient resistor.

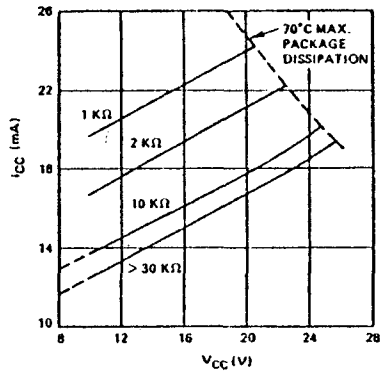


Figure 4. Supply Current vs Supply Voltage, Timing R

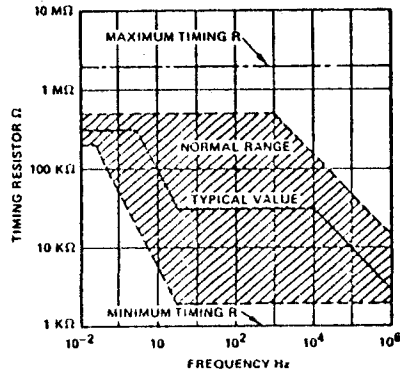


Figure 5. R vs Oscillation Frequency

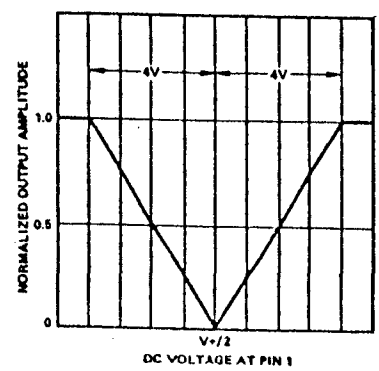


Figure 6. Normalized Output Amplitude vs DC Bias at AM Input (Pin 1).

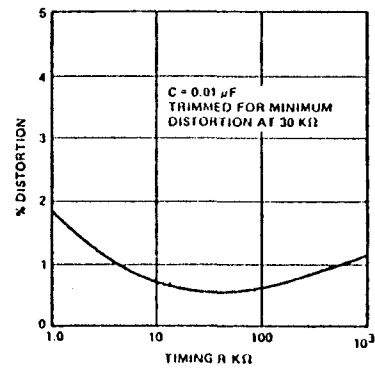


Figure 7. Trimmed Distortion vs Timing Resistor

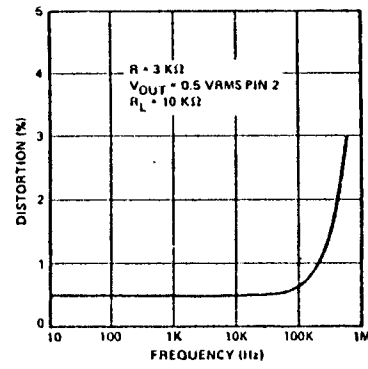


Figure 8. Signwave Distortion vs Operating Frequency With Timing Capacitors Varied

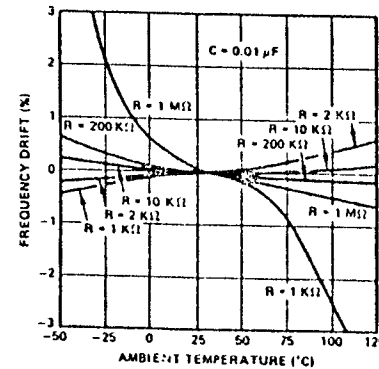
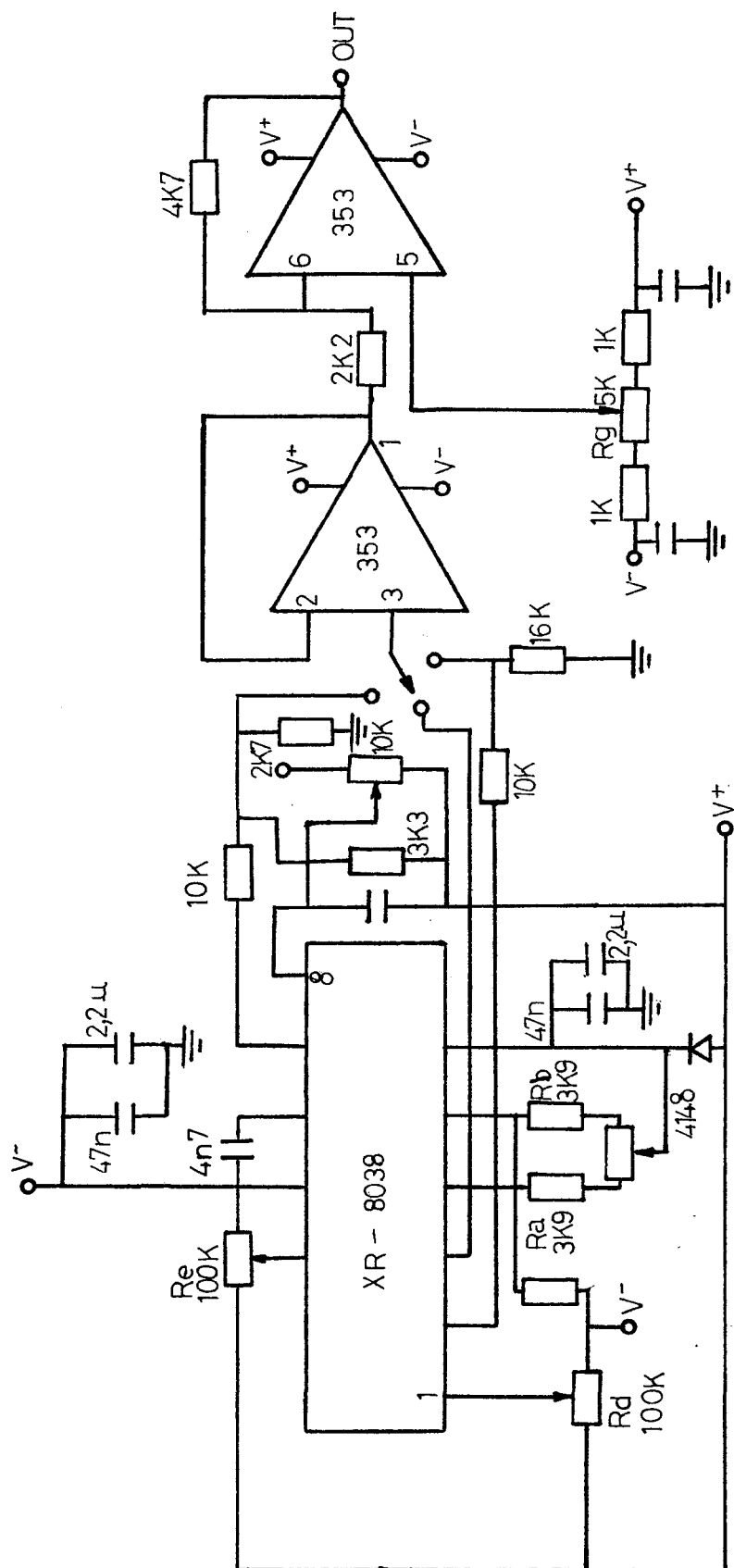


Figure 9. Frequency Drift vs Temperature

**\* 5. GENERADOR DE FUNCIONES.**



### 5.1 CIRCUITO PROUESTO : GENERADOR DE FUNCIONES.

## 5.2 DESARROLLO PRACTICO :

Para hacer nuestro generador de funciones, que nos dara las senales moduladoras del sistema, hemos elegido el I.C. 8038. Este circuito puede funcionar sobre una gama de frecuencias de 0,001 Hz a 1 MHz con una gran estabilidad a las variaciones de tension y temperatura.

Nosotros nos vamos a limitar al rango de frecuencias de audio, 20 Hz a 20 KHz, con salidas sinusoidal triangular y cuadrada. Y ademas darle la posibilidad de correccion del nivel de tension de offset.

El valor de la frecuencia de oscilacion depende del valor de Ca, de las resistencias Ra y Rb, y de la tension de referencia (patilla 8) de las fuentes de corriente.

Las corrientes que atraviesan las resistencias Ra y Rb sirven para cargar y descargar el condensador conectado a la patilla 10. Como el sistema es lineal, si en los bornes de estas resistencias aplicamos una tension variable entre 10U y 10 mU, la variacion de frecuencia sera de 1000 / 1.

La tension en los bornes de las resistencias Ra y Rb, con la patilla 8 conectada directamente a +U, sera superior a 100 mU. Para obtener tensiones mas pequenas, necesarias para alcanzar el factor de variacion buscado, la tension sobre la patilla 8 debe ser superior a la de

alimentacion. Esta elevacion sera del orden de algunas centenas de mV, y la obtenemos disponiendo el diodo D en serie entre +U y la patilla 6. En realidad, no hemos elevado la tension en la patilla 8, sino que hemos llevado la patilla 6 a un potencial ligeramente inferior.

La corriente de carga de los transistores internos esta determinada por la impedancia presente entre las patillas 4 y 5 del circuito integrado, y por las corrientes de polarizacion de estos transistores. Cada tension diferencial provoca un desequilibrio de las corrientes de carga y descarga, arrastrando una importante variacion del "dutycycle". El error remanente de este "dutycycle" es compensado conectando una resistencia de valor elevado sobre la patilla 5 y la masa.

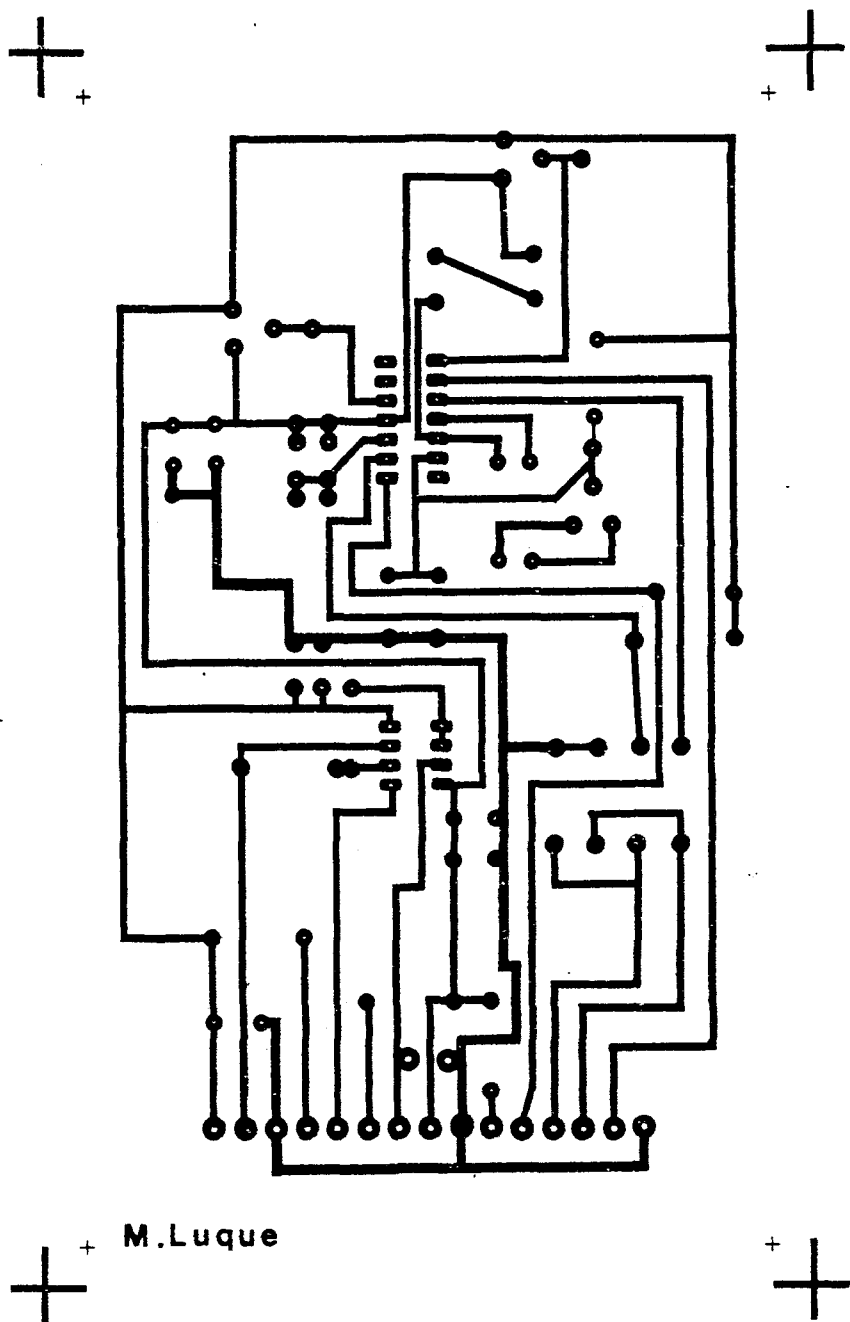
Para disminuir la distorsion a la salida, las tensiones aplicadas a las patillas 1 y 12 son reguladas a traves de dos resistencias variables  $R_d$  y  $R_s$ .

Para conseguir que el generador de funciones tenga correccion de tension de offset, hemos puesto un amplificador operacional, acoplado al circuito mediante un seguidor. Esta tension la podemos variar con el potenciometro  $R_g$ .

#### NOTA:

El voltaje maximo que podemos obtener a la salida es de 10 Vpp, pudiendo variar la tension de offset.

### 5.3 MECANORMA GENERADOR DE FUNCIONES :



# XR-8038

## Precision Waveform Generator

### GENERAL DESCRIPTION

The XR-8038 is a precision waveform generator IC capable of producing sine, square, triangular, sawtooth and pulse waveforms with a minimum number of external components and adjustments. Its operating frequency can be selected over nine decades of frequency, from 0.001 Hz to 1 MHz, by the choice of external R-C components. The frequency of oscillation is highly stable over a wide range of temperature and supply voltage changes. The frequency control, sweep and modulation can be accomplished with an external control voltage, without effecting the quality of the output waveforms. Each of the three basic waveforms, i.e. sinewave, triangle and square wave outputs are available simultaneously, from independent output terminals.

The XR-8038 monolithic waveform generator uses advanced processing technology and Schottky-barrier diodes to enhance its frequency performance. It can be readily interfaced with a monolithic phase-detector circuit, such as the XR-2208, to form stable phase-locked loop circuits.

### FEATURES

Direct Replacement for Intersil 8038  
Low Frequency Drift—50 ppm/ $^{\circ}$ C Max.  
Simultaneous Sine, Triangle and Square-Wave Outputs  
Low Distortion —THD  $\approx$  1%  
High FM and Triangle Linearity  
Wide Frequency Range — 0.001 Hz to 1 MHz  
Variable Duty-Cycle — 2% to 98%

### APPLICATIONS

Precision Waveform Generation Sine, Triangle, Square, Pulse  
Sweep and FM Generation  
Tone Generation  
Instrumentation and Test Equipment Design  
Precision PLL Design

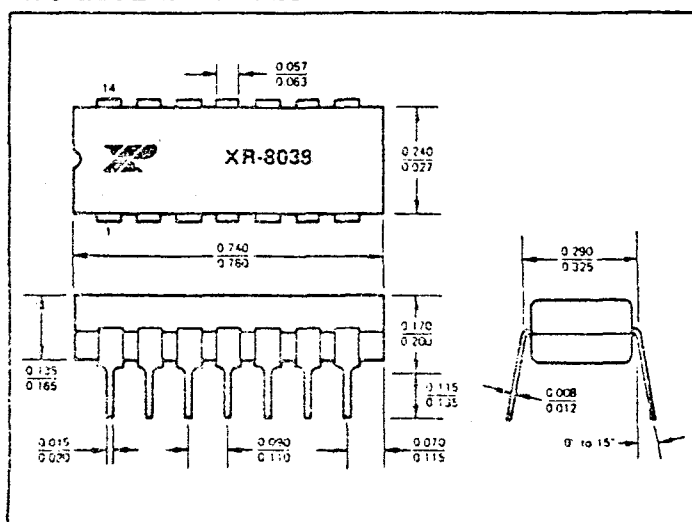
### ABSOLUTE MAXIMUM RATINGS

Power Supply	36V
Power Dissipation (package limitation)	
Ceramic package	750 mW
Derate above +25 $^{\circ}$ C	6.0 mW/ $^{\circ}$ C
Plastic package	625 mW
Derate above +25 $^{\circ}$ C	5 mW/ $^{\circ}$ C
Storage Temperature Range	-65 $^{\circ}$ C to +150 $^{\circ}$ C

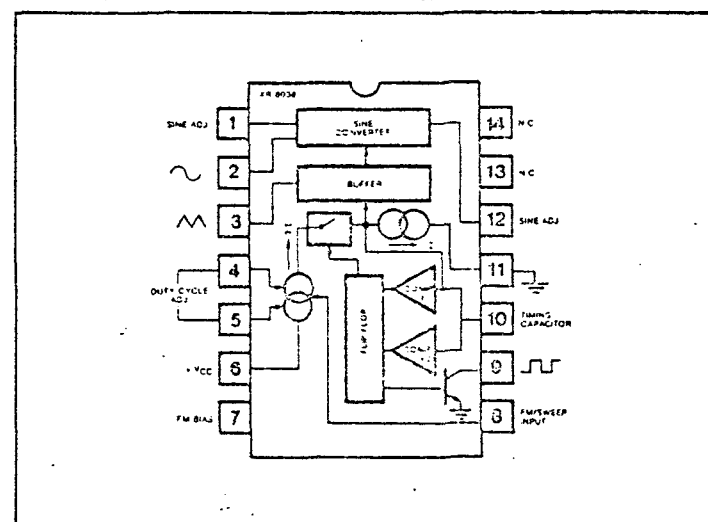
### AVAILABLE TYPES

Part Number	Package	Operating Temperature
XR-8038M	Ceramic	-55 $^{\circ}$ C to +125 $^{\circ}$ C
XR-8038N	Ceramic	0 $^{\circ}$ C to +75 $^{\circ}$ C
XR-8038P	Plastic	0 $^{\circ}$ C to +75 $^{\circ}$ C
XR-8038CN	Ceramic	0 $^{\circ}$ C to +75 $^{\circ}$ C
XR-8038CP	Plastic	0 $^{\circ}$ C to +75 $^{\circ}$ C

### PACKAGE INFORMATION



### FUNCTIONAL BLOCK DIAGRAM

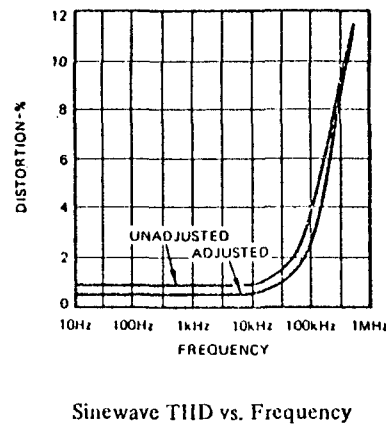
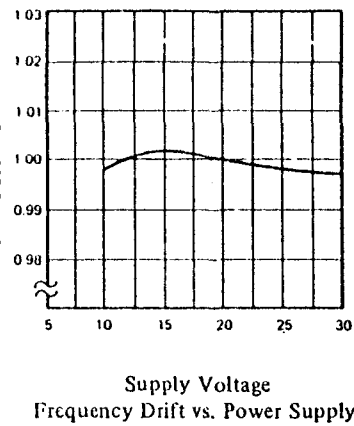
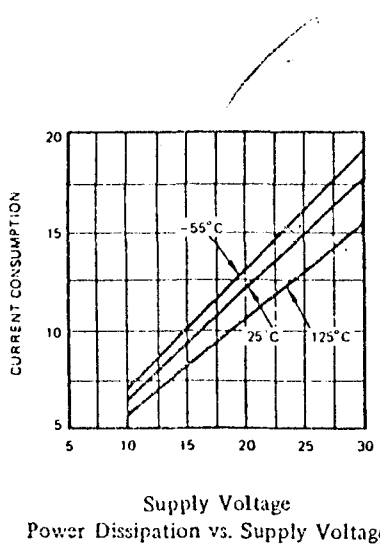


## ELECTRICAL CHARACTERISTICS

*(Signature)*  
Test Conditions:  $V_s = \pm 5V$  to  $\pm 15V$ ,  $T_A = 25^\circ C$ ,  $R_L = 1 M\Omega$ ,  $R_A = R_B = 10 k\Omega$ ,  $C_1 = 3300 \mu F$ ,  $S_1$  closed, unless otherwise specified. See Test Circuit of Figure 1.

CHARACTERISTICS	XR-8038M/XR-8038			XR-8038C			UNITS	CONDITIONS
	MIN.	TYP.	MAX.	MIN.	TYP.	MAX.		
<b>GENERAL CHARACTERISTICS</b>								
Supply Voltage, $V_s$	10 $\pm 5$		30 $\pm 15$	10 $\pm 5$		30 $\pm 15$	V V	
Single Supply		12	15		12	20	mA	
Dual Supplies								
Supply Current								$V_s = \pm 10V$ . See Note 1.
<b>FREQUENCY CHARACTERISTICS (Measured at Pin 9)</b>								
Range of Adjustment								
Max. Operating Frequency		1			1		MHz	$R_A = R_B = 500\Omega$ , $C_1 = 0$ ,
Lowest Practical Frequency		0.001			0.001		Hz	$R_L = 15 k\Omega$
Max. FM Sweep Frequency		100			100		kHz	$R_A = R_B = 1 M\Omega$ , $C_1 = 500 \mu F$
FM Sweep Range		1000:1			1000:1		%	$S_1$ Open. See Notes 2 and 3.
FM Linearity		0.1			0.2		kΩ	$S_1$ Open. See Note 3.
Range of Timing Resistors	0.5		1000	0.5		1000		Values of $R_A$ and $R_B$ .
Temperature Stability								
XR-8038M		20	50	—	—	—	ppm/ $^\circ C$	
XR-8038		50	100	—	—	—	ppm/ $^\circ C$	
XR-8038C	—	—	—		50		ppm/ $^\circ C$	
Power Supply Stability		0.05			0.05		%/V	See Note 4.
<b>OUTPUT CHARACTERISTICS</b>								
Square-Wave Amplitude	0.9	0.98		0.9	0.98		x $V_s$	Measured at Pin 9.
Saturation Voltage		0.2	0.4		0.2	0.5	V	$R_L = 100 k\Omega$
Rise Time		100			100		nsec	$I_{sink} = 2 mA$
Fall Time		40			40		nsec	$R_L = 4.7 k\Omega$
Duty Cycle Adj.	2		98	2		98	%	$R_L = 4.7 k\Omega$
Triangle/Sawtooth/Ramp Amplitude	0.3	0.33		0.3	0.33		x $V_s$	Measured at Pin 3.
Linearity		0.05			0.1		%	$R_L = 100 k\Omega$
Output Impedance		200			200			$I_{out} = 5 mA$
Sine-Wave Amplitude Distortion	0.2	0.22		0.2	0.22		x $V_s$	$R_L = 100 k\Omega$
Unadjusted		0.7	1.5		0.8	3	%	$R_L = 1 M\Omega$ . See Note 5.
Adjusted		0.5			0.5		%	$R_L = 1 M\Omega$

## CHARACTERISTIC CURVES





National  
Semiconductor

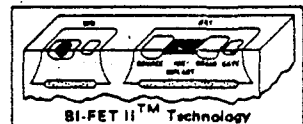
## LF353 Wide Bandwidth Dual JFET Input Operational Amplifier

### General Description

These devices are low cost, high speed, dual JFET input operational amplifiers with an internally trimmed input offset voltage (Bi-FET II™ technology). They require low supply current yet maintain a large gain bandwidth product and fast slew rate. In addition, well matched high voltage JFET input devices provide very low input bias and offset currents. The LF353 is pin compatible with the standard LM1558 allowing designers to immediately upgrade the overall performance of existing LM1558 and LM358 designs.

These amplifiers may be used in applications such as high speed integrators, fast D/A converters, sample and hold circuits and many other circuits requiring low input offset voltage, low input bias current, high input impedance, high slew rate and wide bandwidth. The devices also exhibit low noise and offset voltage drift.

### Operational Amplifiers/Buffers

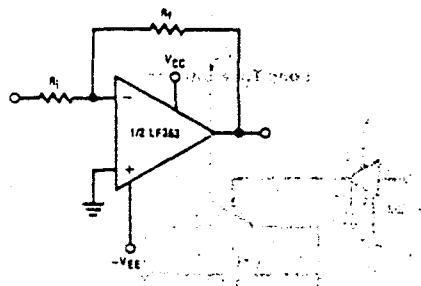


Bi-FET II™ Technology

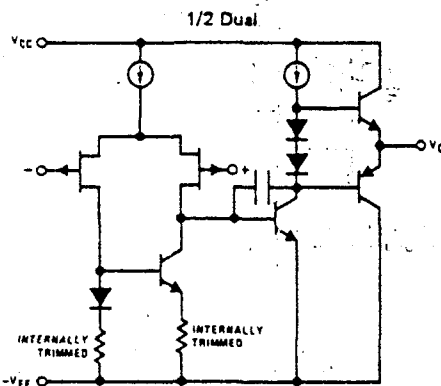
### Features

- Internally trimmed offset voltage 10 mV
- Low input bias current 50 pA
- Low input noise voltage 16 nV/ $\sqrt{\text{Hz}}$
- Low input noise current 0.01 pA/ $\sqrt{\text{Hz}}$
- Wide gain bandwidth 4 MHz
- High slew rate 13 V/ $\mu\text{s}$
- Low supply current 3.6 mA
- High input impedance 10 $^{12}\Omega$
- Low total harmonic distortion  $A_V = 10$ ,  $< 0.02\%$
- $R_L = 10\text{k}$ ,  $V_O = 20\text{V}_P - P$ ,  $BW = 20\text{Hz} - 20\text{kHz}$
- Low 1/f noise corner 50 Hz
- Fast settling time to 0.01% 2  $\mu\text{s}$

### Typical Connection

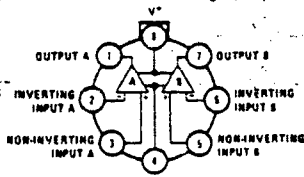


### Simplified Schematic



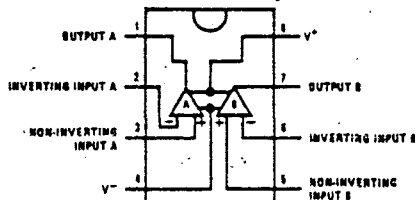
### Connection Diagrams

LF353H Metal Can Package (Top View)



Order Number LF353H  
See NS Package H08C

LF353N Dual-In-Line Package (Top View)



Order Number LF353N  
See NS Package N08A

**Absolute Maximum Ratings**

Supply Voltage	$\pm 18V$	Input Voltage Range (Note 2)	$\pm 15V$
Power Dissipation (Note 1)	500 mW	Output Short Circuit Duration	Continuous
Operating Temperature Range	0°C to +70°C	Storage Temperature Range	-65°C to +150°C
T <sub>J</sub> (MAX)	115°C	Lead Temperature (Soldering, 10 seconds)	300°C
Differential Input Voltage	$\pm 30V$		

**DC Electrical Characteristics (Note 4)**

SYMBOL	PARAMETER	CONDITIONS	LF353			UNITS
			MIN	TYP	MAX	
V <sub>OS</sub>	Input Offset Voltage	R <sub>S</sub> = 10 kΩ, T <sub>A</sub> = 25°C Over Temperature		5	10	mV
ΔV <sub>OS</sub> /ΔT	Average TC of Input Offset Voltage	R <sub>S</sub> = 10 kΩ, T <sub>A</sub> = 25°C Over Temperature		10	13	μV/°C
I <sub>OS</sub>	Input Offset Current	T <sub>J</sub> = 25°C, (Notes 4, 5) T <sub>J</sub> < 70°C		25	100	pA
I <sub>B</sub>	Input Bias Current	T <sub>J</sub> = 25°C, (Notes 4, 5) T <sub>J</sub> < 70°C		4	200	nA
R <sub>IN</sub>	Input Resistance	T <sub>J</sub> = 25°C		10 <sup>12</sup>		Ω
A <sub>VOL</sub>	Large Signal Voltage Gain	V <sub>S</sub> = ±15V, T <sub>A</sub> = 25°C V <sub>O</sub> = ±10V, R <sub>L</sub> = 2 kΩ Over Temperature	25	100		V/mV
V <sub>O</sub>	Output Voltage Swing	V <sub>S</sub> = ±15V, R <sub>L</sub> = 10 kΩ	±12	±13.5		V
V <sub>CM</sub>	Input Common-Mode Voltage Range	V <sub>S</sub> = ±15V	±11	+15 -12		V
CMRR	Common-Mode Rejection Ratio	R <sub>S</sub> < 10 kΩ	70	100		dB
PSRR	Supply Voltage Rejection Ratio	(Note 6)	70	100		dB
I <sub>S</sub>	Supply Current			3.6	6.5	mA

**AC Electrical Characteristics (Note 4)**

SYMBOL	PARAMETER	CONDITIONS	LF353			UNITS
			MIN	TYP	MAX	
	Amplifier to Amplifier Coupling	T <sub>A</sub> = 25°C, f = 1 Hz-20 kHz (Input Referred)		-120		dB
SR	Slew Rate	V <sub>S</sub> = ±15V, T <sub>A</sub> = 25°C		13		V/μs
GBW	Gain Bandwidth Product	V <sub>S</sub> = ±15V, T <sub>A</sub> = 25°C		4		MHz
e <sub>n</sub>	Equivalent Input Noise Voltage	T <sub>A</sub> = 25°C, R <sub>S</sub> = 100Ω, f = 1000 Hz		16		nV/√Hz
i <sub>n</sub>	Equivalent Input Noise Current	T <sub>J</sub> = 25°C, f = 1000 Hz		0.01		pA/√Hz

Note 1: For operating at elevated temperature, the device must be derated based on a thermal resistance of 160 °C/W junction to ambient for the N package, and 150 °C/W junction to ambient for the H package.

Note 2: Unless otherwise specified the absolute maximum negative input voltage is equal to the negative power supply voltage.

Note 3: The power dissipation limit, however, cannot be exceeded.

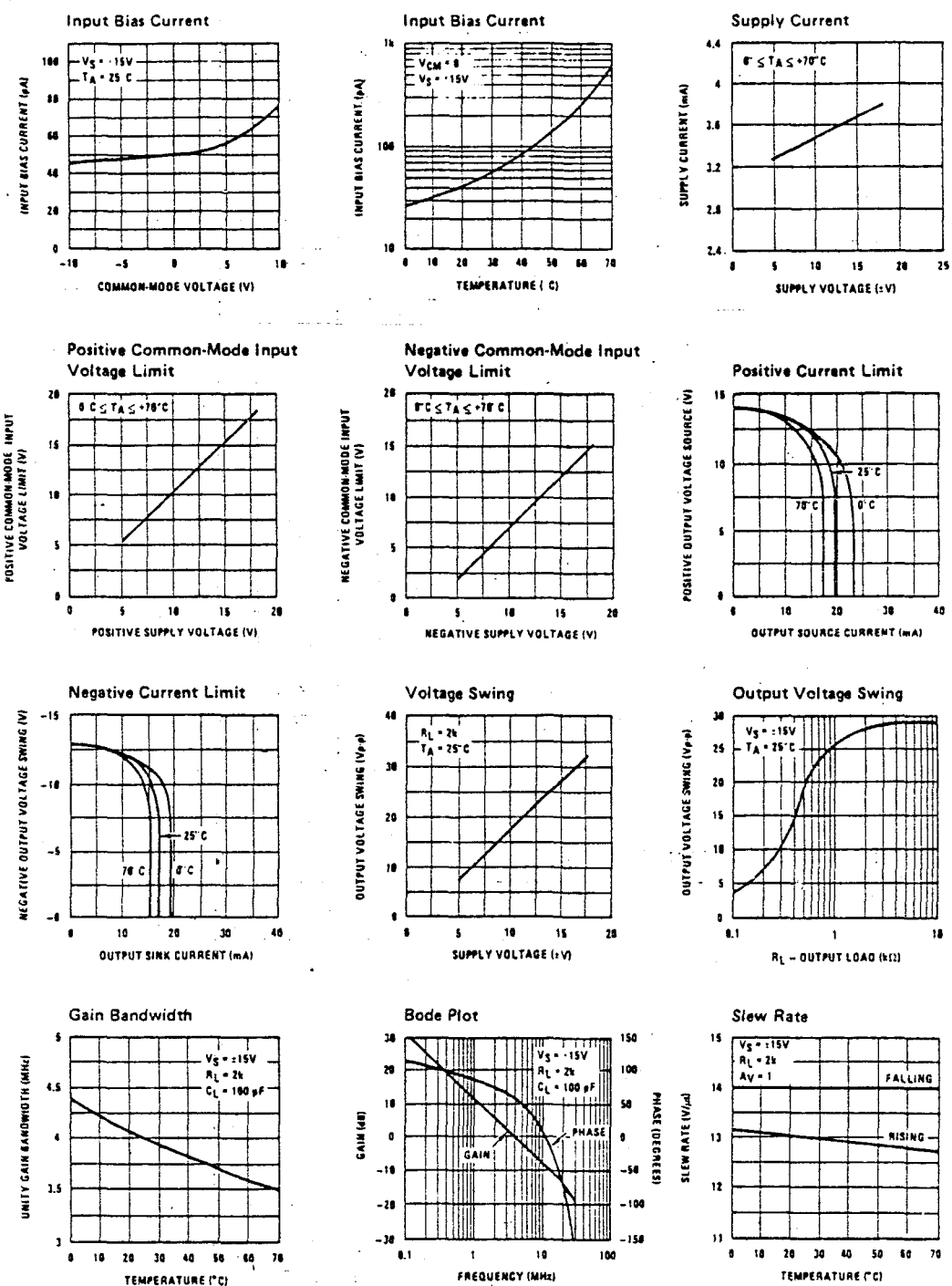
Note 4: These specifications apply for V<sub>S</sub> = ±15V and 0°C ≤ T<sub>A</sub> ≤ +70°C. V<sub>OS</sub>, I<sub>B</sub> and I<sub>OS</sub> are measured at V<sub>CM</sub> = 0.

Note 5: The input bias currents are junction leakage currents which approximately double for every 10°C increase in the junction temperature, T<sub>J</sub>. Due to the limited production test time, the input bias currents measured are correlated to junction temperature. In normal operation the junction temperature rises above the ambient temperature as a result of internal power dissipation, P<sub>D</sub>. T<sub>J</sub> = T<sub>A</sub> + θ<sub>JA</sub> P<sub>D</sub> where θ<sub>JA</sub> is the thermal resistance from junction to ambient. Use of a heat sink is recommended if input bias current is to be kept to a minimum.

Note 6: Supply voltage rejection ratio is measured for both supply magnitudes increasing or decreasing simultaneously in accordance with common practice.

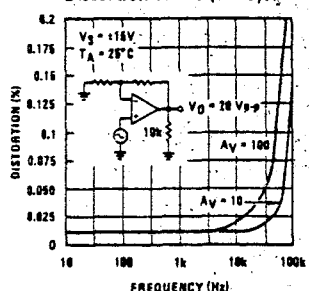
**LF353**

### Typical Performance Characteristics

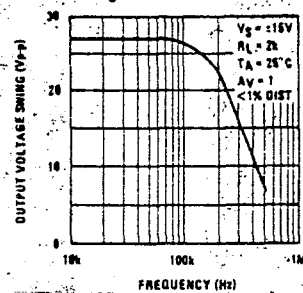


### Typical Performance Characteristics (Continued)

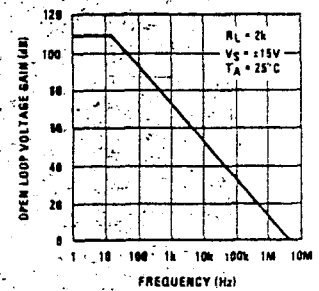
**Distortion vs Frequency**



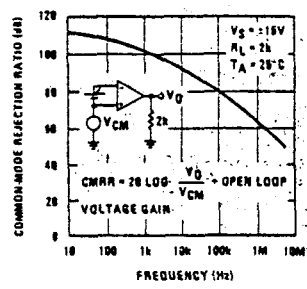
**Undistorted Output Voltage Swing**



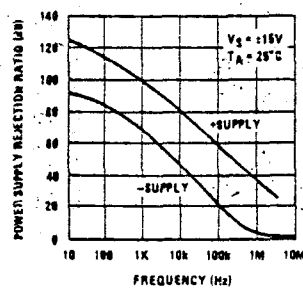
**Open Loop Frequency Response**



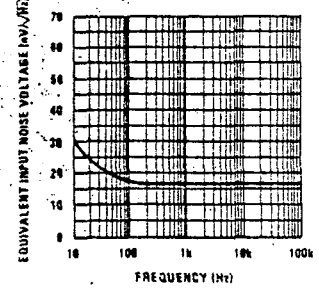
**Common-Mode Rejection Ratio**



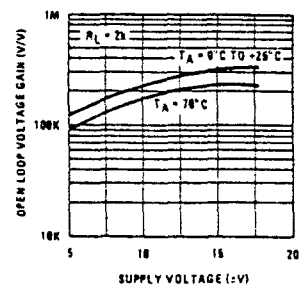
**Power Supply Rejection Ratio**



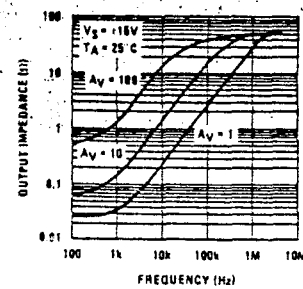
**Equivalent Input Noise Voltage**



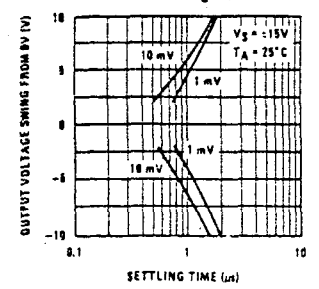
**Open Loop Voltage Gain (V/V)**



**Output Impedance**



**Inverter Settling Time**



## Application Hints (Continued)

high state. In neither case does a latch occur since raising the input back within the common-mode range again puts the input stage and thus the amplifier in a normal operating mode.

Exceeding the positive common-mode limit on a single input will not change the phase of the output; however, if both inputs exceed the limit, the output of the amplifier will be forced to a high state.

The amplifiers will operate with a common-mode input voltage equal to the positive supply; however, the gain bandwidth and slew rate may be decreased in this condition. When the negative common-mode voltage swings to within 3V of the negative supply, an increase in input offset voltage may occur.

Each amplifier is individually biased by a zener reference which allows normal circuit operation on  $\pm 4V$  power supplies. Supply voltages less than these may result in lower gain bandwidth and slew rate.

The amplifiers will drive a  $2\text{-k}\Omega$  load resistance to  $\pm 10V$  over the full temperature range of  $0^\circ\text{C}$  to  $+70^\circ\text{C}$ . If the amplifier is forced to drive heavier load currents, however, an increase in input offset voltage may occur on the negative voltage swing and finally reach an active current limit on both positive and negative swings.

Precautions should be taken to ensure that the power supply for the integrated circuit never becomes reversed in polarity or that the unit is not inadvertently installed

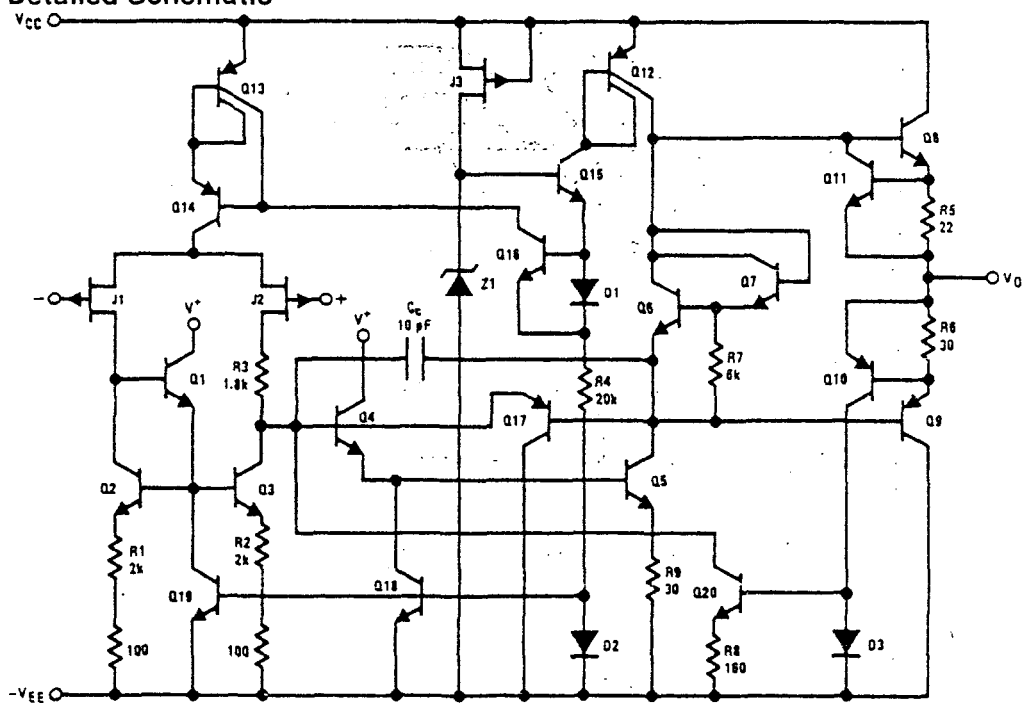
backwards in a socket as an unlimited current surge through the resulting forward diode within the IC could cause fusing of the internal conductors and result in a destroyed unit.

Because these amplifiers are JFET rather than MOSFET input op amps they do not require special handling.

As with most amplifiers, care should be taken with lead dress, component placement and supply decoupling in order to ensure stability. For example, resistors from the output to an input should be placed with the body close to the input to minimize "pick-up" and maximize the frequency of the feedback pole by minimizing the capacitance from the input to ground.

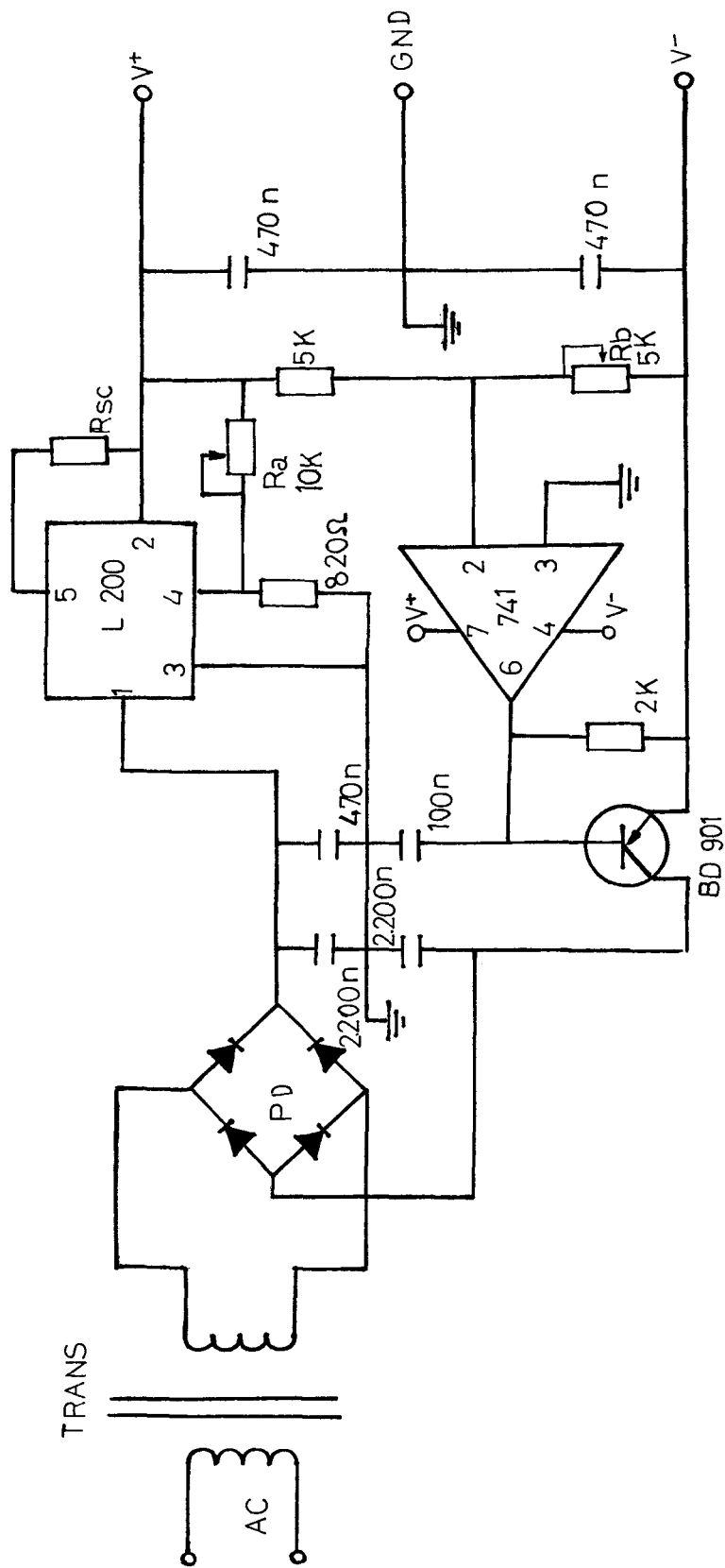
A feedback pole is created when the feedback around any amplifier is resistive. The parallel resistance and capacitance from the input of the device (usually the inverting input) to AC ground set the frequency of the pole. In many instances the frequency of this pole is much greater than the expected 3 dB frequency of the closed loop gain and consequently there is negligible effect on stability margin. However, if the feedback pole is less than approximately 6 times the expected 3 dB frequency a lead capacitor should be placed from the output to the input of the op amp. The value of the added capacitor should be such that the RC time constant of this capacitor and the resistance it parallels is greater than or equal to the original feedback pole time constant.

## Detailed Schematic



**\* 6. FUENTE DE ALIMENTACION.**

## 6.1 CIRCUITO PROGRESIVO : FUENTE DE ALIMENTACION.



## 6.2 DESARROLLO PRACTICO :

En el esquema anterior podemos apreciar la fuente de alimentacion elegida para nuestro sistema.

El circuito integrado L-200 nos ofrece grandes posibilidades, podemos variar el voltaje de 3U a 30U, tiene salida cortocircuitable, un amperaje maximo de 2 Amp, etc. Pero no todas sus caracteristicas son aprovechadas en este diseno, porque hemos fijado el voltaje de salida a 12U con el potenciómetro Ra.

Siendo Rb para que las dos salidas simetricas tengan igual potencial en valor absoluto. Tampoco le exigimos su maximo amperaje, porque el transformador montado solo nos ofrece 1,5 Amp.

Luego es una fuente simetrica, regulada y estabilizada, que nos proporciona una corriente maxima de 1,5 Amp a una tension de 12U.

See last page of data sheet for ordering information.

# MC1741, MC1741C MC1741N, MC1741NC

## INTERNALLY COMPENSATED, HIGH PERFORMANCE OPERATIONAL AMPLIFIERS

... designed for use as a summing amplifier, integrator, or amplifier with operating characteristics as a function of the external feedback components.

- No Frequency Compensation Required
- Short-Circuit Protection
- Offset Voltage Null Capability
- Wide Common-Mode and Differential Voltage Ranges
- Low-Power Consumption
- No Latch Up
- Low Noise Selections Offered – N Suffix

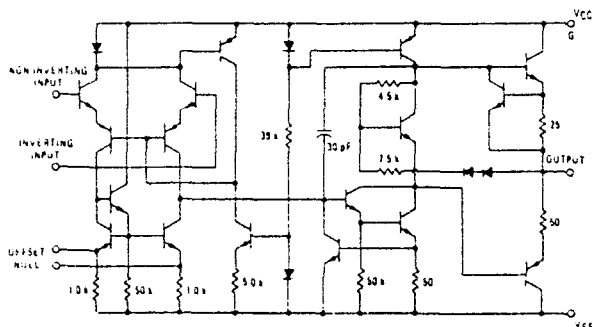
### MAXIMUM RATINGS ( $T_A = +25^\circ\text{C}$ unless otherwise noted)

Rating	Symbol	MC1741C	MC1741	Unit
Power Supply Voltage	V <sub>CC</sub> V <sub>EE</sub>	+18 -18	+22 -22	V <sub>dc</sub> V <sub>dc</sub>
Input Differential Voltage	V <sub>ID</sub>	$\pm 30$		Volts
Input Common Mode Voltage (Note 1)	V <sub>ICM</sub>	$\pm 15$		Volts
Output Short Circuit Duration (Note 2)	I <sub>S</sub>	Continuous		
Operating Ambient Temperature Range	T <sub>A</sub>	0 to +70	-55 to +125	°C
Storage Temperature Range Metal, Flat and Ceramic Packages Plastic Packages	T <sub>Stg</sub>	-65 to +150 -55 to +125		°C
Junction Temperature Range Metal and Ceramic Packages Plastic Packages	T <sub>J</sub>	175 150		°C

Note 1 For supply voltages less than  $\pm 15$  V, the absolute maximum input voltage is equal to the supply voltage.

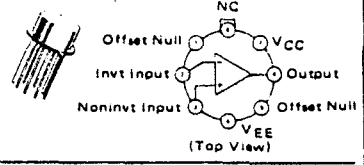
Note 2 Supply voltage equal to or less than 15 V.

### EQUIVALENT CIRCUIT SCHEMATIC

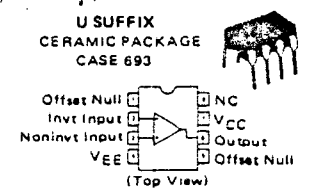


## OPERATIONAL AMPLIFIER SILICON MONOLITHIC INTEGRATED CIRCUIT

G SUFFIX  
METAL PACKAGE  
CASE 601



P1 SUFFIX  
PLASTIC PACKAGE  
CASE 626  
(MC1741C, MC1741NC)



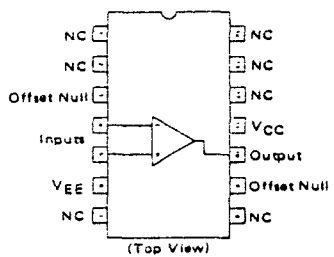
U SUFFIX  
CERAMIC PACKAGE  
CASE 693



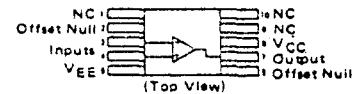
L SUFFIX  
CERAMIC PACKAGE  
CASE 632  
TO-116



P2 SUFFIX  
PLASTIC PACKAGE  
CASE 646  
(MC1741C, MC1741NC)



F SUFFIX  
CERAMIC PACKAGE  
CASE 606-04  
TO-91



# MC1741, MC1741C, MC1741N, MC1741NC

## ELECTRICAL CHARACTERISTICS ( $V_{CC} = 15 \text{ V}$ , $V_{EE} = 15 \text{ V}$ , $T_A = 25^\circ\text{C}$ unless otherwise noted).

Characteristic	Symbol	MC1741			MC1741C			Unit
		Min	Typ	Max	Min	Typ	Max	
Input Offset Voltage ( $R_S \leq 10 \text{ k}\Omega$ )	$V_{IO}$	—	1.0	5.0	—	2.0	6.0	mV
Input Offset Current	$I_{IO}$	—	20	200	—	20	200	nA
Input Bias Current	$I_{IB}$	—	80	500	—	80	500	nA
Input Resistance	$r_i$	0.3	2.0	—	0.3	2.0	—	MΩ
Input Capacitance	$C_i$	—	1.4	—	—	1.4	—	pF
Offset Voltage Adjustment Range	$V_{IOR}$	—	±15	—	—	±15	—	mV
Common Mode Input Voltage Range	$V_{ICR}$	±12	±13	—	±12	±13	—	V
Large Signal Voltage Gain ( $V_O = \pm 10 \text{ V}$ , $R_L \geq 2.0 \text{ k}\Omega$ )	$A_V$	50	200	—	20	200	—	V/mV
Output Resistance	$r_o$	—	75	—	—	75	—	Ω
Common Mode Rejection Ratio ( $R_S \leq 10 \text{ k}\Omega$ )	CMRR	70	90	—	70	90	—	dB
Supply Voltage Rejection Ratio ( $R_S \leq 10 \text{ k}\Omega$ )	PSRR	—	30	150	—	30	150	μV/V
Output Voltage Swing ( $R_L \geq 10 \text{ k}\Omega$ ) ( $R_L \geq 2 \text{ k}\Omega$ )	$V_O$	±12 ±10	±14 ±13	—	±12 ±10	±14 ±13	—	V
Output Short-Circuit Current	$I_{OS}$	—	20	—	—	20	—	mA
Supply Current	$I_D$	—	1.7	2.8	—	1.7	2.8	mA
Power Consumption	$P_C$	—	50	85	—	50	85	mW
Transient Response (Unity Gain – Non-Inverting)								
( $V_I = 20 \text{ mV}$ , $R_L \geq 2 \text{ k}\Omega$ , $C_L \leq 100 \text{ pF}$ ) Rise Time	$t_{TLH}$	—	0.3	—	—	0.3	—	μs
( $V_I = 20 \text{ mV}$ , $R_L \geq 2 \text{ k}\Omega$ , $C_L \leq 100 \text{ pF}$ ) Overshoot	$t_{OS}$	—	15	—	—	15	—	%
( $V_I = 10 \text{ V}$ , $R_L \geq 2 \text{ k}\Omega$ , $C_L \leq 100 \text{ pF}$ ) Slew Rate	$t_{SR}$	—	0.5	—	—	0.5	—	V/μs

## ELECTRICAL CHARACTERISTICS ( $V_{CC} = 15 \text{ V}$ , $V_{EE} = 15 \text{ V}$ , $T_A = T_{high}$ to $T_{low}$ unless otherwise noted.)

Characteristic	Symbol	MC1741			MC1741C			Unit
		Min	Typ	Max	Min	Typ	Max	
Input Offset Voltage ( $R_S \leq 10 \text{ k}\Omega$ )	$V_{IO}$	—	1.0	6.0	—	—	7.5	mV
Input Offset Current ( $T_A = +125^\circ\text{C}$ ) ( $T_A = -55^\circ\text{C}$ ) ( $T_A = 0^\circ\text{C}$ to $+70^\circ\text{C}$ )	$I_{IO}$	—	7.0	200	—	—	—	nA
Input Bias Current ( $T_A = +125^\circ\text{C}$ ) ( $T_A = -55^\circ\text{C}$ ) ( $T_A = 0^\circ\text{C}$ to $+70^\circ\text{C}$ )	$I_{IB}$	—	85	500	—	—	—	nA
Common Mode Input Voltage Range	$V_{ICR}$	±12	±13	—	—	—	—	V
Common Mode Rejection Ratio ( $R_S \leq 10 \text{ k}\Omega$ )	CMRR	70	90	—	—	—	—	dB
Supply Voltage Rejection Ratio ( $R_S \leq 10 \text{ k}\Omega$ )	PSRR	—	30	150	—	—	—	μV/V
Output Voltage Swing ( $R_L \geq 10 \text{ k}\Omega$ ) ( $R_L \geq 2 \text{ k}\Omega$ )	$V_O$	±12 ±10	±14 ±13	—	±10 ±13	—	—	V
Large Signal Voltage Gain ( $R_L \geq 2 \text{ k}\Omega$ , $V_{out} = \pm 10 \text{ V}$ )	$A_V$	25	—	—	15	—	—	V/mV
Supply Currents ( $T_A = +125^\circ\text{C}$ ) ( $T_A = -55^\circ\text{C}$ )	$I_D$	—	1.5	2.5	—	—	—	mA
Power Consumption ( $T_A = +125^\circ\text{C}$ ) ( $T_A = -55^\circ\text{C}$ )	$P_C$	—	45	75	—	—	—	mW

$T_{high} = +125^\circ\text{C}$  for MC1741 and  $70^\circ\text{C}$  for MC1741C  
 $T_{low} = -55^\circ\text{C}$  for MC1741 and  $0^\circ\text{C}$  for MC1741C

MOTOROLA Semiconductor Products Inc.



## MC1741, MC1741C, MC1741N, MC1741NC

NOISE CHARACTERISTICS (Applies for MC1741N and MC1741NC only,  $V_{CC} = 15$  V,  $V_{EE} = -15$  V,  $T_A = +25^\circ\text{C}$ )

Characteristic	Symbol	MC1741N			MC1741NC			Unit
		Min	Type	Max	Min	Type	Max	
Burst Noise (Popcorn Noise) (BW = 1.0 Hz to 1.0 kHz, $t = 10$ s, $R_S = 100$ k) (Input Referenced)	$E_n$	-	-	20	-	-	20	$\mu\text{V}/\text{peak}$

FIGURE 1 – BURST NOISE versus SOURCE RESISTANCE

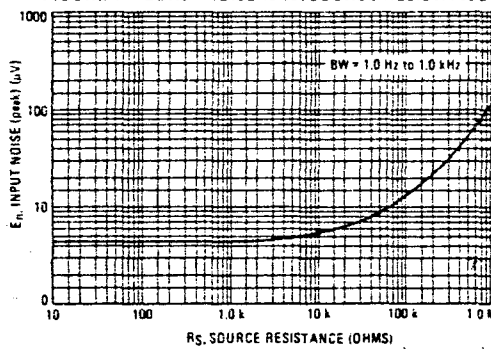


FIGURE 2 – RMS NOISE versus SOURCE RESISTANCE

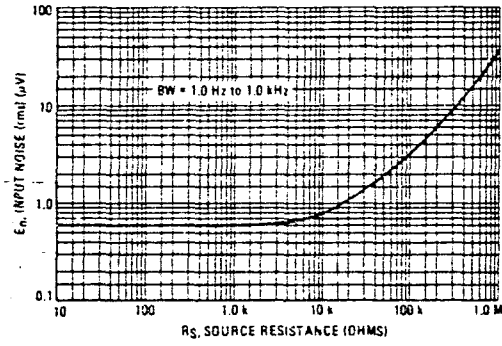


FIGURE 3 – OUTPUT NOISE versus SOURCE RESISTANCE

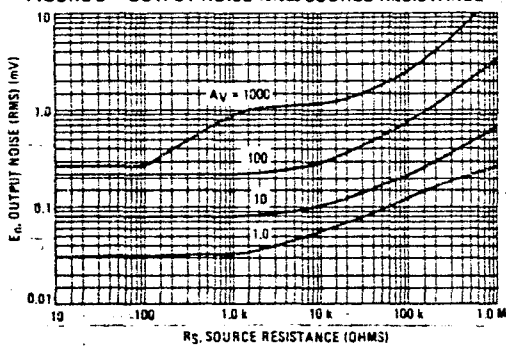


FIGURE 4 – SPECTRAL NOISE DENSITY

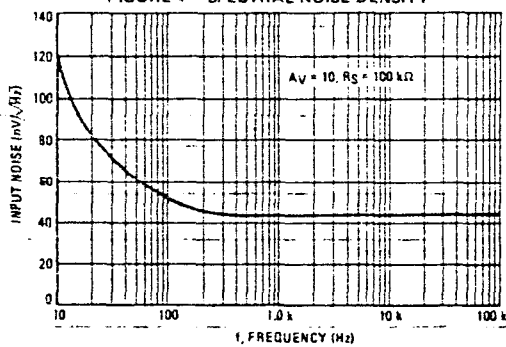
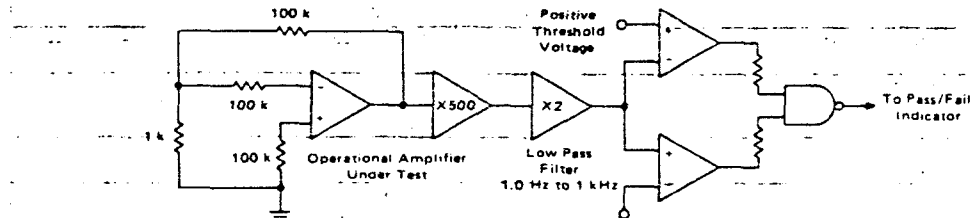


FIGURE 5 – BURST NOISE TEST CIRCUIT (N Suffix Devices Only)



For applications where low noise performance is essential, selected devices denoted by an N suffix are offered. These units have been 100% tested for burst noise pulses on a special noise test system. Unlike conventional peak reading or RMS meters, this system was especially designed to provide the quick response time essential to burst (popcorn) noise testing.

The test time employed is 10 seconds and the 20  $\mu\text{V}$  peak limit refers to the operational amplifier input thus eliminating errors in the closed-loop gain factor of the operational amplifier under test.



MOTOROLA Semiconductor Products Inc.

# MC1741, MC1741C, MC1741N, MC1741NC

## TYPICAL CHARACTERISTICS

( $V_{CC} = +15$  Vdc,  $V_{EE} = -15$  Vdc,  $T_A = +25^\circ\text{C}$  unless otherwise noted)

FIGURE 6 – POWER BANDWIDTH  
(LARGE SIGNAL SWING versus FREQUENCY)

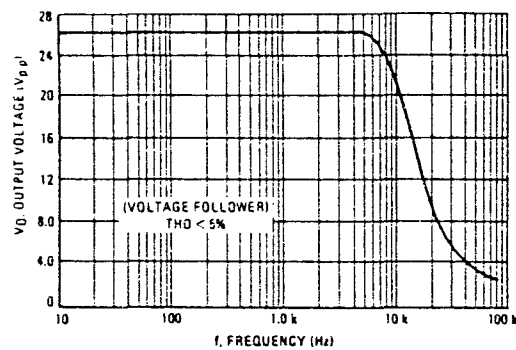


FIGURE 7 – OPEN LOOP FREQUENCY RESPONSE

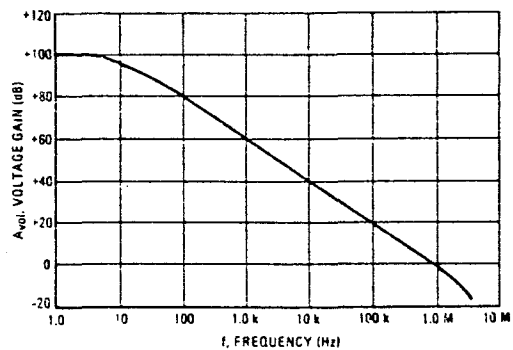


FIGURE 8 – POSITIVE OUTPUT VOLTAGE SWING  
versus LOAD RESISTANCE

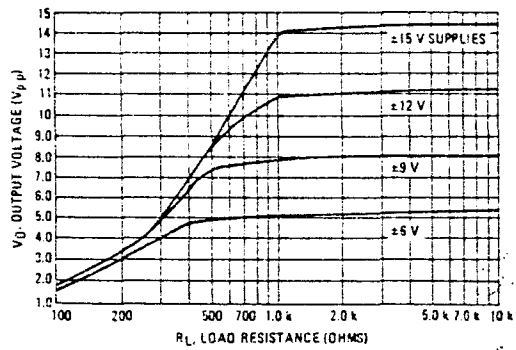


FIGURE 9 – NEGATIVE OUTPUT VOLTAGE SWING  
versus LOAD RESISTANCE

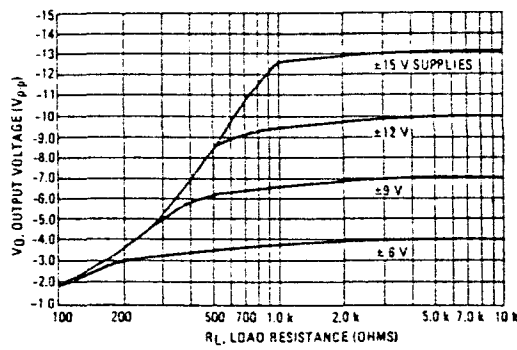


FIGURE 10 – OUTPUT VOLTAGE SWING versus  
LOAD RESISTANCE (Single Supply Operation)

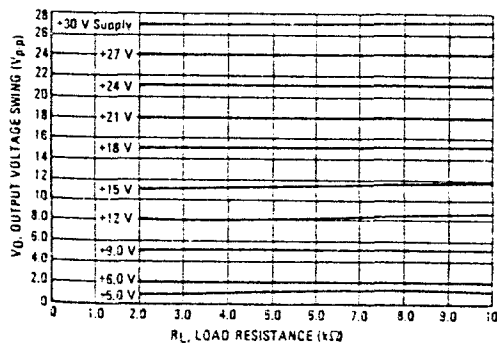
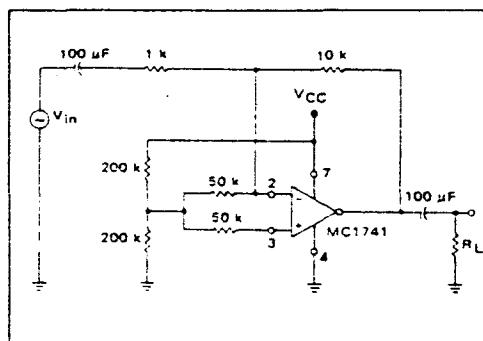


FIGURE 11 – SINGLE SUPPLY INVERTING AMPLIFIER



MOTOROLA Semiconductor Products Inc.

## MC1741, MC1741C, MC1741N, MC1741NC

FIGURE 12 - NON-INVERTING PULSE RESPONSE

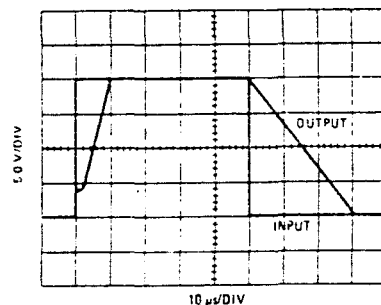


FIGURE 13 - TRANSIENT RESPONSE TEST CIRCUIT

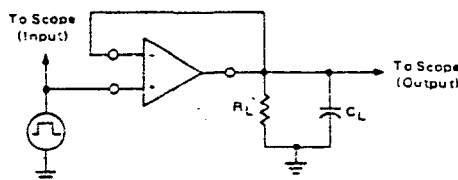
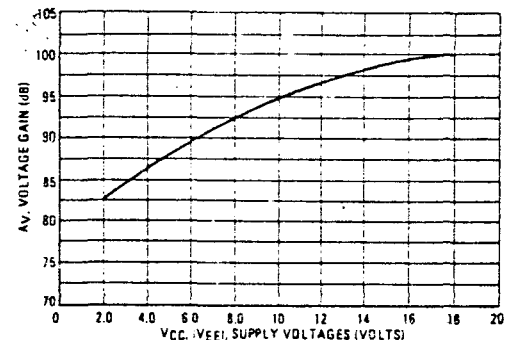


FIGURE 14 - OPEN LOOP VOLTAGE GAIN  
VERSUS SUPPLY VOLTAGE



### ORDERING INFORMATION

Device	Alternate	Temperature Range	Package
MC1741CF,NCF	—	0°C to +70°C	Ceramic Flat
MC1741CG	LM741CD, μA741HC	0°C to +70°C	Metal Can
MC1741CL	LM741CD, μA741DC	0°C to +70°C	Ceramic DIP
MC1741CP1	LM741CN, μA741TC	0°C to +70°C	Plastic DIP
MC1741CP2, NCP1, NCP2	—	0°C to +70°C	Plastic DIP
MC1741CU,NCU	—	0°C to +70°C	Ceramic DIP
MC1741F,NF	—	-55°C to +125°C	Ceramic Flat
MC1741G,NG	—	-55°C to +125°C	Metal Can
MC1741L,NL	—	-55°C to +125°C	Ceramic DIP
MC1741U,NU	—	-55°C to +125°C	Ceramic DIP
MC1741NCG	—	0°C to +70°C	Metal Can
MC1741NCL	—	0°C to +70°C	Ceramic DIP

Circuit diagrams utilizing Motorola products are included as a means of illustrating typical semiconductor applications; consequently, complete information sufficient for construction purposes is not necessarily given. The information has been carefully checked and

is believed to be entirely reliable. However, no responsibility is assumed for inaccuracies. Furthermore, such information does not convey to the purchaser of the semiconductor devices described any license under the patent rights of Motorola Inc. or others.



MOTOROLA Semiconductor Products Inc.

\* 7. P R E S U P U E S T O.

**P R E S U P U E S T O**

<b>UNIDADES</b>	<b>CONCEPTO</b>	<b>PESETAS UNIDAD</b>	<b>PESETAS TOTAL</b>
92	<b>Condensadores</b>	60	5520
97	<b>Resistencias</b>	6	582
28	<b>Potenciómetros mini.</b>	45	1260
4	<b>Potenc. Chasis</b>	300	1200
22	<b>Conectores</b>	50	1100
17	<b>Zocales</b>	60	1020
18	<b>Circuitos integrados</b>	500	9000
1	<b>Transistor (BD-901)</b>	85	85
2	<b>Diodos</b>	25	50
1	<b>Puente de diodo</b>	250	250
1	<b>Transformador 15+15 V. 1,5 A.</b>	2200	2200
6	<b>Placas Fotosensibilizadas</b>	600	3600
25	<b>Separadores</b>	20	500
50	<b>Tornillos y tuercas</b>	2	100
10	<b>Metros de cable</b>	20	200
<hr/>			
		<b>Total</b>	<b>26667</b>
<hr/>			
	<b>Montaje</b>		<b>10000</b>
<hr/>			
	<b>% correspondiente a diseño</b>		<b>5000</b>
<hr/>			
		<b>Total</b>	<b>41667</b>

Este presupuesto esta hecho en base a la fabricacion de cien de estos sistemas moduladores. Con lo cual el importe total seria de:

Cuatro millones ciento sesenta y seis mil setecientas pesetas. ( 4.166.700,00 Pts. )

LA LAGUNA 30 de JUNIO de 1985.

Fdo.

N O T A :

Los precios dados a los componentes son valores medios para cada tipo.

\* 8. BIBLIOGRAFIA :

- TELECOMUNICACIONES.

( J. Brown y E.V.D. Glazier ).

- SIGNAL PROCESSING, MODULATION AND NOISE.

( J.A. Betts ).

- MASTER OP.-AMP. APPLICAIIONS HANDBOOK.

( Harry W. Fox ).

- CIRCUITOS ELECTRONICOS : ANALOGICOS II.

( Catedra de electronica II y III E.T.S.I. de  
telecomunicacion Madrid ).

- INTRODUCCION A LA TEORIA Y SISTEMAS DE COMUNICACION.

( B.P. Lathi ).

- AN INTRODUCTION TO INFORMATION AND COMMUNICATION THEORY.

( Fred Haber ).

- LA MODULATION, PRINCIPES ET MODES.

( D. Bensoussan ).

- EL AMPLIFICADOR OPERACIONAL Y SUS APLICACIONES.

( J.C. Marchais ).

- Y varios DATABOOKS de National, Motorola, Exar, Texas  
Instruments, Fairdchild, etc.